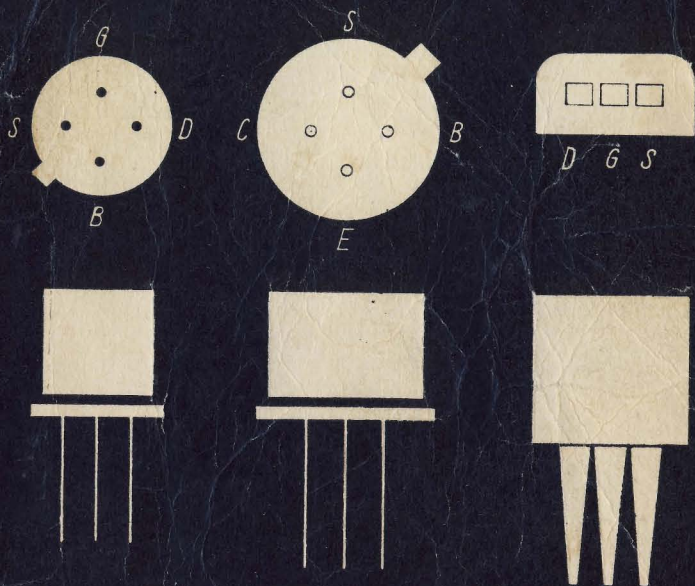


amateurreihe electronica



Klaus K. Streng

**Ausländische Röhren
und Halbleiterbauelemente
Teil 3**

electronica · Band 129
Ausländische Röhren und
Halbleiterbauelemente
Teil 3

KLAUS K. STRENG

Ausländische Röhren und Halbleiterbauelemente Teil 3



MILITÄRVERLAG
DER DEUTSCHEN DEMOKRATISCHEN
REPUBLIK

Inhaltsverzeichnis

| | |
|---|-----|
| Vorwort | 7 |
| Vorwort zur 2. Auflage | 7 |
| 1. Elektronenröhren | 8 |
| 1.1. Europäische Elektronenröhren der 500er-Reihe .. | 10 |
| 1.2. Elektronenröhren der 800er-Reihe | 12 |
| 1.3. Einige neue Elektronenröhren der UdSSR | 14 |
| 1.4. Sockelschaltungen der Elektronenröhren | 15 |
| 1.5. Röhrenäquivalenzliste | 19 |
| 2. Halbleiterdioden | 21 |
| 2.1. Z-Dioden | 21 |
| 2.2. Tunneldioden | 31 |
| 2.3. Kapazitätsdioden | 34 |
| 3. Thyristoren | 37 |
| 4. Transistoren | 42 |
| 4.1. Sockelschaltungen unbekannter Transistoren ... | 42 |
| 4.2. Transistordaten | 44 |
| 4.3. Halbleiteräquivalenzliste | 91 |
| 5. DDR-Halbleiterbauelemente | 92 |
| 6. Bedeutung der in dieser Broschüre verwendeten Abkürzungen | 107 |
| Literaturhinweise | 109 |

Tabellenverzeichnis

| | |
|--|----|
| 1.1. Elektronenröhren der 500er-Reihe | 10 |
| 1.2. Elektronenröhren der 800er-Reihe | 12 |
| 1.3. Einige neue Elektronenröhren aus der UdSSR .. | 14 |
| 1.4. Sockelschaltungen der Elektronenröhren | 15 |
| 1.5. Röhrenäquivalenzliste | 19 |
| 2.1. Z-Dioden aus der UdSSR | 21 |
| 2.2. Z-Dioden von <i>Tesla</i> (ČSSR) | 23 |
| 2.3. Z-Dioden westeuropäischer Staaten | 24 |

| | | |
|------|---|-----|
| 2.4. | Tunneldioden aus der UdSSR | 32 |
| 2.5. | Tunneldioden westeuropäischer Staaten | 33 |
| 2.6. | Kapazitätsdioden aus der UdSSR | 34 |
| 2.7. | Kapazitätsdioden von <i>Tesla</i> (ČSSR) | 35 |
| 2.8. | Kapazitätsdioden westeuropäischer Staaten | 36 |
| 3.1. | Thyristoren aus der UdSSR | 37 |
| 3.2. | Thyristoren von <i>Tesla</i> (ČSSR) | 38 |
| 3.3. | Thyristoren aus der DDR-Entwicklung | 38 |
| 3.4. | Thyristoren westeuropäischer Staaten | 39 |
| 4.1. | Zusammenstellung aller Transistoren aus der UdSSR | 47 |
| 4.2. | Neue Transistoren von <i>Tesla</i> (ČSSR) | 70 |
| 4.3. | Neue Transistoren westeuropäischer Staaten für die Konsumgüterelektronik | 72 |
| 4.4. | Transistoren von <i>COSEM</i> (Frankreich) | 78 |
| 4.5. | Transistoren von <i>SESCO</i> (Frankreich) | 80 |
| 4.6. | Transistoren westeuropäischer Staaten für die professionelle Elektronik | 83 |
| 4.7. | Halbleiterbauelemente-Äquivalenzliste | 91 |
| 5.1. | Daten der Halbleiterdioden aus der DDR-Produk- tion | 94 |
| 5.2. | Daten der Transistoren aus der DDR-Produktion (Stand 1969) | 103 |
| 5.3. | MOSFET aus der DDR-Produktion (Stand 1969/70) | 104 |

Vorwort

Der vorliegende Band *Ausländische Röhren und Halbleiterbauelemente, Teil 3*, bedarf keiner längeren Einführung, da die ersten beiden Bände des genannten Titels beim Leser gute Aufnahme fanden.

Es wäre falsch, in den Broschüren zu diesem Thema ein Universalnachsschlagewerk erblicken zu wollen. Diesen Anspruch kann man schon deshalb nicht erheben, weil ständig neue Halbleiterbauelementetypen entwickelt werden. Was heute noch neu ist, wird zu einem späteren Zeitpunkt längst bekannt bzw. überholt sein. Im allgemeinen erhält der Amateur nicht immer das Neueste, und so ist zu hoffen, daß die Angaben und Hinweise im vorliegenden Teil der Broschüre so gute Dienste leisten wie die ersten beiden Teile.

Mit diesem Teil wird vorerst die Veröffentlichung von Daten ausländischer Röhren und Halbleiterbauelemente abgeschlossen. Das ständige Informieren über neue Bauelemente, speziell Transistoren, ist Aufgabe der Fachpresse.

Allen Mitarbeitern der Halbleiterindustrie des In- und Auslands, die mir behilflich waren, möchte ich bei dieser Gelegenheit meinen herzlichen Dank sagen.

Berlin-Adlershof, Frühjahr 1969

Klaus K. Streng

Vorwort zur 2. Auflage

Wegen des starken Absatzes, den diese Broschüre fand, ergab sich die Notwendigkeit einer 2. Auflage. Ich benutze diese Gelegenheit zu einigen Richtigstellungen und Ergänzungen. Besonders der Teil „Zusammenstellung aller Transistoren aus der UdSSR“ (Tabelle 4.1.) wurde auf Grund neuer Unterlagen völlig neu gestaltet und aktualisiert.

Berlin-Adlershof, Sommer 1973

Klaus K. Streng

1. Elektronenröhren

Wie nicht anders zu erwarten, nimmt die Zahl der Neuerscheinungen bei den Elektronenröhren für Empfänger gegenüber denen bei Halbleiterbauelementen jährlich ab. So verwundert es nicht, daß in dieser Broschüre nur wenige neue Röhrentypen angeführt werden.

Für die Konsumgüterelektronik sind es vor allem die Röhren der 500er-Reihe (Tabelle 1.1.) und der 800er-Reihe (Tabelle 1.2.), die auch den Amateur interessieren. Sie werden teilweise auch von unserer Industrie hergestellt bzw. durch unseren Handel vertrieben. Kommerzielle Röhren und Nuvistoren fanden keine Aufnahme in den *Ausländischen Röhren und Halbleiterbauelementen*. Diese Entscheidung ist anfechtbar. Zu ihren Gunsten spricht jedoch, daß nur sehr wenige Leser für ihr privates Hobby mit derartigen Röhren zu tun haben werden. Diese seltenen Fälle würden den Aufwand nicht rechtfertigen, umfangreiche Daten zu sammeln — von denen man die meisten wohl nie benötigt.

Viele sowjetische Röhren wurden seit dem Erscheinen des Teiles II dieses Broschürentitels herausgebracht. Tabelle 1.3. nennt die Daten der wichtigsten.

Die Sockelschaltungen der in dieser Broschüre enthaltenen Elektronenröhren werden in der gleichen Weise (Tabelle 1.4.) wie in den anderen Teilen dieses Broschürentitels erläutert. Diese Form hat sich gut bewährt. Bild 1.1 zeigt nochmals die Sockel der Röhren mit Angabe der Nummern der einzelnen Sockelstifte. Diese Nummern entsprechen den internationalen Bezeichnungen, und der Leser tut gut daran, sie sich einzuprägen.

Den Abschluß dieses Abschnittes bildet eine Äquivalenzliste der Elektronenröhren. Bei ihrer Durchsicht stellt man fest, daß manche ausländische Röhre mit einer Röhre unserer Produktion identisch ist.

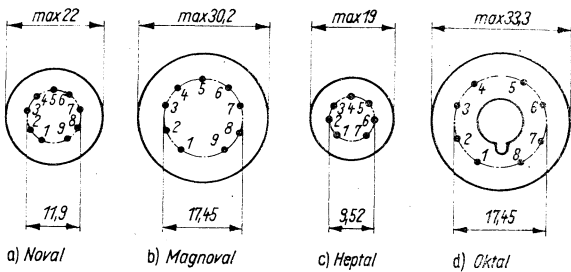


Bild 1.1 Sockelschaltungen von Elektronenröhren

1.1. Europäische Elektronenröhren der 500er-Reihe

Tabelle 1.1. Elektronenröhren der 500er-Reihe

| Typ | Sockel | U _f in V | I _f in A | U _a in V | I _a in mA | U _{g2} in V | I _{g2} in mA | U _{g1} in V | S in mA/V | μ | R _i in k Ω | P _{v,max} in W |
|--------|--------|--|------------------------|-----------------------------|-------------------------|-------------------------|--------------------------|-------------------------|--------------|-------|---------------------------------|----------------------------|
| ED 500 | M 1 | 6,3 | 0,35 | 25000 | 1,5 | — | — | — 150 | — | — | — | 30 |
| EL 500 | M 2 | 6,3 | 1,35 | 200 | 60 | 200 | 2 | — 31 | 9 | 5*) | 13 | 12 |
| EL 502 | M 3 | 6,3 | 1,7 | 70 | 465 | 170 | 40 | — 6,5 | — | — | — | 20 |
| EL 503 | M 4 | 6,3 | 1,2 | 250 | 100 | 250 | 8,5 | — 13,2 | 23 | 13*) | 7,3 | 27 |
| EL 504 | M 3 | 6,3 | 1,38 | 75 | 440 | 200 | 30 | — 10 | — | — | — | 16 |
| EL 508 | M 6 | 6,3 | 0,875 | 50 | 320 | 190 | 60 | — 1 | — | — | — | 12 |
| EL 509 | M 5 | 6,3 | 2 | 50 | 800 | 175 | 70 | — 10 | — | — | — | 30 |
| EL 519 | M 5 | 6,3 | 2 | 50 | 800 | 175 | 70 | — 10 | — | — | — | 30 |
| EL 520 | (M 4) | Daten wie EL 503, aber mit Novalsockel | | | | | | | | | | |
| EY 500 | M 7 | 6,3 | 2,1 | 20 | 440 | — | — | — | — | — | — | 11 |
| GY 501 | M 8 | 3,15 | 0,37 | 33500 | 1,7 | — | — | — | — | — | — | — |
| PD 500 | M 1 | 7,5 | 0,3 | übrige Daten wie bei ED 500 | | | | | | | | |

Booster-
diode
Gleich-
richter

| | | | | | | | | | | | |
|--------|-----|----|-----|-----------------------------|------|-----|-----|---|----|-----|--------------------|
| PL 500 | M 2 | 27 | 0,3 | 75 | 440 | 200 | 30 | — | 10 | 12 | Impuls- betrieb |
| PL 502 | M 3 | 35 | 0,3 | übrige Daten wie bei EL 502 | | | | | | | |
| PL 503 | M 4 | 35 | 0,3 | übrige Daten wie bei EL 503 | | | | | | | |
| PL 504 | M 2 | 27 | 0,3 | 75 | 440 | 200 | 37 | — | 10 | 15 | Impuls- betrieb |
| PL 505 | M 5 | 50 | 0,3 | 160 | 1400 | 160 | 45 | 0 | | 25 | Impuls- betrieb |
| PL 508 | M 6 | 17 | 0,3 | 190 | 60 | 190 | 4,5 | — | 17 | 8*) | 10 |
| PL 509 | M 5 | 40 | 0,3 | 160 | 1400 | 160 | 45 | 0 | | 31 | Impuls- betrieb |
| PL 519 | M 5 | 40 | 0,3 | 50 | 800 | 175 | 70 | — | 10 | 35 | Impuls- betrieb |
| PY 500 | M 7 | 42 | 0,3 | 5600 | 440 | — | — | — | — | 11 | Booster- diode |

*) $\mu\text{g}_2/\text{g}_1$

1.2. Elektronenröhren der 800er-Reihe

Tabelle 1.2. Elektronenröhren der 800er-Reihe

| Typ | Socket | U _f in V | I _f in A | U _a in V | I _a in mA | U _{g2} in V | I _{g2} in mA | U _{g1} in V | S in mA/V | μ | R _i in k Ω | P _{v,max} in W | Gleich- richter |
|-----------|--------|------------------------|------------------------|------------------------|-------------------------|-------------------------|--------------------------|-------------------------|--------------|-------|---------------------------------|----------------------------|--------------------|
| DY 802 | N 17 | 1,4 | 0,6 | 25000 | 0,5 | — | — | — | — | — | — | — | je System |
| EA 801 | N 1 | 6,3 | 0,3 | 250 | 9 | 100 | 2,7 | — 2 | 3,8 | 20* | 1000 | 2,25 | Pentode |
| EC 806 S | N 3 | 6,3 | 0,165 | 185 | 13 | — | — | — 1,6 | 14 | 68 | 4,85 | 2,4 | — |
| ECC 801 S | N 4 | 6,3 | 0,3 | 250 | 10 | — | — | — 2 | 5,5 | 60 | 11 | 2,8 | je System |
| ECC 802 S | N 4 | 12,6 | 0,15 | — | — | — | — | — | — | — | — | — | je System |
| ECC 803 S | N 4 | 6,3 | 0,3 | 250 | 10,5 | — | — | — | 2,2 | 17 | 7,7 | 3 | je System |
| ECC 803 S | N 4 | 12,6 | 0,15 | — | — | — | — | — | 1,16 | 100 | 62,5 | 1,2 | je System |
| ECC 808 | N 22 | 6,3 | 0,3 | 250 | 1,8 | — | — | — 1,9 | 1,6 | 100 | — | 5 | je System |
| EF 800 | N 5 | 6,3 | 0,275 | 170 | 10 | 170 | 2,5 | — 4 | 7,5 | 50* | 400 | 1,7 | — |
| EF 802 | N 6 | 6,3 | 0,255 | 170 | 12 | 170 | 3 | — 1,8 | 8 | 50* | 300 | 2,1 | — |
| EF 804 | N 7 | 6,3 | 0,2 | 250 | 3 | 140 | 0,55 | — 2 | 2 | 38* | 2000 | 0,2 | — |
| EF 805 S | N 5 | 6,3 | 0,285 | 200 | 10 | 75 | 2,5 | — 1,5 | 6,5 | — | 350 | 2 | — |
| EF 806 | N 8 | 6,3 | 0,3 | 250 | 3,2 | 140 | 0,6 | — 1,85 | 2 | 38* | 2500 | 1 | — |
| EF 806 S | N 8 | 6,3 | 0,3 | 250 | 3,2 | 140 | 0,6 | — 1,85 | 2 | 38* | 2500 | 1 | — |
| EL 802 | N 13 | 6,3 | 0,8 | 170 | 30 | 170 | 6,5 | — 0,9 | 40 | 70* | — | 6 | — |
| EL 803 | N 9 | 6,3 | 0,65 | 200 | 36 | 200 | 5 | — 3,5 | 10,5 | 22* | 60 | 9 | — |

| | | | | | | | | | | | | | | |
|----------|------|-----|------|-------|-----|-----|-----|---|-----|-----|------|-----|-----|---------------------------|
| EL 803 S | N 9 | 6,3 | 0,65 | 200 | 32 | 200 | 4,7 | — | 4 | 10 | 22*) | 60 | 7,2 | |
| EL 804 | N 10 | 6,3 | 0,7 | 140 | 70 | 170 | 5 | — | 21 | 10 | 9*) | 14 | 10 | |
| EL 805 | N 16 | 6,3 | 0,76 | 65 | 200 | 170 | 35 | — | 1 | | | | 10 | Impuls- betrieb |
| EMM 801 | N 11 | 6,3 | 0,3 | 100 | 2,8 | — | — | — | 2 | 1 | 19 | | 0,2 | mag. Auge je System |
| EY 802 | N 17 | 6,3 | 0,12 | 25000 | 0,5 | — | — | — | | | — | — | — | Gleich- richter |
| GY 802 | N 17 | 2,6 | 0,31 | 25000 | 0,5 | — | — | — | | | — | — | — | Gleich- richter |
| PCF 801 | N 12 | 8,5 | 0,3 | 100 | 15 | — | — | — | 3 | 9 | 20 | 2,2 | 1,5 | Triode |
| PCF 802 | N 13 | 9 | 0,3 | 170 | 10 | 120 | 3 | — | 1,4 | 11 | 55*) | 350 | 2 | Pentode |
| PCF 803 | N 14 | 8,5 | 0,3 | 200 | 3,5 | — | — | — | 2 | 3,5 | 70 | 20 | 1,4 | Triode |
| PL 802 | N 15 | 16 | 0,3 | 100 | 6 | 100 | 1,7 | — | 1 | 5,5 | 47*) | | 1,2 | Pentode |
| PL 805 | N 16 | 17 | 0,3 | 100 | 15 | — | — | — | 3 | 9 | 20 | 2,2 | 1,5 | Triode |
| | | | | 170 | 10 | 120 | 3 | — | 1,4 | 11 | 55*) | 350 | 2 | Pentode |
| | | | | 170 | 30 | 170 | 6,5 | — | 0,9 | 40 | 70*) | | 6 | |
| | | | | 65 | 200 | 170 | 35 | — | 1 | | | | 10 | Impuls- betrieb |

*) $\mu_{g2/g1}$ Einige der 800er-Röhren werden auch in der DDR gefertigt bzw. vertrieben, z. B. EAF 801, PCF 801 und PCF 802.

1.3. Einige neue Elektronenröhren der UdSSR

Tabelle 1.3. Einige neue Elektronenröhren aus der UdSSR

| Typ | Sockel | U _f in V | I _f in A | U _a in V | I _a in mA | U _{g2} in V | I _{g2} in mA | U _{g1} in V | S in mA/V | μ | R _i in k Ω | P _{v,max} in W |
|--------------------------|--------|------------------------|------------------------|------------------------|-------------------------|-------------------------|--------------------------|-------------------------|--------------|-------|---------------------------------|----------------------------|
| 6 C 15 Π | N 18 | 6,3 | 0,44 | 150 | 40 | — | — | — | 45 | 52 | 1,15 | 7,8 |
| 6 C 29 B | O 1 | 6,3 | 0,3 | 120 | 16 | — | — | — | 19 | 40 | 2,1 | 2,4 |
| 6 C 33 C | H 1 | 6,3 | 3,3 | 120 | 550 | — | — | — | 40 | — | — | 60 |
| 6 C 39 C | H 2 | 6,3 | 0,2 | 30000 | 2,5 | — | — | — | 45 | 0,2 | 2500 | 75 |
| 6 C 40 Π | N 19 | 6,3 | 0,17 | 20000 | 0,3 | — | — | — | 14 | 0,2 | 5000 | 6 |
| 6 C 41 C | H 3 | 6,3 | 2,7 | 90 | 250 | — | — | — | 21 | — | — | 25 |
| 6 C 47 C | H 1 | 6,3 | 3,1 | 70 | 250 | — | — | — | 160 | 45 | — | 33 |
| 6 Γ 3 Π | N 21 | 6,3 | 0,45 | 250 | 1 | — | — | — | 3 | 1,3 | 48 | 1 |
| 6 \mathcal{K} 32 Π | N 20 | 6,3 | 0,3 | 250 | 3 | 140 | 1 | — | 2 | 1,8 | 2500 | 1 |
| 6 C 18 C | H 1 | 6,3 | 0,6 | 120 | 550 | — | — | — | 20 | 40 | 0,06 | 60 |
| 6 C 19 B | O 2 | 6,3 | 1,0 | 100 | 95 | — | — | — | 20 | 7,5 | 0,5 | 11 |
| 6 C 20 C | O 3 | 6,3 | 0,2 | 25000 | — | — | — | — | 8 | 0,25 | 8000 | 25 |
| 6 \mathcal{K} 33 A | H 5 | 6,3 | 0,13 | 120 | 8,2 | 100 | 4 | — | 4,6 | — | — | 1,3 |
| 6 \mathcal{K} 38 Π | H 6 | 6,3 | 0,18 | 150 | 13 | 100 | 3,2 | — | 10,6 | — | 175 | 2,5 |
| 6 \mathcal{K} 40 Π | H 7 | 6,3 | 0,15 | 12,6 | 1,85 | 6,3 | 0,5 | — | 2,1 | — | 100 | 0,5 |
| 6 K 6 A | H 8 | 6,3 | 0,13 | 120 | 9 | 100 | 4 | — | 4,5 | — | — | 1,3 |
| 6 K 8 Π | H 7 | 6,3 | 0,3 | 12,6 | 0,9 | 3,2 | 0,25 | — | 1,1 | — | 190 | 0,5 |
| 6 H 23 Π | N 23 | 6,3 | 0,3 | 100 | 15 | — | — | — | 9 | 12,7 | 32,5 | 1,8 |
| 6 H 24 Π | N 24 | 6,3 | 0,3 | 90 | 15 | — | — | — | 9 | 12,5 | 33 | 1,8 |
| 6 H 26 Π | N 25 | 6,3 | 0,6 | 150 | 14 | — | — | — | 9,5 | 48 | 48 | 2,6 |

I.4. Sockelschaltungen der Elektronenröhren

Tabelle 1.4. Sockelschaltungen der Elektronenröhren
1. Novalröhren (Bild 1.1a), S. 9

| Stift | | | Kappe | | | | | | | | |
|-------|---|-----------------|---|------|---|-------------------|--------------------------------------|----------------|----------------|--|--|
| Typ | 1 | 2 | 3 | 4 | 5 | 6 | 7 | 8 | 9 | | |
| N 1 | G ₂ | G ₁ | K | F | F | A | S | D | G ₃ | | |
| N 2 | G _{II} | K _{II} | A _{II} | F | F | S | A _I | K _I | G _I | | |
| N 3 | A | G | K | F | F | G | K | G | A | | |
| N 4 | A _{II} | G _{II} | K _{II} | F | F | A _I | G _I | K _I | F _M | | |
| N 5 | K | G ₁ | K | F | F | S | A | G ₂ | G ₃ | | |
| N 6 | K | G ₁ | K | F | F | — | A | G ₂ | G ₃ | | |
| N 7 | G ₃ | S | K | F | F | A | S | G ₂ | G ₁ | | |
| N 8 | G ₂ | S | K | F | F | A | S | G ₃ | G ₁ | | |
| N 9 | G ₂ | G ₁ | K | F | F | S, G ₃ | A | — | — | | |
| N 10 | — | G ₁ | K, G ₃ , S | F | F | — | — | — | G ₂ | | |
| N 11 | G _{Anz} | L | K | F | F | A _{II} | G _{II} | A _I | G _I | | |
| N 12 | K _P , K _T , G ₃ ' S | G _{1P} | K _P , K _T , G ₃ , S | F | F | A _P | G _{2P} | A _T | G _T | | |
| N 13 | A _T | G _{1P} | G _{2P} | F | F | A _P | K _P , G _{3P} , S | K _T | G _T | | |
| N 14 | K _T | G _{1P} | K _P , G _{3P} , S | F | F | A _P | G _{2P} | A _T | G _T | | |
| N 15 | K | G ₁ | G ₃ | F | F | A | K, G ₃ | G ₁ | — | | |
| N 16 | G ₁ | — | G ₂ | F | F | A | K, G ₃ | G ₁ | — | | |
| N 17 | — | F | — | K, F | F | K, F | — | F | K, F | | |

| Typ | Stift | | Kappe | | | | | | |
|------|------------------|-----------------|------------------|----------------|---|-----------------|---|-----------------|-----------------|
| | 1 | 2 | 3 | 4 | 5 | 6 | 7 | 8 | 9 |
| N 18 | K | G | K | F | F | K | A | G | K |
| N 19 | K, S | — | — | F | F | — | — | — | G |
| N 20 | G ₂ | S | K, F | F | F | A | S | G ₃ | G ₁ |
| N 21 | D _{III} | D _{II} | K _{DII} | F | F | D _I | K _T , K _{DI} , K _{DIII} , S | G | A |
| N 22 | G _I | K _I | A _I | F | F | S | A _{II} | K _{II} | G _{II} |
| N 23 | A _I | G _I | K _I | F | F | A _{II} | G _{II} | K _{II} | S |
| N 24 | K _I | G _I | A _I | F | F | G _{II} | K _{II} | K _{II} | A _{II} |
| N 25 | F | K _I | G _I | A _I | S | A _{II} | G _{II} | K _{II} | F |

2. Magnovalröhren (Bild 1.1b), S. 9

| Typ | Stift | | | | | | | Kappe | |
|-----|----------------|-------------------|-------------------|---|---|-------------------|-------------------|-------------------|---|
| | 1 | 2 | 3 | 4 | 5 | 6 | 7 | 8 | 9 |
| M 1 | K | S | — | F | F | — | — | G | — |
| M 2 | G ₁ | G ₁ | K, G ₃ | F | F | G ₂ | G ₂ | K, G ₃ | — |
| M 3 | G ₁ | G ₁ | K, G ₃ | F | F | G ₂ | G ₂ | — | A |
| M 4 | G ₂ | K, G ₃ | G ₁ | F | F | K, G ₃ | G ₁ | — | A |
| M 5 | G ₁ | G ₃ | G ₂ | F | F | G ₂ | G ₃ | G ₁ | A |
| M 6 | G ₁ | — | G ₂ | F | F | A | K, G ₃ | G ₁ | — |
| M 7 | — | A | *) | F | F | — | A | A | K |

*) Stift 3 der Röhre PY 500 ist an ein Stützgitter zwischen Heizfaden und Katode angeschlossen. Dieser Stift ist über einen Widerstand von 330Ω mit dem Heizfadenende zu verbinden, das die kleinste Spannung zu einem der beiden Pole der Netzspannung aufweist.

3. Heptalröhren (Bild 1.1c), S. 9

| Typ | Stift | | 3 | 4 | 5 | 6 | 7 | Kappe |
|-----|----------------|---------------------|---|---|---|-------------------|----------------------|-------|
| H 1 | F I | F I | K | A | G | F II | F II | — |
| H 2 | F | K | K | G | K | K | F | A |
| H 3 | F | — | K | A | G | — | F | — |
| H 5 | G ₂ | F | A | F | — | K, G ₃ | G ₁ | — |
| H 6 | G ₁ | K S, G ₃ | F | F | A | G ₂ | K, S, G ₃ | — |
| H 7 | G ₁ | K | F | F | A | G ₂ | G ₃ | — |
| H 8 | G ₂ | F | A | F | — | K, G ₃ | G ₁ | — |

4. Oktalröhren (Bild 1.1d), S. 9

| Typ | Stift | | 3 | 4 | 5 | 6 | 7 | 8 |
|-----|-------|---|---|---|---|---|---|---|
| O 1 | A | — | G | F | — | G | G | F |
| O 2 | A | — | G | F | G | K | G | F |
| O 3 | K | F | — | — | — | G | F | — |

1.5. Röhrenäquivalenzliste

Tabelle 1.5. Röhrenäquivalenzliste

| Röhre | Äqui- valenztyp | Band/ Seite | Röhre | Äqui- valenztyp | Band/ Seite |
|----------|--------------------|----------------|---------|--------------------|----------------|
| 1 AB 6 | DK 96*) | I/22 | 6 BQ 7 | ECC 180 | I/30 |
| 1 AC 6 | DK 92 | I/22 | 6 BR 5 | EM 80*) | I/30 |
| 1 AH 5 | DAF 96*) | I/22 | 6 BX 6 | EF 80**) | I/31 |
| 1 AJ 4 | DF 96*) | I/22 | 6 BX 7 | EF 85*) | I/31 |
| 1 AN 5 | DF 97 | | 6 CA 4 | EZ 81*) | I/31 |
| 1 M 3 | DM 70**) | | 6 CA 7 | EL 34*) | I/31 |
| 1 N 3 | DM 71**) | | 6 CC 31 | ECC 91 | I/43 |
| 1 R 5 | DK 91 | I/22 | 6 CC 40 | ECC 82*) | |
| 1 S 2 | DY 86*) | | 6 CC 41 | ECC 83*) | I/43 |
| 1 S 2 A | DY 87*) | | 6 CC 43 | ECC 85*) | |
| 1 S 5 | DAF 91 | I/22 | 6 CF 8 | EF 86*) | I/31 |
| 1 T 4 | DF 91 | I/23 | 6 CJ 5 | EL 41 | I/32 |
| 1 U 4 | DF 904 | I/22 | 6 CK 6 | EL 803 | I/32 |
| 1 X 2 A | DY 80 | | 6 CM 4 | EC 86*) | I/32 |
| 3 AB 4 | PC 92*) | | 6 CS 6 | EH 90*) | |
| 3 C 4 | DL 96*) | I/23 | 6 CT 7 | EAF 42 | I/33 |
| 3 S 4 | DL 92 | I/23 | 6 CU 7 | ECH 42 | I/33 |
| 3 V 4 | DL 94*) | I/23 | 6 CV 7 | EBC 41 | I/33 |
| 4 CM 4 | PC 86*) | | 6 CW 5 | EL 86*) | I/33 |
| 4 DL 4 | PC 88*) | | 6 CW 7 | ECC 84*) | I/33 |
| 5 AR 4 | GZ 34 | | 6 D 2 | EAA 901 S | |
| 6 AB 4 | EC 92*) | | 6 DA 5 | EM 81 | I/33 |
| 6 AB 8 | ECL 80 | I/26 | 6 DA 6 | EF 89*) | I/33 |
| 6 AF 4 | EC 94 | I/26 | 6 DC 8 | EBF 89*) | |
| 6 AJ 8 | ECH 81*) | I/27 | 6 DJ 8 | ECC 88*) | |
| 6 AK 8 | EABC 80*) | I/27 | 6 DL 4 | EC 88 | I/34 |
| 6 AL 3 | EY 88*) | | 6 DL 5 | EL 95*) | |
| 6 AL 5 | EAA 91*) | I/27 | 6 DR 6 | EL 81*) | I/34 |
| 6 AQ 8 | ECC 85*) | I/27 | 6 DR 8 | EBF 83 | |
| 6 AT 6 | EBC 90 | I/27 | 6 DS 8 | ECH 83 | |
| 6 AV 6 | EBC 91 | I/28 | 6 DU 8 | EM 85 | |
| 6 B 32 | EAA 91*) | | 6 DX 8 | ECL 84*) | |
| 6 B 32 | EAA 901 S | | 6 EH 7 | EF 183*) | |
| 6 BC 32 | EBC 91 | I/43 | 6 EJ 7 | EF 184*) | |
| 6 BD 7 A | EBC 81 | I/29 | 6 ES 6 | EF 97 | |
| 6 BK 6 | EBC 91 | I/30 | 6 ES 8 | ECC 189 | |
| 6 BL 8 | ECF 80 | I/30 | 6 ET 6 | EF 98 | |
| 6 BM 8 | ECL 82*) | I/33 | 6 F 22 | EF 806 S*) | III/19 |
| 6 BQ 5 | EL 84*) | I/33 | 6 F 31 | EF 83 | |

| Röhre | Äqui- valenztyp | Band/ Seite | Röhre | Äqui- valenztyp | Band/ Seite |
|------------|--------------------|----------------|----------|--------------------|----------------|
| 6 F 32 | EF 95*) | | 6 U 9 | ECF 201 | II/17 |
| 6 FG 6 | EM 84*) | | 6 V 4 | EZ 80*) | |
| 6 GM 8 | ECC 86 | | 6 V 9 | ECH 200 | II/17 |
| 6 GW 8 | ECL 86*) | | 6 X 2 | EY 51*) | |
| 6 GX 8 | EAM 86 | | 6 X 4 | EZ 90 | |
| 6 HU 6 | EM 87 | I/34 | 6 X 9 | ECF 200 | II/17 |
| 6 J 6 | ECC 91**) | I/34 | 6 X 5 G | EZ 35 | I/35 |
| 6 JW 8 | ECF 802 | | 6 Z 4 | EZ 91 | |
| 6 L 31 | EL 90 | I/44 | 6 A 2 П | EK 90 | I/37 |
| 6 L 40 | EL 84*) | | 6 A Ж 5 | EF 96**) | I/37 |
| 6 LD 13 | EBC 81 | | 6 Ж 1 П | EF 95**) | I/37 |
| 12 AT 7 | ECC 81*) | | 6 Ж 3 П | EF 96**) | I/38 |
| 12 AT 7 BA | ECC 801 S | III/12 | 6 Ж 4 П | EF 94 | I/38 |
| 12 AU 7 | ECC 82*) | | 6 Ж 6 П | ECC 91**) | I/38 |
| 12 AU 7 A | ECC 802 S | III/12 | 6 И 1 П | ECH 81*) | I/39 |
| 12 AU 7 WA | ECC 801 S | III/12 | 6 K 2 П | EF 93 | I/39 |
| 12 AX 7 | ECC 83*) | | 6 K 4 П | EF 93 | I/39 |
| 6 N 8 | EBF 80*) | | 6 H 14 П | EL 84*) | I/41 |
| 6 S 2 | EY 86*) | | 6 H 15 П | ECC 91**) | I/41 |
| 6 S 2 A | EY 87*) | | 6 П 18 П | EL 82 | I/41 |
| 6 T 8 | EABC 80*) | | 6 Φ 1 П | ECF 80 | I/42 |
| 6 U 8 | ECF 82*) | I/35 | | | |

*) wird auch in der DDR gefertigt

**) wurde auch in der DDR gefertigt

Unter Band/Seite ist vermerkt, wo die genannte Röhre in den Broschüren *Ausländische Röhren und Halbleiterbauelemente* — Teil I bis III- erscheint.

2. Halbleiterdioden

2.1. Z-Dioden

Unsere eigene Halbleiterindustrie stellt ein Sortiment von Z-Dioden her, das in der Spannungsreihe bis etwa 25 V allen üblichen Anforderungen genügt. Schwierig ist lediglich, den Ersatztyp aus unserer Produktion zu finden, der dem Originaltyp in seinen Daten am nächsten kommt. Die Z-Dioden verschiedener Hersteller — obwohl in den Daten oft einander sehr ähnlich — tragen die verschiedenartigsten Bezeichnungen. In Tabelle 2.1. bis Tabelle 2.3. werden die Daten der wichtigsten Z-Dioden genannt.

Tabelle 2.1. Z-Dioden aus der UdSSR

| Typ | U_Z in V | $r_{Z, \max}$ in Ω | $I_{Z, \max}$ in mA |
|---------|---------------|------------------------------|------------------------|
| Д 808 | 7 ... 8,5 | 6 | 33 |
| Д 809 | 8 ... 9,5 | 10 | 29 |
| Д 810 | 9 ... 10,5 | 12 | 26 |
| Д 811 | 10 ... 12 | 23 | 23 |
| Д 813 | 11,5 ... 14 | 18 | 20 |
| Д 814 А | 7 ... 8,5 | 6 | 40 |
| Д 814 Б | 8 ... 9,5 | 10 | 36 |
| Д 814 В | 9 ... 10,5 | 12 | 32 |
| Д 814 Г | 10 ... 12 | 15 | 29 |
| Д 814 Д | 11,5 ... 14 | 18 | 24 |
| Д 815 А | 5,6 | 0,6 | 1000 |
| Д 815 Б | 6,8 | 0,8 | 1000 |
| Д 815 В | 8,2 | 1 | 1000 |
| Д 815 Г | 10 | 1,8 | 500 |
| Д 815 Д | 12 | 2 | 500 |
| Д 815 Е | 15 | 2,5 | 500 |
| Д 815 Ж | 18 | 3 | 500 |
| Д 816 А | 22 | 7 | 150 |
| Д 816 Б | 27 | 8 | 150 |
| Д 816 В | 33 | 10 | 150 |
| Д 816 Г | 39 | 12 | 150 |

| Typ | U_Z in V | $r_{Z,\max}$ in Ω | $I_{Z,\max}$ in mA |
|----------|---------------|-----------------------------|-----------------------|
| Д 816 Д | 47 | 15 | 150 |
| Д 817 А | 56 | 35 | 50 |
| Д 817 Б | 68 | 40 | 50 |
| Д 817 В | 82 | 45 | 50 |
| Д 817 Г | 100 | 50 | 50 |
| Д 818 А | 9 | 25 | 33 |
| Д 818 Б | 9 | 25 | 33 |
| Д 818 В | 9 | 25 | 33 |
| Д 818 Г | 9 | 25 | 33 |
| КС 133 А | 3,3 | 65 | 81 |
| КС 139 А | 3,9 | 60 | 80 |
| КС 147 А | 4,7 | 56 | 78 |
| КС 156 А | 5,6 | 55*) | 46 |
| КС 168 А | 6,8 | 45*) | 28 |
| КС 196 А | 9,6 | 18 | 20 |
| КС 211 Б | 11 | 15 | 33 |
| КС 211 В | 11 | 15 | 33 |
| КС 211 Г | 11 | 15 | 33 |
| КС 211 Д | 11 | 15 | 33 |
| КС 620 А | 120 | 150 | 42 |
| КС 630 А | 130 | 180 | 38 |
| КС 650 А | 150 | 255 | 33 |
| КС 680 А | 150 | 230 | 28 |

*) gemessen bei $I_Z = 10$ mA

Tabelle 2.2. Z-Dioden von Tesla (ČSSR)

a) Verlustleistung 280 mW (5 W*) bei 45 °C

| Typ | U _Z in V | r _{Z,max} in Ω | I _{Z,max} in mA |
|--------|------------------------|----------------------------|-----------------------------|
| KZ 721 | 5,8 ... 7,8 | 10 | 36 |
| KZ 722 | 7,0 ... 9,4 | 10 | 30 |
| KZ 723 | 8,6 ... 11,8 | 20 | 23 |
| KZ 724 | 10,2 ... 14,0 | 50 | 20 |
| KZZ 71 | 5,8 ... 7,5 | 8 | 36 |
| KZZ 72 | 7,0 ... 8,5 | 6 | 33 |
| KZZ 73 | 8,0 ... 9,5 | 10 | 30 |
| KZZ 74 | 9,0 ... 10,5 | 12 | 26 |
| KZZ 75 | 10,0 ... 12,0 | 15 | 23 |
| KZZ 76 | 11,2 ... 14,0 | 18 | 20 |

*) mit Kühlfläche 60 mm × 60 mm × 2 mm Al

b) Verlustleistung 1,25 (5 W*) bei 45 °C

| Typ | U _Z in V | r _{Z,max} in Ω | I _{Z,max} in mA | I _{Z,max} *) in mA |
|---------|------------------------|----------------------------|-----------------------------|--------------------------------|
| 1 NZ 70 | 5 ... 6 | 2 | 230 | 790 |
| 2 NZ 70 | 6 ... 7 | 2 | 200 | 700 |
| 3 NZ 70 | 7 ... 8 | 2 | 180 | 640 |
| 4 NZ 70 | 8 ... 9 | 2 | 170 | 590 |
| 5 NZ 70 | 8,8 ... 11 | 4 | 130 | 460 |
| 6 NZ 70 | 11 ... 13,5 | 7 | 110 | 340 |
| 7 NZ 70 | 13,5 ... 16,5 | 11 | 90 | 300 |
| 8 NZ 70 | 16,2 ... 20 | 18 | 70 | 250 |

*) mit Aluminiumkühlfläche 60 mm × 60 mm × 2 mm beim 1,25-W-Typ, 100 mm × 100 mm × 2 mm beim 10-W-Typ

c) Verlustleistung 2,6 (10 W*) bei 25 °C

| Typ | U _Z in V | r _{Z,max} in Ω | I _{Z,max} in mA | I _{Z,max} *) in mA |
|--------|------------------------|----------------------------|-----------------------------|--------------------------------|
| KZ 703 | 6 ... 7,8 | 1 | 320 | 1300 |
| KZ 704 | 7 ... 9,2 | 1 | 270 | 1100 |
| KZ 705 | 8 ... 10,2 | 2 | 240 | 970 |
| KZ 706 | 9,4 ... 11,6 | 2 | 210 | 850 |
| KZ 707 | 10,6 ... 13,2 | 2 | 190 | 750 |
| KZ 708 | 12 ... 14,8 | 2 | 170 | 670 |
| KZ 709 | 13,6 ... 16,8 | 3 | 150 | 600 |
| KZ 710 | 15,2 ... 19 | 3 | 135 | 530 |

| Typ | U_Z in V | $r_{Z, \max}$ in Ω | $I_{Z, \max}$ in mA | $I_{Z, \max}^*)$ in mA |
|--------|---------------|------------------------------|------------------------|---------------------------|
| KZ 711 | 16,8 ... 21 | 3 | 120 | 470 |
| KZ 712 | 19 ... 23,6 | 3 | 105 | 420 |
| KZ 713 | 21,6 ... 26,6 | 3 | 95 | 370 |
| KZ 714 | 24,2 ... 29,8 | 4 | 85 | 330 |
| KZ 715 | 27 ... 33 | 4 | 75 | 300 |
| KZ 751 | 58 ... 66 | 80 | 38 | 150 |
| KZ 752 | 64 ... 72 | 80 | 34 | 138 |
| KZ 753 | 71 ... 79 | 80 | 31 | 125 |
| KZ 754 | 77 ... 88 | 80 | 28 | 110 |
| KZ 755 | 85 ... 96 | 80 | 26 | 100 |

*) mit Aluminiumkühlfläche 60 mm \times 60 mm \times 2 mm beim 1,25-W-Typ, 100 mm \times 100 mm \times 2 mm beim 10-W-Typ

Tabelle 2.3. Z-Dioden westeuropäischer Staaten

a) Alte Z-Dioden von *Telefunken*

| Typ | U_Z in V | r_Z bei $I_Z = 5$ mA in Ω |
|-----------|---------------|---------------------------------------|
| OA 126/5 | 4,4 ... 5,6 | 45 |
| OA 135/6 | 5,4 ... 6,6 | 27 |
| OA 126/7 | 6,4 ... 7,6 | 4,5 |
| OA 126/8 | 7,4 ... 8,6 | 2,6 |
| OA 126/9 | 8,4 ... 9,6 | 4,4 |
| OA 126/10 | 9,4 ... 10,6 | 7 |
| OA 126/11 | 10,4 ... 11,6 | 10,5 |
| OA 126/12 | 11,4 ... 12,6 | 15 |
| OA 126/14 | 12,4 ... 16,1 | 22 |
| OA 126/18 | 15,9 ... 20,1 | 24 |

Die Verlustleistung aller Z-Dioden darf 250 mW bei Temperaturen bis 45 °C betragen.

b) Alte Z-Dioden von *Siemens*

| Typ | $U_Z \pm 0,6 \text{ V}$ | r_Z bei $I_Z = 5 \text{ mA}$ in Ω |
|-------|-------------------------|---|
| SZ 5 | 5 | < 30*) |
| SZ 6 | 6 | < 20*) |
| SZ 7 | 7 | < 15*) |
| SZ 8 | 8 | < 15 |
| SZ 9 | 9 | < 20 |
| SZ 10 | 10 | < 25 |
| SZ 11 | 11 | < 35 |
| SZ 12 | 12 | < 40 |
| SZ 13 | 13 | < 50 |
| SZ 14 | 14 | < 65 |
| SZ 15 | 15 | < 80 |
| SZ 16 | 16 | < 95 |
| SZ 17 | 17 | < 105 |
| SZ 18 | 18 | < 125 |
| SZ 19 | 19 | < 145 |
| SZ 20 | 20 | < 165 |

*) bei $I_Z = 20 \text{ mA}$

Die Verlustleistung aller Z-Dioden darf bei 25 °C 250 mW in freitragender Befestigungsart und bei Chassismontage 500 mW maximal betragen.

c) Z-Dioden von *Telefunken*

| Typ | U_Z in V | r_Z bei $I_Z = 50 \text{ mA}$ in Ω |
|---------------|---------------|--|
| BZX 51 ... 54 | 8,4 \pm 0,4 | 9*) |
| BZY 14 | 5,0 ... 6,2 | < 5 |
| BZY 15 | 6,1 ... 7,5 | < 3 |
| BZY 16 | 7,4 ... 9,1 | < 4 |
| BZY 17 | 9,0 ... 11,0 | < 7,5 |
| BZY 18 | 10,8 ... 13,3 | < 13 |
| BZY 19 | 13,2 ... 16,3 | < 25 |
| BZY 20 | 16,2 ... 20,0 | < 40 |
| BZY 21 | 19,8 ... 24,0 | < 60 |
| BZ 102/0 V 7 | 0,65 ... 0,75 | 6,5 (10)**) |
| BZ 102/1 V 4 | 1,3 ... 1,5 | 13 (20)**) |
| BZ 102/2 V 1 | 1,9 ... 2,3 | 19,5 (30)**) |
| BZ 102/2 V 8 | 2,6 ... 3,0 | 26 (40)**) |
| BZ 102/3 V 4 | 3,2 ... 3,7 | 32,5 (50)**) |

*) bei $I_Z = 25 \text{ mA}$

**) Die Zahl in Klammern gibt den Z-Strom in mA an, bei dem der betreffende Wert von r_Z gemessen wurde.

Die maximale Verlustleistung aller Dioden darf bei 45 °C in freitragender Bauweise 400 mW, mit Aluminiumkühlblech (100 mm \times 100 mm \times 2 mm) 3500 mW betragen.

d) Z-Leistungsdioden von *Siemens*

| Typ | U_Z in V | r_Z bei $I_Z = 50 \text{ mA}$ in Ω |
|--------|---------------|--|
| SZL 6 | 5,4 ... 6,6 | < 2,0*) |
| SZL 7 | 6,4 ... 7,6 | < 2,5 |
| SZL 8 | 7,4 ... 8,6 | < 3,5 |
| SZL 9 | 8,4 ... 9,6 | < 3,5 |
| SZL 10 | 9,4 ... 10,6 | < 3,5 |
| SZL 11 | 10,4 ... 11,6 | < 5,0 |
| SZL 12 | 11,4 ... 12,6 | < 6,0 |

*) Bei $I_Z = 100 \text{ mA}$

Die maximale Verlustleistung aller Dioden darf bei 25 °C in freitragender Bauweise 1,25 W betragen, bei Chassismontage 14 W.

e) Z-Dioden von *SGS Fairchild*

| Typ | $U_Z \pm 5\%$ in V | r_Z bei I_Z in Ω | I_Z in mA |
|--------|-----------------------|--------------------------------|----------------|
| BZX 10 | 6,2 | 7,0 | 20,0 |
| BZX 11 | 6,8 | 5,0 | 20,0 |
| BZX 12 | 7,5 | 6,0 | 20,0 |
| BZX 13 | 8,2 | 8,0 | 20,0 |
| BZX 14 | 9,1 | 10,0 | 20,0 |
| BZX 15 | 10,0 | 17,0 | 20,0 |
| BZX 16 | 11,0 | 9,5 | 11,5 |
| BZX 17 | 12,0 | 11,5 | 10,5 |
| BZX 18 | 13,0 | 13,0 | 9,5 |
| BZX 19 | 15,0 | 16,0 | 8,5 |
| BZX 20 | 16,0 | 17,0 | 7,8 |
| BZX 21 | 18,0 | 21,0 | 7,0 |
| BZX 22 | 20,0 | 25,0 | 6,2 |
| BZX 23 | 22,0 | 29,0 | 5,6 |
| BZX 24 | 24,0 | 33,0 | 5,2 |
| BZX 25 | 27,0 | 41,0 | 4,6 |
| BZX 26 | 30,0 | 49,0 | 4,2 |
| BZX 27 | 33,0 | 58,0 | 3,8 |

f) Z-Dioden von *Intermetall*

Von Intermetall gibt es mehrere Z-Dioden-Serien, wobei der Mittelwert der Z-Spannung U_Z aus der Zahl in der Bezeichnung hervorgeht. Es gibt folgende Serien:

$Z n$ bzw. $Z n K$, Z-Diode mit 250 mW Verlustleistung in freitragender Montage bzw. 350 mW mit Kühlechelle und Kühleblech aus Aluminium (20 mm \times 40 mm \times 1 mm).

Beispiel

$Z 7 K$ ist eine Z-Diode für 7 bis 8 V.

$ZF n$, Z-Diode mit 400 mW Verlustleistung in freitragender Bauweise. Die Kennzeichnung erfolgt ähnlich der Reihe $Z n$.

Beispiel

$ZF 7,5$ ist eine Z-Diode für 7,1 bis 7,9 V.

$ZD n$, Leistungs-Z-Diode mit 1,1 W Verlustleistung in freitragender Bauweise.

Beispiel

ZD 10 ist eine Leistungs-Z-Diode für 9,4 bis 10,6 V.

ZL n, Leistungs-Z-Diode mit 1,3 W Verlustleistung in freitragender Montage bzw. 10,7 W mit Aluminiumkühlblech (100 mm × 100 mm × 2 mm).

Beispiel

ZL 4,7 ist eine Leistungs-Z-Diode für 4,1 bis 5,2 V.

ZM n, Leistungs-Z-Diode, 1,1 W in freitragender Montage.

Beispiel

ZM 12 ist eine Leistungs-Z-Diode für 10,7 bis 13,4 V.

ZX n, Leistungs-Z-Diode, 1,3 W in freitragender Montage bzw. 10,7 W mit Aluminiumkühlblech (100 mm × 100 mm × 2 mm).

Beispiel

ZX 18 ist eine Leistungs-Z-Diode für 16,8 bis 19,0 V.

Alle Verlustleistungen sind Maximalwerte und gelten bis zu Temperaturen von 45 °C.

g) Z-Dioden einiger französischer Hersteller

| Typ | U_Z in V | r_Z bei $I_Z \doteq 1$ mA in Ω |
|--------|---------------|--|
| BZY 56 | 4,4 ... 5,0 | 370 |
| BZY 57 | 4,8 ... 5,4 | 360 |
| BZY 58 | 5,3 ... 6,0 | 280 |
| BZY 59 | 5,8 ... 6,6 | 200 |
| BZY 60 | 6,4 ... 7,2 | 5 |
| BZY 61 | 7,1 ... 7,9 | 8 |
| BZY 62 | 7,7 ... 9,7 | 6,2 |
| BZY 63 | 8,6 ... 9,6 | 8 |

| Typ | U _Z in V | |
|--------|------------------------|---|
| BZY 64 | 3,3 ... 5,0 | Maximale Verlustleistung bei 45 °C P _{V,max} = 230 mW |
| BZY 65 | 4,4 ... 6,0 | |
| BZY 66 | 5,3 ... 7,2 | |
| BZY 67 | 6,4 ... 9,7 | |
| BZY 68 | 7,7 ... 10,6 | |
| BZY 69 | 9,4 ... 15 | |
| BZZ 10 | 5,3 ... 6,6 | |
| BZZ 11 | 5,8 ... 7,2 | |
| BZZ 12 | 6,4 ... 7,9 | |
| BZZ 13 | 7,1 ... 8,7 | Maximale Verlustleistung bei 45 °C P _{V,max} = 1500 mW |
| BZZ 14 | 5,5 ... 6,3 | |
| BZZ 15 | 5,8 ... 6,8 | |
| BZZ 16 | 6,4 ... 7,4 | |
| BZZ 17 | 7,2 ... 8,2 | |
| BZZ 18 | 7,8 ... 9,0 | |
| BZZ 19 | 8,8 ... 10,0 | |
| BZZ 20 | 9,6 ... 11,0 | |
| BZZ 21 | 10,4 ... 11,6 | |
| BZZ 22 | 11,4 ... 12,6 | |
| BZZ 23 | 12,4 ... 14,1 | |
| BZZ 24 | 13,9 ... 15,6 | |
| BZZ 25 | 15,4 ... 17,1 | |
| BZZ 26 | 16,9 ... 19,1 | |
| BZZ 27 | 18,9 ... 21,2 | |
| BZZ 28 | 20,8 ... 23,3 | |
| BZZ 29 | 22,7 ... 25,9 | |

| U _Z in V | Typ | I _{Z,max} in mA | Typ | I _{Z,max} in mA | Typ | I _{Z,max} in mA |
|------------------------|---------|-----------------------------|-----------|-----------------------------|------------|-----------------------------|
| 5,6 | 1 N 708 | 40,3 | | | | |
| 6,8 | 1 N 710 | 33,5 | 1 N 957 A | 53 | | |
| 8,2 | 1 N 712 | 27,5 | 1 N 959 A | 44 | | |
| 10 | 1 N 714 | 22,7 | 1 N 961 A | 36 | 1 N 3020 A | 91 |
| 12 | 1 N 716 | 19,2 | 1 N 963 A | 31 | 1 N 3022 A | 77 |
| 15 | 1 N 718 | 15,6 | 1 N 965 A | 25 | 1 N 3024 A | 62 |
| 18 | 1 N 720 | 12,5 | 1 N 967 A | 20 | 1 N 3026 A | 50 |
| 22 | 1 N 722 | 10,4 | 1 N 969 A | 16,6 | 1 N 3028 A | 41 |
| 27 | 1 N 724 | 8,3 | 1 N 971 A | 13,3 | 1 N 3030 A | 33 |
| 33 | 1 N 726 | 6,9 | 1 N 973 A | 11,1 | 1 N 3032 A | 28 |

| U _Z in V | Typ | I _{Z,max} in mA | Typ | I _{Z,max} in mA | Typ | I _{Z,max} in mA |
|------------------------|---------|-----------------------------|-----------|-----------------------------|------------|-----------------------------|
| 39 | 1 N 728 | 5,8 | 1 N 975 A | 9,3 | 1 N 3034 A | 23 |
| 47 | 1 N 730 | 4,9 | 1 N 977 A | 7,7 | 1 N 3036 A | 19 |
| 56 | 1 N 732 | 4,0 | 1 N 979 A | 6,4 | 1 N 3038 A | 16 |
| 68 | 1 N 734 | 3,3 | 1 N 981 A | 5,3 | 1 N 3040 A | 13 |
| 82 | 1 N 736 | 2,7 | 1 N 983 A | 4,4 | 1 N 3042 A | 11 |
| 100 | 1 N 738 | 2,2 | 1 N 985 A | 3,6 | 1 N 3044 A | 9,1 |
| 120 | 1 N 740 | 1,9 | 1 N 987 A | 3,1 | 1 N 3046 A | 7,7 |
| 150 | 1 N 742 | 1,5 | 1 N 989 A | 2,5 | 1 N 3048 A | 6,2 |
| 180 | 1 N 744 | 1,25 | 1 N 991 A | 2,0 | 1 N 3050 A | 5,0 |

| Typ | U _Z in V | |
|---------|------------------------|---|
| OAZ 200 | 4,4 ... 5,0 | Maximale Verlustleistung bei 45 °C P _{V,max} = 260 mV |
| OAZ 201 | 4,8 ... 5,4 | |
| OAZ 202 | 5,3 ... 6,0 | |
| OAZ 203 | 5,8 ... 6,6 | |
| OAZ 204 | 6,4 ... 7,2 | |
| OAZ 205 | 7,1 ... 7,9 | |
| OAZ 206 | 7,7 ... 8,7 | |
| OAZ 207 | 8,6 ... 9,6 | |
| OAZ 208 | 3,3 ... 5,0 | |
| OAZ 209 | 4,4 ... 6,0 | |
| OAZ 210 | 5,3 ... 7,2 | |
| OAZ 211 | 6,4 ... 8,7 | |
| OAZ 212 | 7,7 ... 9,1 | |
| OAZ 213 | 9,4 ... 15,0 | |

h) Moderne Gemeinschaftsentwicklung verschiedener Hersteller

Die Bezeichnung der Z-Dioden beginnt mit den Buchstaben *BZ ... BZZ*. Es folgen die Seriennummer und ein schräger Strich. Die folgende Zahl gibt die *abgerundete* mittlere Z-Spannung in V an. Hinter dem Buchstaben V folgt die Dezimale der Z-Spannung.

Beispiel

BZY 83/C 6 V 8 ist eine Z-Diode für 6,8 V Z-Spannung.

Folgende Z-Diodenserien gelten als bekannt:

BZX 29 Z-Dioden in Glasgehäuse,

$$T_u \leq 25\text{ }^{\circ}\text{C}, P_{v, \max} = 1\text{ W}$$

BZY 78 Z-Dioden in Glasgehäuse,

$$T_u \leq 25\text{ }^{\circ}\text{C}, P_{v, \max} = 250\text{ mW}$$

BZY 83 Z-Dioden in Metallgehäuse,

$$T_u \leq 45\text{ }^{\circ}\text{C}, P_{v, \max} = 250\text{ mW}$$

BZY 85 Z-Dioden in Glasgehäuse,

$$T_u \leq 45\text{ }^{\circ}\text{C}, P_{v, \max} = 250\text{ mW}$$

BZY 88 Z-Dioden in Glasgehäuse,

$$T_u \leq 25\text{ }^{\circ}\text{C}, P_{v, \max} = 400\text{ mW}$$

BZY 91 Z-Dioden in Metallgehäuse,

$$T_u \leq 65\text{ }^{\circ}\text{C}, P_{v, \max} = 75\text{ W}$$

BZY 92 Z-Dioden in Metallgehäuse,

$$T_u \leq 45\text{ }^{\circ}\text{C}, P_{v, \max} = 11\text{ W}$$

BZY 93 Z-Dioden in Metallgehäuse,

$$T_u \leq 65\text{ }^{\circ}\text{C}, P_{v, \max} = 20\text{ W}$$

BZY 94 Z-Dioden in Glasgehäuse,

$$T_u \leq 45\text{ }^{\circ}\text{C}, P_{v, \max} = 400\text{ mW}$$

BZY 95 Z-Dioden in Metallgehäuse,

$$T_u \leq 45\text{ }^{\circ}\text{C}, P_{v, \max} = 1,3\text{ W}$$

BZY 96 Z-Dioden in Metallgehäuse,

$$T_u \leq 45\text{ }^{\circ}\text{C}, P_{v, \max} = 1,3\text{ W}$$

2.2. Tunneldioden

Obwohl Tunneldioden seit ihrem „Höhepunkt“ Anfang der 60er Jahre viel an Bedeutung verloren haben, findet der Amateur in der ausländischen Literatur immer noch Schaltungen mit ihnen, die er nachbaut. In Tabelle 2.4. und Tabelle 2.5. werden die Daten der wichtigsten Tunneldioden verschiedener europäischer Hersteller genannt.

Tabelle 2.4. Tunneldioden aus der UdSSR

| Typ | $I_p^*)$ in mA | $I_p/I_V^*)$ — | $U_p^*)$ in V | C in pF | $U_{FP}^*)$ in V |
|----------|-------------------|-------------------|------------------|------------|---------------------|
| АИ 101 А | $1 \pm 0,25$ | 5 | 0,16 | 3 | |
| АИ 101 Б | $1 \pm 0,25$ | 5 | 0,16 | 6 | |
| АИ 101 В | $2 \pm 0,3$ | 6 | 0,16 | 2 | |
| АИ 101 Г | $2 \pm 0,3$ | 6 | 0,16 | 3,7 | |
| АИ 101 Д | $2 \pm 0,3$ | 6 | 0,16 | 6 | |
| АИ 101 Е | $5 \pm 0,5$ | 6 | 0,18 | 3 | |
| АИ 101 Ж | $5 \pm 0,5$ | 6 | 0,18 | 6 | |
| АИ 101 И | $5 \pm 0,5$ | 6 | 0,18 | 10 | |
| АИ 201 А | 10 ± 1 | 10 | 0,20 | 3,5 | |
| АИ 201 Б | 10 ± 1 | 10 | 0,18 | 6 | |
| АИ 201 В | 10 ± 1 | 10 | 0,18 | 10 | |
| АИ 201 Г | 20 ± 2 | 10 | 0,21 | 4 | |
| АИ 201 Д | 20 ± 2 | 10 | 0,20 | 7 | |
| АИ 201 Е | 20 ± 2 | 10 | 0,20 | 12 | |
| АИ 201 Ж | 50 ± 5 | 10 | 0,26 | 8 | |
| АИ 201 И | 50 ± 5 | 10 | 0,26 | 15 | |
| АИ 201 К | 100 ± 10 | 10 | 0,33 | 15 | |
| АИ 201 Л | 100 ± 10 | 10 | 0,33 | 40 | |
| ЗИ 301 А | $2 \pm 0,4$ | 8 | 0,18 | 12 | 0,65 |
| ЗИ 301 Б | $5 \pm 0,5$ | 8 | 0,18 | 25 | 0,85 ... 1,15 |
| ЗИ 301 В | $5 \pm 0,5$ | 8 | 0,18 | 25 | 1 ... 1,3 |
| ЗИ 301 Г | 10 ± 1 | 8 | 0,18 | 50 | 0,8 |

*) siehe Bild 2.1, Seite 32

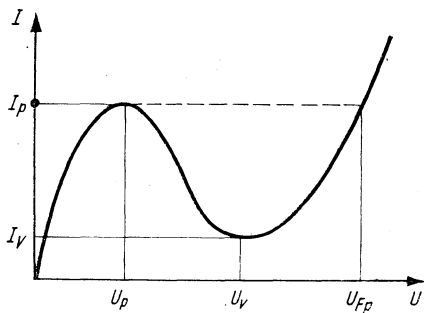


Bild 2.1 Kennlinie und Definitionen der Tunneldiode (Durchlaßbereich)

Tabelle 2.5. Tunneldioden westeuropäischer Staaten

| Typ | $I_p^*)$ in mA | $I_p/I_v^*)$ | $U_p^*)$ in mV | $U_{Fp}^*)$ in mV | $U_v^*)$ in mV |
|--------|-------------------|--------------|-------------------|----------------------|-------------------|
| AE 100 | 1 | 6,5 | 55 | | 300 |
| AEY 14 | 11 | 6 | 100 | 500 | 340 |
| AEY 18 | 2,7 | 6 | 90 | 480 | 330 |
| AEY 19 | 4,7 | 6 | 90 | 480 | 330 |
| AEY 20 | 10 | 6 | 100 | 500 | 340 |
| AEY 21 | 20 | 6 | 100 | 510 | 360 |
| AEY 22 | 5 | 6 | 90 | 480 | 330 |
| AEY 23 | 1 | 6 | 80 | 480 | 300 |
| AEY 24 | 2,5 | 6 | 90 | 480 | 330 |
| AEY 25 | 4,7 | 6 | 90 | 480 | 330 |
| AEY 26 | 5 | 6 | 100 | 480 | 330 |
| AEY 27 | 10 | 6 | 100 | 500 | 340 |
| AEY 28 | 20 | 6 | 100 | 510 | 360 |
| AEY 13 | 2 | 11 | 50 | | 300 |
| AEY 15 | 2 | 11 | 50 | | 300 |
| AEY 16 | 2 | 11 | 50 | | 300 |

| Typ | $I_p^*)$ in mA | $I_p/I_v^*)$ | $U_p^*)$ in mV | $U_v^*)$ in mV | Äquivalenz- typ |
|----------|-------------------|--------------|-------------------|-------------------|--------------------|
| SF.D 160 | 1 | 9 | | | 1 N 2939 |
| SF.D 161 | 2,2 | 9 | | | 1 N 2969 |
| SF.D 162 | 3,3 | 9 | | | |
| SF.D 163 | 4,7 | 9 | | | 1 N 2941 |
| SF.D 164 | 5,6 | 9 | | | |
| SF.D 165 | 10 | 9 | | | 1 N 3149 |
| SF.D 166 | 22 | 9 | | | 1 N 3150 |
| TU 10/1 | $1 \pm 0,1$ | 7 | 55 | 250 | |
| TU 10/2 | $1 \pm 0,3$ | 7 | 55 | 250 | |
| TU 11/1 | $1 \pm 0,2$ | 7 | 55 | 250 | |
| TU 11/2 | $2 \pm 0,1$ | 7 | 55 | 250 | |
| TU 12/1 | $5 \pm 0,5$ | 7 | 55 | 250 | |
| TU 12/2 | $5 \pm 1,5$ | 7 | 55 | 250 | |
| TU 13/1 | 10 ± 1 | 7 | 55 | 250 | |
| TU 13/2 | 10 ± 2 | 7 | 55 | 250 | |
| TU 14/1 | 20 ± 2 | 7 | 55 | 250 | |
| TU 14/2 | 20 ± 4 | 7 | 55 | 250 | |
| TU 101 | $1 \pm 0,1$ | 6 | 55 | 250 | |
| TU 102 | $2 \pm 0,2$ | 6 | 55 | 250 | |
| TU 105 | $5 \pm 0,25$ | 6 | 55 | 250 | |
| TU 110 | 10 ± 1 | 6 | 55 | 250 | |

*) siehe Bild 2.1, Seite 32

2.3. Kapazitätsdioden

Seit einigen Jahren werden besonders in der Konsumgüterelektronik spezielle Kapazitätsdioden benötigt. Es handelt sich dabei um Siliziumdioden, deren Sperrschichtkapazität (wie bei allen Halbleiterbauelementen) sich proportional zur Sperrspannung verhält. Durch einfaches Ändern einer Gleichspannung (der erwähnten Sperrspannung) kann man so eine Kapazität verändern, was besonders für die Abstimmung von Schwingkreisen in Rundfunk- und Fernsehempfängern so wichtig ist.

Erwähnt werden muß, daß nicht nur die Sperrschichtkapazität von der Sperrspannung abhängt, sondern auch die Güte der Sperrschicht. Ein weiteres Problem der Kapazitätsdiode ist von Bedeutung: die Erzielung eines möglichst großen Kapazitätshubes ΔC .

In Tabelle 2.6. bis Tabelle 2.8. wurden die Daten einiger wichtiger europäischer Kapazitätsdioden aufgeführt. Bedauerlicherweise lagen unterschiedliche Daten von den einzelnen Herstellern vor, die einen unmittelbaren Vergleich der verschiedenen Kapazitätsdioden sehr erschwerten.

Tabelle 2.6. Kapazitätsdioden aus der UdSSR

| Typ | Kapazität*) in pF | $U_{R, \max}$ in V | Q_{\min} | ΔC |
|---------|----------------------|-----------------------|------------|------------|
| Д 901 А | 22 ... 32 | — 80 | 25 | 4 |
| Д 901 Б | 22 ... 32 | — 45 | 30 | 3 |
| Д 901 В | 28 ... 38 | — 80 | 25 | 4 |
| Д 901 Г | 28 ... 38 | — 45 | 30 | 3 |
| Д 901 Д | 34 ... 44 | — 80 | 25 | 4 |
| Д 901 Е | 34 ... 44 | — 45 | 30 | 3 |
| Д 902 | 6 ... 12 | — 25 | 30 | 2,5 |

*) bei $U_R = -4 \text{ V}$, $f = 50 \text{ MHz}$

Tabelle 2.7. Kapazitätsdioden von Tesla (ČSSR)

| Typ | $U_{R,\max}$ in V | C*) in pF | $\Delta C^{**})$ |
|--------|----------------------|--------------|------------------|
| KA 201 | — 20 | 22 | 1,4 |
| KA 201 | — 20 | 36 | 1,4 |
| KA 204 | — 30 | 8 | 2,5***) |

*) bei $U_R = -4$ V **) bei $U_R = 10:4$ ***) bei $U_R = 30:3$

Tabelle 2.8. Kapazitätsdioden westeuropäischer Staaten

| Typ | Hersteller | $U_{R,max}$ in V | I_R in μA | C_{10} in pF | ΔC |
|--------|------------|---------------------|---------------------|-------------------|------------|
| BA 101 | Tfk | — 25 | — 0,01*) | 15 | 5 |
| BA 102 | Val | — 20 | — 5**) | 16 | 2,5 |
| BA 110 | Int | — 20 | — 0,05*) | 6,3 | 1,5 |
| BA 111 | Int | — 20 | — 0,1*) | 35 | 2,7 |
| BA 112 | Int | — 20 | — 0,2*) | 63 | 2,7 |
| BA 119 | Sie | — 50 | — 0,1*) | 10 | |
| BA 120 | Sie | — 50 | — 0,1 | 50 | |
| BA 121 | Tfk | — 30 | — 0,025*) | 6,2 | 3,8 |
| BA 124 | Tfk | — 30 | — 0,05**) | 35 | 3,5 |
| BA 125 | Tfk | — 30 | — 0,05**) | 25 | 2,8 |
| BA 138 | Sie | — 30 | — 0,07*) | 16,5 | 4,8 |
| BA 139 | Sie | — 28 | — 0,05*) | 4,3 | 9,5 |
| BA 140 | Sie | — 28 | — 0,05*) | 4,3 | 9,5 |
| BA 141 | Int | — 28 | — 0,08*) | 17,5 | 7,2 |
| BA 142 | Int | — 28 | — 5***) | 17,5 | 7,2 |
| BA 149 | Tfk | — 50 | — 0,1***) | 2,8 | 6,0 |
| BA 150 | Tfk | — 25 | — 0,015***) | 35 | 2,8 |
| BA 162 | Int | — 28 | — 0,5***) | 3x) | 7 |
| BAY 35 | Int | — 5 | | 100xx) | 1,1 |
| BAY 66 | Val | — 100 | — 0,01***) | 21 | 13 |
| BAY 70 | Tfk | — 30 | — 0,025*) | 3,2 | 3,5 |
| BAY 96 | Val | — 120 | | 26 | 8,5 |
| BB 102 | Tfk | — 50 | — 0,1**) | 17xxx) | 7 |
| BB 103 | Sie | — 30 | — 0,01*) | 13 | 5 |
| BB 104 | Sie | — 30 | — 0,01*) | 18 | 5 |
| BB 105 | Sie | — 28 | — 0,05 | 5 | 20 |

Es bedeuten:

*) bei $U_R = -10$ V **) bei $U_R = -20$ V

***) bei dem angegebenen Grenzwert von U_R

x) bei $U_R = -25$ V xx) bei $U_R = -1$ V xxx) bei $U_R = -2$ V

Das angegebene Kapazitätsverhältnis C ist rein theoretisch. Der praktisch ausnutzbare Wert liegt von Fall zu Fall tiefer, da bei geringen Sperrspannungen der Gütefaktor absinkt, was meist unerwünscht ist.

3. Thyristoren

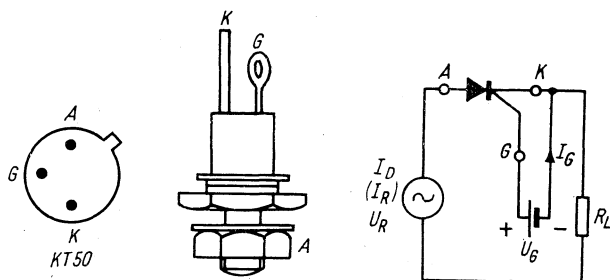


Bild 3.1 Symbole und Anschlußbezeichnungen beim Thyristor

Tabelle 3.1. Thyristoren aus der UdSSR

| Typ | $U_{R,max}$ in V | $I_{D,max}$ in A | $U_{KG,max}$ in V | $I_{G,max}$ in mA |
|------------|---------------------|---------------------|----------------------|----------------------|
| BK Y-10 | 600 | 10 | 1,25 | 20 |
| BK Y-20 | 600 | 20 | 1,25 | 20 |
| BK Y-50 | 600 | 50 | 1,87 | 20 |
| BK Y-100 | 600 | 100 | 2,5 | 20 |
| BK Y B-100 | 600 | 100 | 2,5 | 20 |
| T-300 | 600 | 120 | 3,0 | 400 |
| TL 1-100 | 600 | 90 | | 300 |
| TL 1-150 | 600 | 130 | | 300 |
| TL 2-100 | 800 | 110 | 7 | 300 |
| TL 2-150 | 800 | 140 | 7 | 300 |
| TL 2-200 | 800 | 190 | 7 | 300 |
| TL 2-750 | 600 | 300 | 8 | 400 |
| TL 2-1000 | 600 | 380 | 8 | 400 |

Tabelle 3.2. Thyristoren von Tesla (ČSSR)

| Typ | $U_{R,max}$ in V | $I_{R,max}$ in mA | $I_{D,max}$ in A | $I_{G,max}$ in mA | R_{thG} in $^{\circ}C/W$ |
|--------|---------------------|----------------------|---------------------|----------------------|-------------------------------|
| KT 501 | 60 | 0,5 | 1 | 10 | 60 |
| KT 502 | 120 | 0,5 | 1 | 10 | 60 |
| KT 503 | 240 | 0,5 | 1 | 10 | 60 |
| KT 504 | 360 | 0,5 | 1 | 10 | 60 |
| KT 505 | 480 | 0,5 | 1 | 10 | 60 |
| KT 710 | 60 | 0,5 | 3 | 15 | |
| KT 711 | 120 | 0,5 | 3 | 15 | |
| KT 712 | 240 | 0,5 | 3 | 15 | |
| KT 713 | 360 | 0,5 | 3 | 15 | |
| KT 714 | 480 | 0,5 | 3 | 15 | |

Die Sockelschaltung der *Tesla*-Thyristoren ist aus Bild 3.1 ersichtlich.

Tabelle 3.3. Thyristoren aus der DDR-Entwicklung

| Typ | Sperrspannung in V | eff. Durchlaßstrom in A | Zündspannung in V | Zündstrom in mA |
|-----------------|-----------------------|----------------------------|----------------------|--------------------|
| a) Reihe ST 111 | | | | |
| ST 111/1 | 100 | 25 | ≤ 3 | ≤ 100 |
| ST 111/2 | 200 | 25 | ≤ 3 | ≤ 100 |
| ST 111/4 | 400 | 25 | ≤ 3 | ≤ 100 |
| ST 111/6 | 600 | 25 | ≤ 3 | ≤ 100 |
| ST 111/8 | 800 | 25 | ≤ 3 | ≤ 100 |

| Typ | Sperrspannung in V | eff. Durchlaßstrom in A | Zündspannung in V | Zündstrom in mA |
|-----------------|-----------------------|----------------------------|----------------------|--------------------|
| b) Reihe ST 121 | | | | |
| ST 121/1 | 100 | 40 | ≤ 3 | ≤ 100 |
| ST 121/2 | 200 | 40 | ≤ 3 | ≤ 100 |
| ST 121/4 | 400 | 40 | ≤ 3 | ≤ 100 |
| ST 121/6 | 600 | 40 | ≤ 3 | ≤ 100 |
| ST 121/8 | 800 | 40 | ≤ 3 | ≤ 100 |

Tabelle 3.4. Thyristoren westeuropäischer Staaten

| Typ | Her- steller | $U_{R,max}$ in V | $I_{R,max}$ in mA | $I_{D,max}$ in A | $U_{G,max}$ in V | $I_{G,max}$ in mA | R_{thG} in $^{\circ}C/W$ |
|-------------|-----------------|---------------------|----------------------|---------------------|---------------------|----------------------|-------------------------------|
| T 0,8 N 0,6 | | | | | | | |
| AOO | Int | 60 | 1 | 0,8 | 3 | 10 | 45 |
| T 0,8 N 1 | | | | | | | |
| AOO | Int | 100 | 1 | 0,8 | 3 | 10 | 45 |
| T 0,8 N 2 | | | | | | | |
| AOO | Int | 200 | 1 | 0,8 | 3 | 10 | 45 |
| T 8,0 N 3 | | | | | | | |
| AOO | Int | 300 | 1 | 0,8 | 3 | 10 | 45 |
| T 0,8 N 4 | | | | | | | |
| AOO | Int | 400 | 1 | 0,8 | 3 | 10 | 45 |
| T 0,8 N 5 | | | | | | | |
| AOO | Int | 500 | 1 | 0,8 | 3 | 10 | 45 |
| T 3 N 0,6 | | | | | | | |
| COO | Int | 60 | | 3 | 3 | 20 | 0,6 |
| T 3 N 1 | | | | | | | |
| COO | Int | 100 | | 3 | 3 | 20 | 0,6 |
| T 3 N 2 | | | | | | | |
| COO | Int | 200 | | 3 | 3 | 20 | 0,6 |
| T 3 N 3 | | | | | | | |
| COO | Int | 300 | | 3 | 3 | 20 | 0,6 |
| T 3 N 4 | | | | | | | |
| COO | Int | 400 | | 3 | 3 | 20 | 0,6 |
| T 3 N 5 | | | | | | | |
| COO | Int | 500 | | 3 | 3 | 20 | 0,6 |
| T 3 N 6 | | | | | | | |
| COO | Int | 600 | | 3 | 3 | 20 | 0,6 |
| T 3 N 7 | | | | | | | |
| COO | Int | 700 | | 3 | 3 | 20 | 0,6 |
| T 3 N 8 | | | | | | | |
| COO | Int | 800 | | 3 | 3 | 20 | 0,6 |
| T 3 N 9 | | | | | | | |
| COO | Int | 900 | | 3 | 3 | 20 | 0,6 |

Die Thyristoren von Intermetall werden außerdem für größere Ströme hergestellt.

Die folgende Tabelle faßt ihre gemeinsamen Daten zusammen:

| Typenreihe | $I_{D,max}$ in A | R_{thG} in grd/W | bis $U_{R,max}$ in V |
|----------------------|---------------------|-----------------------|-------------------------|
| T 0,8 N ... AOO | 0,8 | 45 | 500 |
| T 3 N ... COO | 3 | 6 | 900 |
| T 14 N ... EOA | 14 | 1,4 | 700 |
| T 18 F ... E | 18 | 1,1 | 900 |
| T 20 N ... COO | 20 | 1,1 | 900 |
| T 22 N ... E ... | 22 | 1 | 1200 |
| T 30 F ... E ... | 30 | 0,8 | 900 |
| T 50 N ... E ... | 50 | 0,4 | 1200 |
| T 50 F ... E ... | 50 | 0,4 | 900 |
| T 70 N ... DOO | 70 | 0,4 | 900 |
| T 95 F ... E ... (Z) | 95 | 0,25 | 900 |
| T 125 N ... E ... | 125 | 0,2 | 1200 |
| T 170 N ... E ... | 170 | 0,15 | 900 |

Weitere Thyristoren westeuropäischer Staaten

| Typ | $U_{R,max}$ in V | $I_{R,max}$ in mA | I_D in A | $U_{G,max}$ in V | $I_{G,max}$ in mA | R_{thG} in grd/W |
|--------------|---------------------|----------------------|---------------|---------------------|----------------------|-----------------------|
| BTY 79/100 R | 100 | 8 | 10 | 2,5 | 25 | 3,1 |
| BTY 79/200 R | 200 | 5 | 10 | 2,5 | 25 | 3,1 |
| BTY 79/400 R | 400 | 2 | 10 | 2,5 | 25 | 3,1 |
| BTX 35/500 R | 500 | 6 | 19 | 3,5 | 65 | 2,0 |
| BTX 35/600 R | 600 | 5 | 19 | 3,5 | 65 | 2,0 |
| BTX 35/700 R | 700 | 4,5 | 19 | 3,5 | 65 | 2,0 |
| BTX 35/800 R | 800 | 4 | 19 | 3,5 | 65 | 2,0 |

Die Thyristoren werden in Serien, für bestimmte Durchlaßströme und nach Sperrspannungen abgestuft, hergestellt. Die Reihen haben die Daten:

| Typenreihe | $I_{\text{eff,max}}$ in A | bis $U_{\text{R,max}}$ in V | $U_{\text{G,max}}$ in V | $I_{\text{G,max}}$ in mA | R_{thG} in grd/W |
|------------|------------------------------|--------------------------------|----------------------------|-----------------------------|---------------------------------------|
| BTX12/...R | 31 | 600 | 3,0 | 50 | |
| BTX13/...R | 48 | 600 | 3,0 | 50 | 0,9 |
| BTX29/...R | 78 | 1800 | | 100 | |
| BTX35/...R | 19 | 800 | 3,5 | 65 | 2,0 |
| BTX36/...R | 25 | 800 | 3,0 | 40 | 2,0 |
| BTX37/...R | 78 | 800 | 3,0 | 80 | 0,9 |
| BTX38/...R | 110 | 800 | 3,0 | 70 | 0,4 |
| BTX41/...R | 110 | 800 | 3,0 | 300 | |
| BTX44/...R | 55 | 1800 | | 100 | |
| BTX45/...R | 110 | 1800 | | 100 | |
| BTX46/...R | 235 | 1800 | 3,0 | 300 | |
| BTX64/...R | 25 | 500 | 3,5 | 65 | |
| BTX66/...R | 110 | 500 | 3,0 | 80 | |
| BTY79/...R | 10 | 800 | 2,5 | 25 | 3,1 |
| BTY87/...R | 19 | 800 | 3,5 | 65 | 2,0 |
| BTY91/...R | 25 | 800 | 3,0 | 40 | 2,0 |
| BTY95/...R | 78 | 800 | 3,0 | 40 | 0,6 |
| BTY99/...R | 110 | 800 | 3,0 | 40 | |

4. Transistoren

4.1. Sockelschaltungen unbekannter Transistoren

Es gibt unzählig viele Sockelschaltungen bei Transistoren, beinahe wie bei Elektronenröhren. Eigentlich ist die Bezeichnung „Sockel“ bei Transistoren ebenso wie bei modernen Empfängerröhren nicht gerechtfertigt. Beide Bauelementarten haben, im Gegensatz zu älteren Empfänger- und Senderröhren, keinen eigentlichen Sockel. Die Anschlüsse des Transistors (meist in Form von Drähten) treten direkt aus dem Gehäuse aus, das das eigentliche Bauelement enthält. Die Anschlüsse erfolgen durch Löten. Ein einfaches Wechseln (wie bei Elektronenröhren) ist bei Halbleiterbauelementen nicht möglich und in der Regel auch nicht erforderlich. Man kann deshalb im Gerät auf die Fassung (das Gegenstück zum Sockel) zugunsten von Platzbedarf und Kosten verzichten.

Sperrschichttransistoren haben fast immer 3 Anschlüsse (Emitter, Basis und Kollektor), selten einen vierten Anschluß für die Abschirmung. Bei den europäischen, US-amerikanischen und japanischen Transistoren gibt es nur relativ wenig Sockelschaltungen. Lediglich die Transistoren aus der UdSSR haben oft unterschiedliche Sockel. Aus diesem Grunde zeigt Bild 4.4 (Tabelle 4.1.) nochmals einige Sockelschaltungen der sowjetischen Transistoren. Bei den anderen Transistoren wurde darauf verzichtet, und die wichtigsten Bauformen dieser Elemente wurden in Bild 4.5 zusammengestellt. Auf alle Fälle sollte man *vor* dem Einbau die Bezeichnungen der Anschlüsse (die „Sockelschaltung“) eines unbekannten Transistors ermitteln, wenn keine Unterlagen darüber zur Verfügung stehen. Hierzu eine einfache Möglichkeit:

Mit einem Durchgangsprüfer werden nach der Schaltung in Bild 4.1 die 3 unbekannten Anschlüsse angetastet und der Draht ermittelt, der den kleinsten Widerstand gegen die anderen hat. Bei pnp-Transistoren ist es bei den Durchgangs-

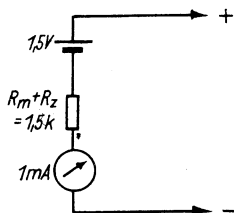


Bild 4.1
Schaltung eines einfachen
Meßinstruments zum Ermitteln unbekannter Transistor-Sockelschaltungen

prüfungen der negative Pol, bei npn-Transistoren der positive. In der anderen Stromrichtung müssen die Widerstände sehr groß sein! Die damit ermittelte Elektrode ist die Basis des unbekannten Transistors. Das ist leicht einzusehen, wenn man die Ersatzschaltung des Transistors als den zweier gegensätzlich gepolter Halbleiterdioden auffaßt (Bild 4.2).

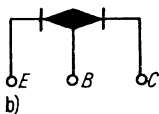
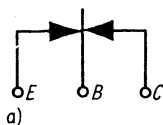


Bild 4.2
Darstellung des Transistors
als gegensinnig gepolte Dioden; a) pnp-Transistor,
b) npn-Transistor

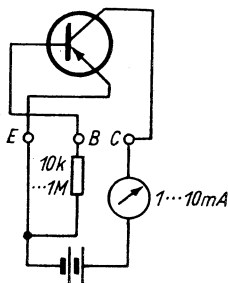


Bild 4.3
Schaltung zur Ermittlung
der Anschlüsse (s. Text)

Das weitere ergibt sich ebenfalls aus der Ersatzschaltung. Der Anschluß mit dem kleinsten Widerstand gegen Basis (unter Beachtung der richtigen Polarität) gilt als Emitter, denn die Emitter-Basis-Diode des Transistors wird stets in Durchlaßrichtung gepolt. Daraus folgt, daß die Diode mit dem hochohmigen Widerstand (wieder die richtige Polung des Transistors beachten) die Basis-Kollektor-Diode darstellt, denn diese ist in Sperrrichtung gepolt.

Schließt man den Transistor provisorisch an (Schaltung in Bild 4.3), so muß eine Emitter-Basis-Vorspannung ihn „öffnen“, d. h., es muß ein Kollektorstrom fließen. Wieder ist die richtige Polung unbedingte Voraussetzung.

Man muß deshalb möglichst früh wissen, ob es sich bei dem unbekannten Transistor um einen pnp- oder einen npn-Typ handelt. Das ergibt sich bei der Ermittlung des Basisanschlusses gewissermaßen „nebenbei“.

4.2. Transistordaten

Über sowjetische Transistordaten gibt es viele Veröffentlichungen, die einander teilweise widersprechen oder Lücken aufweisen. In Tabelle 4.1. wurden deshalb die Daten sämtlicher, dem Verfasser bekannter sowjetischer Transistoren zusammengestellt. Dabei konnte auf Originalveröffentlichungen der Halbleiterindustrie in der UdSSR und auch auf Untersuchungsergebnisse solcher Transistoren, die das Kombinat VEB *Halbleiterwerk* Frankfurt (Oder) ermittelte, zurückgegriffen werden.

Tabelle 4.2. enthält die neuen Transistorarten von *Tesla*. In Tabelle 4.3. sind die seit Erscheinen des Teiles II dieses Broschürentitels neu hinzugekommenen Transistoren der Konsumgüterelektronik westeuropäischer Staaten zu finden. Diese Tabelle schließt an Tabelle 3.1. bis Tabelle 3.6. des Teiles II an. Von Zeit zu Zeit wird nach den Daten von Transistoren aus der Ungarischen Volksrepublik gefragt, da man solche Bauelemente gelegentlich im Fachhandel erhält:

Orion fertigt Transistoren in Lizenz der sowjetischen Halbleiterindustrie und in Lizenz von *Valvo-Siemens*. Eigene Transistorentwicklungen sind nicht bekannt. Die genannten Bauelemente haben in der Bezeichnung, im Falle sowjetischer Lizenzen, ein „P“ an Stelle des kyrillischen „П“. Ein *P 13* entspricht z. B. dem Originaltransistor П 13, obwohl die Daten etwas voneinander abweichen ($U_{CB,max}$ beim ungarischen Transistor ist größer).

Bezeichnungsweise für Lizenztransistoren nach *Valvo-Siemens*: Zur Ziffer in der Originalbezeichnung wurde eine 1000 addiert. Ein *OC 1071* von *Orion* entspricht einem *OC 71* von *Valvo* usw. Gelegentlich wird der Originalbezeichnung des Ersthersellers, ähnlich wie bei Elektronenröhren, ein „T“ angehängt: *AF 137 T* usw. Vom Salon international des composants électroniques in Paris stammen die Daten der französischen Transistoren (Tabelle 4.4. und Tabelle 4.5.).

Neu ist ferner die Datenzusammenstellung von Transistoren westeuropäischer Staaten für die professionelle Elektronik (Tabelle 4.6.).

Eine Halbleiter-Äquivalenzliste US-amerikanischer Transistoren und der Bauelemente westeuropäischer Staaten — sie erhebt keinesfalls Anspruch auf Vollständigkeit — ergänzen die Tabellen zu diesem Abschnitt.

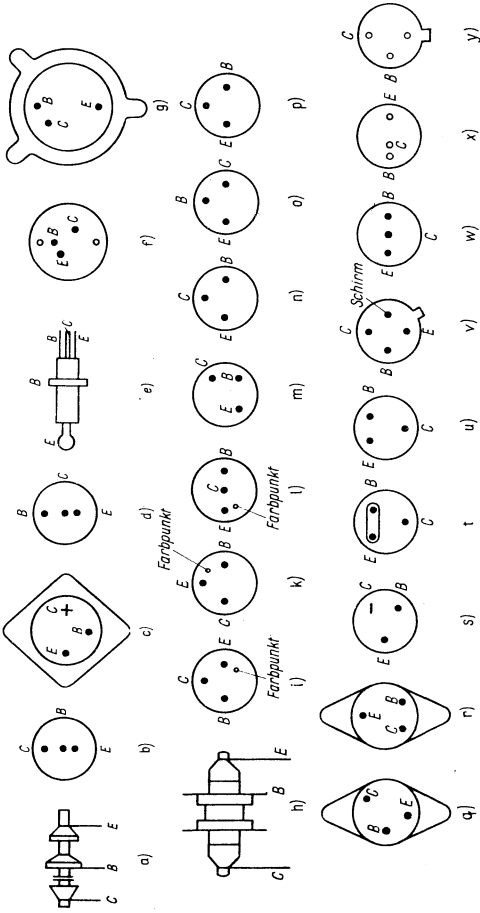


Bild 4.4 Sockelschaltungen der Transistoren aus der UdSSR

Tabelle 4.1. Zusammenstellung aller Transistoren aus der UdSSR

| Typ | $U_{CB, \max}$ in V | $I_{C, \max}$ in mA | R_{th} in grd/mW (grd/W) | f_T in MHz | Aufbau | Sockel Bild 4.4 | Ersatz |
|-------------------------|------------------------|------------------------|--|-----------------|--------|--------------------|----------|
| Γ 108 A | — 10 | — 50 | 0,8 | 0,5*) | Ge-pnp | o | GC 115 |
| Γ 108 B | — 10 | — 50 | 0,8 | 1*) | Ge-pnp | o | GC 115 |
| Γ 108 B | — 10 | — 50 | 0,8 | 1*) | Ge-pnp | o | GC 115 |
| Γ 108 Γ | — 10 | — 50 | 0,8 | 1*) | Ge-pnp | o | GC 115 |
| Γ T 109 A | — 10 | — 20 | 1,8 | 1*) | Ge-pnp | y | GC 116 |
| Γ T 109 B | — 10 | — 20 | 1,8 | 1*) | Ge-pnp | y | GC 116 |
| Γ T 109 B | — 10 | — 20 | 1,8 | 1*) | Ge-pnp | y | GC 116 |
| Γ T 109 Γ | — 10 | — 20 | 1,8 | 1*) | Ge-pnp | y | GC 116 |
| Γ T 109 Д | — 10 | — 20 | 1,8 | 3*) | Ge-pnp | y | GC 116 |
| Γ T 109 E | — 10 | — 20 | 1,8 | 5*) | Ge-pnp | y | GC 116 |
| Γ T 109 Ж | — 10 | — 20 | 1,8 | 1*) | Ge-pnp | y | GC 116 |
| Γ T 109 И | — 10 | — 20 | 1,8 | 1*) | Ge-pnp | y | GC 116 |
| Γ T 115 A | — 20 | — 30 | | 1*) | Ge-pnp | i | GC 116 |
| Γ T 115 B | — 30 | — 30 | | 1*) | Ge-pnp | i | GC 122 |
| Γ T 115 B | — 20 | — 30 | | 1*) | Ge-pnp | i | GC 116 |
| Γ T 115 Γ | — 30 | — 30 | | 1*) | Ge-pnp | i | GC 122 |
| Γ T 115 Д | — 20 | — 30 | | 1*) | Ge-pnp | i | GC 116 |
| Γ T 305 A | — 15 | — 40 | 0,8 | 140 | Ge-pnp | k | (GF 145) |
| Γ T 305 B | — 15 | — 40 | 0,8 | 160 | Ge-pnp | k | (GF 145) |

| Typ | $U_{CB, \max}$ in V | $I_{C, \max}$ in mA | R_{th} in grd/mW (in grd/W) | f_T in MHz | Aufbau | Sockel Bild 4.4 | Ersatz |
|----------------------------|------------------------|------------------------|--|-----------------|--------|--------------------|----------|
| $\Gamma T 305 B$ | — 15 | — 40 | 0,8 | 160 | Ge-pnp | k | (GF 145) |
| $\Gamma T 308 A$ | — 20 | — 50 | 0,4 | 90 | Ge-pnp | l | (GF 128) |
| $\Gamma T 308 B$ | — 20 | — 50 | 0,4 | 120 | Ge-pnp | l | (GF 131) |
| $\Gamma T 308 B$ | — 20 | — 50 | 0,4 | 120 | Ge-pnp | l | (GF 131) |
| $\Gamma T 309 A$ | — 12 | — 10 | 0,9 | 120 | Ge-pnp | k | GF 128 |
| $\Gamma T 309 B$ | — 12 | — 10 | 0,9 | 120 | Ge-pnp | k | GF 128 |
| $\Gamma T 309 B$ | — 12 | — 10 | 0,9 | 80 | Ge-pnp | k | GF 128 |
| $\Gamma T 309 \Gamma$ | — 12 | — 10 | 0,9 | 80 | Ge-pnp | k | GF 128 |
| $\Gamma T 309 \Delta$ | — 12 | — 10 | 0,9 | 40 | Ge-pnp | k | GF 122 |
| $\Gamma T 309 E$ | — 12 | — 10 | 0,9 | 40 | Ge-pnp | k | GF 122 |
| $\Gamma T 310 A$ | — 12 | — 10 | 2,5 | 160 | Ge-pnp | y | (GF 132) |
| $\Gamma T 310 B$ | — 12 | — 10 | 2,5 | 160 | Ge-pnp | y | (GF 132) |
| $\Gamma T 310 B$ | — 12 | — 10 | 2,5 | 120 | Ge-pnp | y | GF 132 |
| $\Gamma T 310 \Gamma$ | — 12 | — 10 | 2,5 | 120 | Ge-pnp | y | GF 132 |
| $\Gamma T 310 \Delta$ | — 12 | — 10 | 2,5 | 80 | Ge-pnp | y | GF 128 |
| $\Gamma T 310 E$ | — 12 | — 10 | 2,5 | 80 | Ge-pnp | y | GF 128 |
| $\Gamma T 311 E$ | + 12 | + 50 | 0,35 | 250 | Ge-npn | y | — |
| $\Gamma T 311 \mathcal{H}$ | + 12 | + 50 | 0,35 | 300 | Ge-npn | y | — |
| $\Gamma T 311 \Pi$ | + 10 | + 50 | 0,35 | 450 | Ge-npn | y | — |
| $\Gamma T 313 A$ | — 15 | — 10 | 0,4 | 300 | Ge-pnp | t | GF 145 |
| $\Gamma T 313 B$ | — 15 | — 10 | 0,4 | 450 | Ge-pnp | t | GF 145 |
| $\Gamma T 320 A$ | — 20 | — 150 | 0,22 | 80 | Ge-pnp | n | (GF 128) |

| | | | | | | | | |
|-----------|-----|-------|-----|------|------|--------|---|----------|
| Г Т 320 Б | -20 | - | 150 | 0,22 | 120 | Ge-рnp | n | (GF 132) |
| Г Т 320 Б | -20 | - | 150 | 0,22 | 160 | Ge-рnp | n | (GF 146) |
| Г Т 321 А | -60 | - | 200 | 0,25 | 60 | Ge-рnp | n | - |
| Г Т 321 Б | -60 | - | 200 | 0,25 | 60 | Ge-рnp | n | - |
| Г Т 321 Б | -60 | - | 200 | 0,25 | 60 | Ge-рnp | n | - |
| Г Т 321 Г | -45 | - | 200 | 0,25 | 60 | Ge-рnp | n | - |
| Г Т 321 Д | -45 | - | 200 | 0,25 | 60 | Ge-рnp | n | - |
| Г Т 321 Е | -45 | - | 200 | 0,25 | 60 | Ge-рnp | n | - |
| Г Т 322 А | -15 | - | 5 | 0,7 | 80 | Ge-рnp | v | GF 128 |
| Г Т 322 Б | -15 | - | 5 | 0,7 | 80 | Ge-рnp | v | GF 128 |
| Г Т 322 Б | -15 | - | 5 | 0,7 | 50 | Ge-рnp | v | GF 122 |
| Г Т 322 Г | -15 | - | 5 | 0,7 | 50 | Ge-рnp | v | GF 122 |
| Г Т 322 Д | -15 | - | 5 | 0,7 | 50 | Ge-рnp | v | GF 122 |
| Г Т 322 Е | -15 | - | 5 | 0,7 | 50 | Ge-рnp | v | GF 122 |
| Г Т 323 А | +20 | +1000 | + | 0,1 | 200 | Ge-рnp | n | - |
| Г Т 323 Б | +20 | +1000 | + | 0,1 | 200 | Ge-рnp | n | - |
| Г Т 323 Б | +20 | +1000 | + | 0,1 | 300 | Ge-рnp | n | - |
| Г Т 328 А | -15 | -10 | - | | 400 | Ge-рnp | v | GF 145 |
| Г Т 328 Б | -15 | -10 | - | | 300 | Ge-рnp | v | GF 145 |
| Г Т 328 Б | -15 | -10 | - | | 300 | Ge-рnp | v | GF 145 |
| Г Т 329 А | +10 | +15 | + | | 1200 | Ge-рnp | | - |
| Г Т 329 Б | +10 | +15 | + | | 1500 | Ge-рnp | | - |
| Г Т 329 Б | +10 | +15 | + | | 2000 | Ge-рnp | | - |
| Г Т 330 А | +10 | +20 | + | | 1000 | Ge-рnp | | - |
| Г Т 330 Б | +10 | +20 | + | | 1500 | Ge-рnp | | - |
| Г Т 330 Д | +10 | + | + | 1,0 | 500 | Ge-рnp | | - |

| Typ | U _{CB,max} in V | I _{C,max} in mA | R _{th} in grd/mW (in grd/W) | f _T in MHz | Aufbau | Sockel Bild 4.4 | Ersatz |
|-----------|-----------------------------|-----------------------------|--|--------------------------|--------|--------------------|----------|
| Г Т 330 Ж | + 10 | + 20 | 1,0 | 1000 | Ge-upn | | — |
| Г Т 338 А | — 10 | — 1000 | | | Ge-pnp | | — |
| Г Т 338 Б | — 15 | — 1000 | | | Ge-pnp | | — |
| Г Т 338 В | — 5 | — 1000 | | | Ge-pnp | | — |
| Г Т 402 А | — 25**) | — 500 | 0,1 | 0,015***) | Ge-pnp | n | GC 301 |
| Г Т 402 Б | — 25**) | — 500 | 0,1 | 0,015***) | Ge-pnp | n | GC 301 |
| Г Т 402 В | — 40**) | — 500 | 0,1 | 0,015***) | Ge-pnp | n | (GC 301) |
| Г Т 402 Г | — 40**) | — 500 | 0,1 | 0,015***) | Ge-pnp | n | (GC 301) |
| Г Т 403 А | — 45 | — 1250 | 0,1 | 0,008***) | Ge-pnp | i | — |
| Г Т 403 Б | — 45 | — 1250 | 0,1 | 0,008***) | Ge-pnp | i | — |
| Г Т 403 В | — 60 | — 1250 | 0,1 | 0,008***) | Ge-pnp | i | — |
| Г Т 403 Г | — 60 | — 1250 | 0,1 | 0,008***) | Ge-pnp | i | — |
| Г Т 403 Д | — 60 | — 1250 | 0,1 | 0,008***) | Ge-pnp | i | — |
| Г Т 403 Е | — 60 | — 1250 | 0,1 | 0,008***) | Ge-pnp | i | — |
| Г Т 403 Ж | — 80 | — 1250 | 0,1 | 0,008***) | Ge-pnp | i | — |
| Г Т 403 И | — 80 | — 1250 | 0,1 | 0,008***) | Ge-pnp | i | — |
| Г Т 403 Ю | — 45 | — 1250 | 0,1 | 0,008***) | Ge-pnp | i | — |
| Г Т 404 А | + 25**) | + 500 | 0,1 | 0,015***) | Ge-upn | n | — |
| Г Т 404 Б | + 25**) | + 500 | 0,1 | 0,015***) | Ge-upn | n | — |
| Г Т 404 В | + 40**) | + 500 | 0,1 | 0,015***) | Ge-upn | n | — |
| Г Т 404 Г | + 40**) | + 500 | 0,1 | 0,015***) | Ge-upn | n | — |
| Г Т 701 А | — 55**) | — 12000 | (1,2) | 0,05*) | Ge-pnp | | — |

| | | | | | | | | |
|-----------|---|-------|---|-------|-------|-----------|--------|----------|
| Г Т 702 А | — | 30 | — | 3000 | (2) | 0,2 | Ge-pnp | (GD 240) |
| Г Т 702 Б | — | 40 | — | 3000 | (1,5) | 0,2 | Ge-pnp | (GD 241) |
| Г Т 702 В | — | 60 | — | 3000 | (1,5) | 0,2 | Ge-pnp | (GD 243) |
| Г Т 702 Г | — | 80 | — | 3000 | (1,5) | 0,2 | Ge-pnp | — |
| Г Т 702 Д | — | 40 | — | 6000 | (1,5) | 0,25 | Ge-pnp | — |
| Г Т 702 Е | — | 60 | — | 6000 | (1,5) | 0,25 | Ge-pnp | — |
| Г Т 702 Ж | — | 80 | — | 6000 | (1,5) | 0,25 | Ge-pnp | — |
| Г Т 702 И | — | 100 | — | 10000 | (1,5) | 0,4 | Ge-pnp | — |
| Г Т 703 А | — | 30**) | — | 3500 | (3) | 0,007***) | Ge-pnp | — |
| Г Т 703 Б | — | 30**) | — | 3500 | (3) | 0,007***) | Ge-pnp | — |
| Г Т 804 А | + | 45**) | + | 10000 | (3) | 0,01*) | Ge-pnp | — |
| Г Т 804 Б | + | 55**) | + | 10000 | (3) | 0,01*) | Ge-pnp | — |
| Г Т 804 В | + | 75**) | + | 10000 | (3) | 0,01*) | Ge-pnp | — |
| Г Т 806 А | — | 75 | — | 20000 | (2) | 10 | Ge-pnp | — |
| Г Т 806 Б | — | 100 | — | 20000 | (2) | 10 | Ge-pnp | — |
| Г Т 806 В | — | 120 | — | 20000 | (2) | 10 | Ge-pnp | — |
| КТ 301 | + | 20 | + | 10 | 0,4 | 20 | Si-npn | SF 021 |
| КТ 301 А | + | 20 | + | 10 | 0,4 | 20 | Si-npn | SF 021 |
| КТ 301 Б | + | 30 | + | 10 | 0,4 | 20 | Si-npn | SF 022 |
| КТ 301 В | + | 30 | + | 10 | 0,4 | 20 | Si-npn | SF 022 |
| КТ 301 Г | + | 20 | + | 10 | 0,4 | 30 | Si-npn | SF 021 |
| КТ 301 Д | + | 20 | + | 10 | 0,4 | 30 | Si-npn | SF 021 |
| КТ 301 Е | + | 20 | + | 10 | 0,4 | 30 | Si-npn | SF 021 |
| КТ 301 Ж | + | 20 | + | 10 | 0,4 | 30 | Si-npn | SF 021 |
| КТ 306 А | + | 15 | + | 30 | 0,4 | 300 | Si-npn | SF 131 |
| КТ 306 Б | + | 15 | + | 30 | 0,4 | 500 | Si-npn | — |

| Typ | U _{CB} , max in V | I _C , max in mA | R _{th} in grd/mW (in grd/W) | f _T in MHz | Aufbau | Sockel Bild 4.4 | Ersatz |
|----------|-------------------------------|-------------------------------|--|--------------------------|--------|--------------------|--------|
| KT 306 B | + 15 | + 30 | 0,4 | 300 | Si-npn | m | SF 131 |
| KT 306 Γ | + 15 | + 30 | 0,4 | 500 | Si-npn | m | — |
| KT 307 A | + 10 | + 20 | 3,0 | 250 | Si-npn | | SF 131 |
| KT 307 B | + 10 | + 20 | 3,0 | 250 | Si-npn | | SF 131 |
| KT 307 B | + 10 | + 20 | 3,0 | 250 | Si-npn | | SF 131 |
| KT 307 Γ | + 10 | + 20 | 3,0 | 250 | Si-npn | | SF 131 |
| KT 312 A | + 15 | + 30 | 0,4 | 80 | Si-npn | | SF 121 |
| KT 312 B | + 15 | + 30 | 0,4 | 120 | Si-npn | | SF 121 |
| KT 312 B | + 30 | + 30 | 0,4 | 120 | Si-npn | | SF 122 |
| KT 315 A | + 25**) | + 100 | 0,67 | 250 | Si-npn | | — |
| KT 315 B | + 20**) | + 100 | 0,67 | 250 | Si-npn | | — |
| KT 315 B | + 40**) | + 100 | 0,67 | 250 | Si-npn | | — |
| KT 315 Γ | + 35**) | + 100 | 0,67 | 250 | Si-npn | | — |
| KT 316 A | + 10 | + 30 | 0,5 | 600 | Si-npn | m | — |
| KT 316 B | + 10 | + 30 | 0,5 | 800 | Si-npn | m | — |
| KT 316 B | + 10 | + 30 | 0,5 | 800 | Si-npn | m | — |
| KT 316 Γ | + 10 | + 30 | 0,5 | 600 | Si-npn | m | — |
| KT 316 Д | + 10 | + 30 | 0,5 | 800 | Si-npn | m | — |
| KT 318 A | + 20 | + 20 | 0,3 | 430 | Si-npn | | — |
| KT 318 B | + 20 | + 20 | 0,3 | 430 | Si-npn | | — |
| KT 318 B | + 20 | + 20 | 0,3 | 430 | Si-npn | | — |
| KT 318 Γ | + 20 | + 20 | 0,3 | 350 | Si-npn | | — |

| | | | | | | |
|----------|------|------|------|-----|--------|--------------------|
| KT 318 Д | + 20 | + 20 | 0,3 | 350 | Si-npn | — |
| KT 318 E | + 20 | + 20 | 0,3 | 350 | Si-npn | — |
| KT 319 A | + 5 | + 15 | 16 | 100 | Si-npn | — |
| KT 319 Б | + 5 | + 15 | 16 | 100 | Si-npn | — |
| KT 319 B | + 5 | + 15 | 16 | 100 | Si-npn | — |
| KT 324 A | + 15 | + 20 | 5,0 | 800 | Si-npn | c |
| KT 324 Б | + 15 | + 20 | 5,0 | 800 | Si-npn | c |
| KT 324 B | + 15 | + 20 | 5,0 | 800 | Si-npn | c |
| KT 324 Г | + 15 | + 20 | 5,0 | 600 | Si-npn | c |
| KT 324 Д | + 15 | + 20 | 5,0 | 600 | Si-npn | c |
| KT 324 E | + 15 | + 20 | 5,0 | 600 | Si-npn | c |
| KT 325 A | + 15 | + 30 | | 800 | Si-npn | 5.1 a |
| KT 325 Б | + 15 | + 30 | | 600 | Si-npn | 5.1 a ₂ |
| KT 325 B | + 15 | + 30 | | 800 | Si-npn | 5.1 a |
| KT 325 Г | + 15 | + 30 | | 600 | Si-npn | 5.1 a |
| KT 325 Д | + 15 | + 30 | | 800 | Si-npn | 5.1 a |
| KT 326 A | + 20 | + 50 | | 400 | Si-npn | 5.1 a |
| KT 326 Б | + 20 | + 50 | | 400 | Si-npn | 5.1 a |
| KT 337 A | — 6 | — 30 | 0,83 | 500 | Si-pnp | 5.1 a |
| KT 337 Б | — 6 | — 30 | 0,83 | 600 | Si-npn | 5.1 a |
| KT 337 B | — 6 | — 30 | 0,83 | 600 | Si-pnp | 5.1 a |
| KT 339 A | + 40 | + 25 | 0,38 | 450 | Si-npn | 5.1 c |
| KT 339 Б | + 20 | + 25 | 0,38 | 450 | Si-npn | 5.1 c |
| KT 339 B | + 40 | + 25 | 0,38 | 250 | Si-npn | SF 132 |
| KT 339 Г | + 20 | + 25 | 0,38 | 450 | Si-npn | 5.1 c |
| KT 339 Д | + 20 | + 25 | 0,38 | 250 | Si-npn | SF 131 |

| Typ | U _{CB, max} in V | I _{C, max} in mA | R _{th} in grd/mW (in grd/W) | f _T in MHz | Aufbau | Sockel Bild 4.4 | Ersatz |
|----------|------------------------------|------------------------------|--|--------------------------|--------|--------------------|--------|
| KT 342 A | + 30**) | + 50 | 0,5 | 300 | Si-npn | 5.1 a | — |
| KT 342 B | + 25**) | + 50 | 0,5 | 300 | Si-npn | 5.1 a | — |
| KT 342 B | + 20**) | + 50 | 0,5 | 300 | Si-npn | 5.1 a | SF 137 |
| KT 342 Γ | + 15**) | + 50 | 0,5 | 300 | Si-npn | 5.1 a | SF 137 |
| KT 342 Д | + 60**) | + 50 | 0,5 | 300 | Si-npn | 5.1 a | — |
| KT 342 E | + 10**) | + 50 | 0,5 | 300 | Si-npn | 5.1 a | SF 131 |
| KT 343 A | — 17**) | — 50 | 0,5 | 300 | Si-npn | 5.1 a | — |
| KT 343 B | — 17**) | — 50 | 0,5 | 300 | Si-npn | 5.1 a | — |
| KT 343 B | — 9**) | — 50 | 0,5 | 300 | Si-npn | 5.1 a | — |
| KT 343 Γ | — 17**) | — 50 | 0,5 | 300 | Si-npn | 5.1 a | — |
| KT 349 A | — 20 | — 40 | 0,6 | 300 | Si-npn | 5.1 a | — |
| KT 349 B | — 20 | — 40 | 0,6 | 300 | Si-npn | 5.1 3 | — |
| KT 349 B | — 20 | — 40 | 0,6 | 300 | Si-npn | 5.1 a | — |
| KT 350 A | — 20 | — 600 | 0,6 | 500 | Si-npn | 5.1 a | — |
| KT 351 A | — 20 | — 400 | 0,6 | 200 | Si-npn | 5.1 a | — |
| KT 351 B | — 20 | — 400 | 0,6 | 200 | Si-npn | 5.1 a | — |
| KT 352 A | — 20 | — 200 | 0,6 | 200 | Si-npn | 5.1 a | — |
| KT 352 B | — 20 | — 200 | 0,6 | 200 | Si-npn | 5.1 a | — |
| KT 355 A | + 15 | + 30 | 0,29 | 1500 | Si-npn | 5.1 a | — |
| KT 601 A | + 100 | + 30 | 0,4 | 40 | Si-npn | o | SF 150 |
| KT 602 A | + 120 | + 75 | (5) | 150 | Si-npn | n | — |
| KT 602 B | + 120 | + 75 | (5) | 150 | Si-npn | n | — |

| | | | | | | | | |
|----------|----------|---|-------|-------|------|--------|---|---|
| KT 602 B | + 120 | + | 75 | (5) | 150 | Si-npn | n | — |
| KT 602 Г | + 120 | + | 75 | (5) | 150 | Si-npn | n | — |
| KT 603 A | + 30 | + | 300 | 0,2 | 200 | Si-npn | n | — |
| KT 603 Б | + 30 | + | 300 | 0,2 | 200 | Si-npn | n | — |
| KT 603 B | + 15 | + | 300 | 0,2 | 200 | Si-npn | n | — |
| KT 603 Г | + 15 | + | 300 | 0,2 | 200 | Si-npn | n | — |
| KT 603 Д | + 10 | + | 300 | 0,2 | 200 | Si-npn | n | — |
| KT 603 E | + 10 | + | 300 | 0,2 | 200 | Si-npn | n | — |
| KT 604 A | + 300 | + | 200 | (40) | 80 | Si-npn | n | — |
| KT 604 Б | + 300 | + | 200 | (40) | 80 | Si-npn | n | — |
| KT 605 A | + 300 | + | 200 | 0,2 | 80 | Si-npn | n | — |
| KT 605 Б | + 300 | + | 200 | 0,2 | 80 | Si-npn | n | — |
| KT 606 A | + 65 | + | 400 | (44) | 350 | Si-npn | o | — |
| KT 607 A | + 30 | + | 150 | | 1000 | Si-npn | n | — |
| KT 608 A | + 60 | + | 400 | 0,2 | 200 | Si-npn | n | — |
| KT 608 Б | + 60 | + | 400 | 0,2 | 200 | Si-npn | n | — |
| KT 611 A | + 200 | + | 100 | 0,15 | 60 | Si-npn | p | — |
| KT 611 Б | + 200 | + | 100 | 0,15 | 60 | Si-npn | p | — |
| KT 611 B | + 180 | + | 100 | 0,15 | 60 | Si-npn | p | — |
| KT 611 Г | + 180 | + | 100 | 0,15 | 60 | Si-npn | p | — |
| KT 801 A | + 80**) | + | 2000 | (20) | 10 | Si-npn | i | — |
| KT 801 Б | + 60**) | + | 2000 | (20) | 10 | Si-npn | i | — |
| KT 802 A | + 150 | + | 15000 | (2,5) | 10 | Si-npn | c | — |
| KT 803 A | + 80**) | + | 10000 | | 20 | Si-npn | c | — |
| KT 804 A | + 100**) | + | 10000 | (2) | 50 | Si-npn | | — |

| Typ | U _{CB,max} in V | I _{C,max} in mA | R _{th} in grd/mW (in grd/W) | f _T in MHz | Aufbau | Socket Bild 4.4 | Ersatz |
|----------|-----------------------------|-----------------------------|--|--------------------------|--------|--------------------|----------|
| KT 804 B | + 60**) | + 10000 | (2) | 50 | Si-npn | — | — |
| KT 805 A | + 160**) | + 5000 | (3,3) | 20 | Si-npn | c | — |
| KT 805 B | + 135**) | + 5000 | (3,3) | 20 | Si-npn | c | — |
| KT 807 A | + 100**) | + 500 | (8) | 5 | Si-npn | — | — |
| KT 807 B | + 100**) | + 500 | (8) | 5 | Si-npn | — | — |
| KT 808 A | + 120**) | + 10000 | — | 7 | Si-npn | c | — |
| KT 902 A | + 65 | + 5000 | (3,3) | 35 | Si-npn | c | — |
| KT 903 A | + 60 | + 3000 | (3,3) | 120 | Si-npn | c | — |
| KT 903 B | + 60 | + 3000 | (3,3) | 120 | Si-npn | c | — |
| KT 904 A | + 60 | + 800 | (16) | 350 | Si-npn | o | — |
| KT 904 B | + 60 | + 800 | (16) | 350 | Si-npn | o | — |
| KT 904 Γ | + 60 | + 800 | (16) | 350 | Si-npn | c | — |
| KT 907 A | + 65**) | + 1000 | (16) | 400 | Si-npn | c | — |
| KT 907 B | + 60**) | + 1000 | (16) | 300 | Si-npn | c | — |
| KT 908 A | + 100**) | + 10000 | (2) | 50 | Si-npn | c | — |
| KT 908 B | + 60**) | + 10000 | (2) | 50 | Si-npn | c | — |
| KT 912 A | + 70**) | + 20000 | (1,6) | 160 | Si-npn | c | — |
| M 4 A | — 15 | — 40 | 0,8 | 50 | Ge-pnp | i | (GF 126) |
| M 4 B | — 15 | — 40 | 0,8 | 50 | Ge-pnp | i | (GF 126) |
| M 4 B | — 15 | — 40 | 0,8 | 50 | Ge-pnp | i | (GF 126) |
| M 4 Γ | — 15 | — 40 | 0,8 | 50 | Ge-pnp | i | (GF 126) |
| M 4 Д | — 15 | — 40 | 0,8 | 50 | Ge-pnp | i | (GF 126) |

| | | | | | | | |
|----------|-----|------|------|-------|--------|---|----------|
| M 4 E | -15 | -40 | 0,8 | 50 | Ge-nnp | i | (GF 126) |
| MT 108 A | -10 | -50 | 0,8 | 0,5*) | Ge-nnp | o | GC 116 |
| MT 108 B | -10 | -50 | 0,8 | 1,0*) | Ge-nnp | o | GC 118 |
| MT 108 B | -10 | -50 | 0,8 | 1,0*) | Ge-nnp | o | GC 118 |
| MT 108 Г | -10 | -50 | 0,8 | 1,0*) | Ge-nnp | o | GC 118 |
| M П 10 A | +30 | +20 | 0,4 | 1,0 | Ge-npn | | |
| M П 11 A | +15 | +20 | 0,4 | 2,0 | Ge-npn | | |
| M П 20 A | -30 | -300 | 0,33 | 2,0*) | Ge-nnp | o | |
| M П 20 B | -30 | -300 | 0,33 | 1,5*) | Ge-nnp | o | |
| M П 20 B | -30 | -300 | 0,33 | 1,5*) | Ge-nnp | o | |
| M П 21 B | -40 | -300 | 0,33 | 1,5*) | Ge-nnp | o | |
| M П 21 Г | -60 | -300 | 0,33 | 1,0*) | Ge-nnp | o | |
| M П 21 Д | -50 | -300 | 0,33 | 1,0*) | Ge-nnp | o | |
| M П 21 E | -70 | -300 | 0,33 | 0,7*) | Ge-nnp | o | |
| M П 25 | -40 | -300 | 0,25 | 0,2*) | Ge-nnp | o | |
| M П 25 A | -40 | -400 | 0,25 | 0,2*) | Ge-nnp | o | |
| M П 25 B | -40 | -400 | 0,25 | 0,5*) | Ge-nnp | o | |
| M П 26 | -70 | -300 | 0,25 | 0,2*) | Ge-nnp | o | |
| M П 26 A | -70 | -400 | 0,25 | 0,2*) | Ge-nnp | o | |
| M П 26 B | -70 | -400 | 0,25 | 0,2*) | Ge-nnp | o | |
| M П 35 | +15 | +20 | 0,2 | 0,5*) | Ge-npn | o | |
| M П 36 A | +15 | +20 | 0,2 | 1*) | Ge-npn | o | |
| M П 37 | +15 | +20 | 0,2 | 1*) | Ge-npn | o | |
| M П 37 A | +30 | +20 | 0,2 | 1*) | Ge-npn | o | |
| M П 37 B | +30 | +20 | 0,2 | 1*) | Ge-npn | o | |
| M П 38 | +15 | +20 | 0,2 | 2*) | Ge-npn | o | |

| Typ | U _{CB,max} in V | I _{C,max} in mA | R _{th} in grd/mW (in grd/W) | f _T in MHz | Aufbau | Socket Bild 4.4 | Ersatz |
|----------|-----------------------------|-----------------------------|--|--------------------------|--------|--------------------|----------|
| МП 38 А | + 15 | + 20 | 0,2 | 2*) | Ge-upn | o | — |
| МП 39 Б | — 15 | — 150 | 0,2 | 0,2*) | Ge-pnp | o | GC 116 |
| МП 39 | — 15 | — 150 | 0,2 | 0,5*) | Ge-pnp | o | GC 116 |
| МП 40 | — 15 | — 150 | 0,2 | 1*) | Ge-pnp | o | GC 118 |
| МП 40 А | — 30 | — 150 | 0,2 | 1*) | Ge-pnp | o | (GC 118) |
| МП 41 | — 15 | — 150 | 0,2 | 1*) | Ge-pnp | o | GC 118 |
| МП 41 А | — 15 | — 150 | 0,2 | 1*) | Ge-pnp | o | GC 118 |
| МП 42 | — 15 | — 150 | 0,2 | 1*) | Ge-pnp | o | GC 118 |
| МП 42 А | — 15 | — 150 | 0,2 | 1*) | Ge-pnp | o | GC 118 |
| МП 42 Б | — 15 | — 150 | 0,2 | 1*) | Ge-pnp | o | GC 118 |
| МП 101 | + 10**) | + 20 | 0,83 | 0,5*) | Si-upn | o | SC 206 |
| МП 101 А | + 10**) | + 20 | 0,83 | 0,5*) | Si-upn | o | SC 206 |
| МП 101 Б | + 10**) | + 20 | 0,83 | 0,5*) | Si-upn | o | SC 206 |
| МП 101 В | + 10**) | + 20 | 0,83 | 0,5*) | Si-upn | o | SC 206 |
| МП 102 | + 10**) | + 20 | 0,83 | 0,5*) | Si-upn | o | SC 206 |
| МП 102 Б | + 10**) | + 20 | 0,83 | 0,5*) | Si-upn | o | SC 206 |
| МП 103 | + 10**) | + 20 | 0,83 | 0,5*) | Si-upn | o | SC 206 |
| МП 103 А | + 10**) | + 20 | 0,83 | 0,5*) | Si-upn | o | SC 206 |
| МП 103 Б | + 10**) | + 20 | 0,83 | 0,5*) | Si-upn | o | SC 206 |
| МП 104 | — 30 | — 10 | 0,83 | 0,1*) | Si-pnp | o | — |
| МП 105 | — 30 | — 10 | 0,83 | 0,1*) | Si-pnp | o | — |
| МП 106 | — 30 | — 10 | 0,83 | 0,1*) | Si-pnp | o | — |

| | | | | | | | |
|----------|---|--------|------|--------|--------|---|--------|
| МП 111 | + | 20 | 0,63 | 0,5*) | Si-npn | o | SC 206 |
| МП 111 А | + | 10 | 0,63 | 0,5*) | Si-npn | o | SC 206 |
| МП 111 Б | + | 20 | 0,63 | 0,5*) | Si-npn | o | SC 206 |
| МП 112 | + | 10 | 0,63 | 0,5*) | Si-npn | o | SC 206 |
| МП 113 | + | 10 | 0,63 | 0,5*) | Si-npn | o | SC 206 |
| МП 113 А | + | 10 | 0,63 | 1,2*) | Si-npn | o | SC 206 |
| МП 114 | — | 60 | 0,5 | 0,1*) | Si-pnp | o | — |
| МП 115 | — | 30 | 0,5 | 0,1*) | Si-pnp | o | — |
| МП 116 | — | 15 | 0,5 | 0,5*) | Si-pnp | o | — |
| П 1 А | — | 20**) | 0,8 | 0,1*) | Ge-pnp | a | GC 116 |
| П 1 Б | — | 20**) | 0,8 | 0,1*) | Ge-pnp | a | GC 116 |
| П 1 В | — | 20**) | 0,8 | 0,1*) | Ge-pnp | a | GC 116 |
| П 1 Г | — | 20**) | 0,8 | 0,1*) | Ge-pnp | a | GC 116 |
| П 1 Д | — | 20**) | 0,8 | 0,1*) | Ge-pnp | a | GC 116 |
| П 1 Е | — | 20**) | 0,8 | 0,46*) | Ge-pnp | a | GC 116 |
| П 1 Ж | — | 20**) | 0,8 | 1*) | Ge-pnp | a | GC 118 |
| П 1 И | — | 20**) | 0,8 | 1,6*) | Ge-pnp | a | — |
| П 2 А | — | 100**) | 0,6 | 0,1*) | Ge-pnp | a | — |
| П 2 Б | — | 50**) | 0,6 | 0,1*) | Ge-pnp | a | — |
| П 3 А | — | 50**) | 0,6 | 0,1*) | Ge-pnp | a | — |
| П 3 Б | — | 50**) | | 0,1*) | Ge-pnp | a | — |
| П 3 В | — | 50**) | | 0,1*) | Ge-pnp | a | — |
| П 4 А | — | 50**) | | 0,15*) | Ge-pnp | r | — |
| П 4 А 3 | — | 60 | (2) | 0,15*) | Ge-pnp | r | — |
| П 4 Б | — | 60**) | | 0,15*) | Ge-pnp | r | — |
| П 4 Б 3 | — | 70 | (2) | 0,15*) | Ge-pnp | r | — |

| Typ | U _{CB,max} in V | I _{C,max} in mA | R _{th} in grd/mW (in grd/W) | f _T in MHz | Aufbau | Socket Bild 4.4 | Ersatz |
|---------|-----------------------------|-----------------------------|--|--------------------------|--------|--------------------|--------|
| П 4 В | — 35*) | — 5000 | | 0,15*) | Ge-pnp | r | — |
| П 4 В 3 | — 40 | — 5000 | (2) | 0,15*) | Ge-pnp | r | — |
| П 4 Г | — 50*) | — 5000 | | 0,15*) | Ge-pnp | r | — |
| П 4 Г 3 | — 60 | — 5000 | (2) | 0,15*) | Ge-pnp | r | — |
| П 4 Д | — 50*) | — 5000 | | 0,15*) | Ge-pnp | r | — |
| П 4 Д 3 | — 60 | — 5000 | (2) | 0,15*) | Ge-pnp | r | — |
| П 5 А | — 10**) | — 10 | 1,0 | 0,1*) | Ge-pnp | b | GC 101 |
| П 5 Б | — 10**) | — 10 | 1,0 | 0,3*) | Ge-pnp | b | GC 101 |
| П 5 В | — 10**) | — 10 | 1,0 | 0,3*) | Ge-pnp | b | GC 101 |
| П 5 Г | — 10**) | — 10 | 1,0 | 0,3*) | Ge-pnp | b | GC 101 |
| П 5 Д | — 10**) | — 10 | 1,0 | 0,3*) | Ge-pnp | b | GC 101 |
| П 5 Е | — 10**) | — 10 | 1,0 | 0,3*) | Ge-pnp | b | GC 101 |
| П 6 А | — 10**) | — 10 | 0,3 | 0,1*) | Ge-pnp | b | GC 101 |
| П 6 Б | — 10**) | — 10 | 0,3 | 0,5*) | Ge-pnp | b | GC 116 |
| П 6 В | — 10**) | — 10 | 0,3 | 0,5*) | Ge-pnp | b | GC 116 |
| П 6 Г | — 10**) | — 01 | 0,3 | 1*) | Ge-pnp | b | GC 116 |
| П 6 Д | — 10**) | — 10 | 0,3 | 0,5*) | Ge-pnp | b | GC 118 |
| П 7 | — 6,5**) | — 45 | 1,0 | 0,5*) | Ge-pnp | b | GC 116 |
| П 8 | + 15**) | + 20 | 0,3 | 0,5*) | Ge-npn | b | — |
| П 9 | + 15**) | + 20 | 0,3 | 0,5*) | Ge-npn | b | — |
| П 9 А | + 15**) | + 20 | 0,3 | 1*) | Ge-npn | b | — |
| П 10 | + 15**) | + 20 | 0,3 | 1*) | Ge-npn | b | — |

| | | | | | | | |
|--------|---------|-------|------|-------|--------|---|--------|
| Π 10 A | + 30**) | + 20 | 0,3 | 1*) | Ge-npn | b | — |
| Π 10 B | + 30**) | + 20 | 0,3 | 1*) | Ge-npn | b | — |
| Π 11 | + 15**) | + 20 | 0,3 | 2*) | Ge-npn | b | — |
| Π 11 A | + 15**) | + 20 | 0,3 | 2*) | Ge-npn | b | — |
| Π 12 | — 6**) | — 5 | 1,5 | 5*) | Ge-pnp | b | — |
| Π 12 A | — 6**) | — 5 | 1,5 | 5*) | Ge-pnp | b | — |
| Π 13 | — 15**) | — 20 | 0,3 | 0,5*) | Ge-pnp | b | GC 116 |
| Π 13 A | — 15**) | — 20 | 0,3 | 0,5*) | Ge-pnp | b | GC 116 |
| Π 13 B | — 15**) | — 20 | 0,3 | 1*) | Ge-pnp | b | GC 118 |
| Π 14 | — 15**) | — 20 | 0,3 | 1*) | Ge-pnp | b | GC 118 |
| Π 14 A | — 30**) | — 20 | 0,3 | 1*) | Ge-pnp | b | GC 118 |
| Π 14 B | — 30**) | — 20 | 0,3 | 1*) | Ge-pnp | b | GC 118 |
| Π 15 | — 15**) | — 20 | 0,3 | 2*) | Ge-pnp | b | GF 100 |
| Π 15 A | — 15**) | — 20 | 0,3 | 2*) | Ge-pnp | b | GF 100 |
| Π 16 | — 15**) | — 50 | 0,22 | 2*) | Ge-pnp | b | — |
| Π 16 A | — 15**) | — 50 | 0,22 | 2*) | Ge-pnp | b | — |
| Π 16 B | — 15**) | — 50 | 0,22 | 2*) | Ge-pnp | b | — |
| Π 19 | — 6**) | — 30 | 1,5 | 5*) | Ge-pnp | b | — |
| Π 20 | — 20**) | — 300 | 0,33 | 1,5*) | Ge-pnp | b | — |
| Π 20 A | — 20**) | — 300 | 0,33 | 2*) | Ge-pnp | b | — |
| Π 20 B | — 20**) | — 300 | 0,33 | 1,5*) | Ge-pnp | b | — |
| Π 21 | — 30**) | — 500 | 0,33 | 1,5*) | Ge-pnp | b | — |
| Π 21 A | — 30**) | — 500 | 0,33 | 1,5*) | Ge-pnp | b | — |
| Π 21 B | — 30**) | — 300 | 0,33 | 1,5*) | Ge-pnp | b | — |
| Π 21 Γ | — 35**) | — 300 | 0,33 | 1*) | Ge-pnp | b | — |

| Typ | U _{CB,max} in V | I _{C,max} in mA | R _{th} in grd/mW (in grd/W) | f _T in MHz | Aufbau | Socket Bild 4.4 | Ersatz |
|--------|-----------------------------|-----------------------------|--|--------------------------|--------|--------------------|----------|
| П 21 Д | — 30**) | — 300 | 0,33 | 1*) | Ge-pnp | b | — |
| П 21 Е | — 35**) | — 300 | 0,33 | 0,7*) | Ge-pnp | b | — |
| П 22 | — 20**) | — 10 | 0,5 | 1*) | Ge-pnp | b | GC 118 |
| П 23 | — 30**) | — 10 | 0,5 | 3*) | Ge-pnp | b | (GF 100) |
| П 25 | — 60**) | — 400 | 0,22 | 0,2*) | Ge-pnp | b | — |
| П 25 А | — 60**) | — 400 | 0,22 | 0,2*) | Ge-pnp | b | — |
| П 25 Б | — 60**) | — 400 | 0,22 | 0,2*) | Ge-pnp | b | — |
| П 26 | — 100**) | — 400 | 0,22 | 0,2*) | Ge-pnp | b | — |
| П 26 А | — 100**) | — 400 | 0,22 | 0,2*) | Ge-pnp | b | — |
| П 26 Б | — 100**) | — 400 | 0,22 | 0,5*) | Ge-pnp | b | — |
| П 27 | — 5**) | — 6 | 1,66 | 1*) | Ge-pnp | o | GC 100 |
| П 27 А | — 5**) | — 6 | 1,66 | 1*) | Ge-pnp | o | GC 100 |
| П 28 | — 5 | — 6 | 1,66 | 5*) | Ge-pnp | o | — |
| П 29 | — 12 | — 100 | 1,66 | 5*) | Ge-pnp | p | — |
| П 29 А | — 12 | — 100 | 1,66 | 5*) | Ge-pnp | p | — |
| П 30 | — 12 | — 100 | 1,66 | 10*) | Ge-pnp | p | — |
| П 31 | — 12*) | — 100 | 1,66 | 4,5*) | Ge-pnp | o | — |
| П 31 А | — 12*) | — 100 | 1,66 | 4,5*) | Ge-pnp | o | — |
| П 32 | — 12*) | — 100 | 1,66 | 9*) | Ge-pnp | o | — |
| П 35 | + 15*) | + 20 | 0,33 | 0,5*) | Ge-npn | b | — |
| П 36 А | + 15**) | + 20 | 0,33 | 1*) | Ge-npn | b | — |
| П 37 | + 15**) | + 20 | 0,33 | 1*) | Ge-npn | b | — |

| | | | | | | | |
|---------|---------|-------|------|-------|--------|---|----------|
| Π 37 A | + 30**) | + 20 | 0,33 | 1*) | Ge-npn | b | — |
| Π 37 B | + 30**) | + 20 | 0,33 | 1*) | Ge-npn | b | — |
| Π 38 | + 15**) | + 20 | 0,33 | 1*) | Ge-npn | b | — |
| Π 38 A | + 15**) | + 20 | 0,33 | 2*) | Ge-npn | b | — |
| Π 39 | — 10**) | — 20 | 0,33 | 0,5*) | Ge-pnp | b | GC 116 |
| Π 39 B | — 10**) | — 20 | 0,33 | 0,5*) | Ge-pnp | b | GC 116 |
| Π 40 | — 10**) | — 20 | 0,33 | 1*) | Ge-pnp | b | GC 118 |
| Π 40 A | — 30**) | — 20 | 0,33 | 1*) | Ge-pnp | b | (GC 118) |
| Π 41 | — 10**) | — 20 | 0,33 | 1*) | Ge-pnp | b | GC 118 |
| Π 41 A | — 10**) | — 20 | 0,33 | 1*) | Ge-pnp | b | GC 118 |
| Π 42 | — 15**) | — 150 | 0,3 | 1*) | Ge-pnp | b | GC 118 |
| Π 42 A | — 15**) | — 150 | 0,3 | 1*) | Ge-pnp | b | GC 118 |
| Π 42 B | — 15**) | — 150 | 0,3 | 1*) | Ge-pnp | b | GC 118 |
| Π 101 | + 20**) | + 20 | 0,63 | 0,5*) | Si-npn | o | SF 021 |
| Π 101 A | + 10**) | + 20 | 0,63 | 0,5*) | Si-npn | o | SF 021 |
| Π 101 B | + 20**) | + 20 | 0,63 | 0,5*) | Si-npn | o | SF 021 |
| Π 102 | + 10**) | + 20 | 0,63 | 1*) | Si-npn | o | SF 021 |
| Π 103 | + 10**) | + 20 | 0,63 | 1*) | Si-npn | o | SF 021 |
| Π 103 A | + 10**) | + 20 | 0,63 | 1*) | Si-npn | o | SF 021 |
| Π 104 | — 60**) | — 10 | 0,63 | 0,5*) | Si-pnp | o | — |
| Π 105 | — 30**) | — 10 | 0,63 | 0,6*) | Si-pnp | o | — |
| Π 106 | — 15**) | — 10 | 0,63 | 1*) | Si-pnp | o | — |
| Π 108 | + 10**) | + 20 | 0,63 | 1 | Si-npn | o | SF 021 |
| Π 108 A | + 10**) | + 20 | 0,63 | 1*) | Si-npn | o | SF 021 |
| Π 109 | + 10**) | + 20 | 0,63 | 2 | Si-npn | o | SF 021 |
| Π 110 | + 10**) | + 20 | 0,63 | 3 | Si-npn | o | SF 021 |

| Typ | U _{CB,max} in V | I _{C,max} in mA | R _{th} in grd/mW (grd/W) | f _T in MHz | Aufbau | Sockel Bild 4.4 | Ersatz |
|-----------|-----------------------------|-----------------------------|---|--------------------------|--------|--------------------|--------|
| Π 201 A 3 | — 30**) | — 1500 | (3,5) | 0,2*) | Ge-pnp | r | GD 240 |
| Π 201 3 | — 30**) | — 1500 | (3,5) | 0,15*) | Ge-pnp | r | GD 240 |
| Π 202 3 | — 55**) | — 2000 | (3,5) | 0,1*) | Ge-pnp | r | GD 243 |
| Π 203 3 | — 55**) | — 2000 | (3,5) | 0,2*) | Ge-pnp | r | GD 243 |
| Π 207 | — 40**) | — 25000 | (5) | — | Ge-pnp | g | — |
| Π 207 A | — 40**) | — 25000 | (5) | — | Ge-pnp | g | — |
| Π 208 | — 60**) | — 25000 | (5) | — | Ge-pnp | g | — |
| Π 208 A | — 60**) | — 25000 | (5) | — | Ge-pnp | g | — |
| Π 209 | — 40**) | — 12000 | (5) | 0,1*) | Ge-pnp | g | — |
| Π 209 A | — 40**) | — 12000 | (5) | 0,1*) | Ge-pnp | g | — |
| Π 210 | — 60**) | — 12000 | (5) | 0,1*) | Ge-pnp | g | — |
| Π 210 A | — 60**) | — 12000 | (5) | 0,1*) | Ge-pnp | g | — |
| Π 210 B | — 65 | — 12000 | (1) | 0,1*) | Ge-pnp | g | — |
| Π 210 B | — 45 | — 12000 | (1) | 0,1*) | Ge-pnp | g | — |
| Π 211 | — 50 | — 500 | (33) | 1*) | Ge-pnp | g | — |
| Π 212 | — 50 | — 500 | (33) | 1*) | Ge-pnp | g | — |
| Π 212 A | — 70 | — 500 | (33) | 1*) | Ge-pnp | g | — |
| Π 213 | — 30**) | — 5000 | (4,5) | 0,1*) | Ge-pnp | q | — |
| Π 213 A | — 30**) | — 5000 | (4,5) | 0,1*) | Ge-pnp | q | — |
| Π 213 B | — 30**) | — 5000 | (4,5) | 0,1*) | Ge-pnp | q | — |
| Π 214 | — 45**) | — 5000 | (4,5) | 0,1*) | Ge-pnp | q | — |
| Π 214 B | — 45**) | — 5000 | (4,5) | 0,1*) | Ge-pnp | q | — |

| | | | | | | | | | |
|---------|---|-------|---|------|-------|--------|--------|---|--------|
| П 214 В | — | 55**) | — | 5000 | (4,5) | 0,1*) | Ge-ppp | q | — |
| П 214 Г | — | 55**) | — | 5000 | (4,5) | 0,1*) | Ge-ppp | q | — |
| П 215 | — | 80 | — | 5000 | (4) | 0,15*) | Ge-ppp | q | — |
| П 216 | — | 40 | — | 7500 | (2) | 0,1*) | Ge-ppp | q | — |
| П 216 А | — | 40 | — | 7500 | (2) | 0,1*) | Ge-ppp | q | — |
| П 216 Б | — | 35 | — | 7500 | (2) | 0,1*) | Ge-ppp | q | — |
| П 216 В | — | 35 | — | 7500 | (2) | 0,1*) | Ge-ppp | q | — |
| П 216 Г | — | 50 | — | 7500 | (2) | 0,1*) | Ge-ppp | c | — |
| П 216 Д | — | 50 | — | 7500 | (2) | 0,1*) | Ge-ppp | c | — |
| П 217 | — | 60 | — | 7500 | (2) | 0,1*) | Ge-ppp | c | — |
| П 217 А | — | 60 | — | 7500 | (2) | 0,1*) | Ge-ppp | c | — |
| П 217 Б | — | 60 | — | 7500 | (2) | 0,1*) | Ge-ppp | c | — |
| П 217 В | — | 60 | — | 7500 | (2) | 0,1*) | Ge-ppp | c | — |
| П 217 Г | — | 60 | — | 7500 | (2) | 0,1*) | Ge-ppp | c | — |
| П 302 | — | 35**) | — | 500 | (10) | 0,1*) | Si-ppp | c | — |
| П 303 | — | 60**) | — | 500 | (10) | 0,1*) | Si-ppp | c | — |
| П 303 А | — | 60 | — | 500 | (10) | 0,1*) | Si-ppp | c | — |
| П 304 | — | 80**) | — | 500 | (10) | 0,05*) | Si-ppp | c | — |
| П 306 | — | 80**) | — | 400 | (10) | 0,05*) | Si-ppp | c | — |
| П 306 А | — | 80 | — | 400 | (10) | 0,05*) | Si-ppp | c | — |
| П 307 | + | 80 | + | 30 | 1,25 | 20 | Si-npn | o | SF 024 |
| П 307 А | + | 80 | + | 30 | 1,25 | 20 | Si-npn | o | SF 024 |
| П 307 Б | + | 60 | + | 30 | 1,25 | 20 | Si-npn | o | SF 023 |
| П 307 Г | + | 80 | + | 15 | 1,25 | 20 | Si-npn | o | SF 024 |
| П 308 | + | 120 | + | 15 | 1,25 | 20 | Si-npn | o | SF 025 |
| П 309 | + | 120 | + | 30 | 1,25 | 20 | Si-npn | o | SF 025 |

| Typ | $U_{CB,max}$ in V | $I_{C,max}$ in mA | R_{th} in grd/mW (grd/W) | f_T in MHz | Aufbau | Socket Bild 4.4 | Ersatz |
|---------|----------------------|----------------------|--|-----------------|--------|--------------------|----------|
| П 401 | — 10**) | — 20 | 0,6 | 30*) | Ge-pnp | k | (GF 126) |
| П 402 | — 10**) | — 20 | 0,6 | 60*) | Ge-pnp | k | (GF 126) |
| П 403 | — 10**) | — 20 | 0,6 | 120*) | Ge-pnp | k | (GF 131) |
| П 403 А | — 10**) | — 20 | 0,6 | 120*) | Ge-pnp | k | (GF 131) |
| П 404 | — 4,5**) | — 15 | 6,0 | 15*) | Ge-pnp | w | (GF 130) |
| П 404 А | — 4,5**) | — 4 | 6,0 | 15*) | Ge-pnp | w | (GF 130) |
| П 405 | — 4,5**) | — 4 | 6,0 | 30*) | Ge-pnp | w | (GF 130) |
| П 405 А | — 4,5**) | — 4 | 6,0 | 30*) | Ge-pnp | w | (GF 130) |
| П 406 | — 6**) | — 5 | 2,0 | 10*) | Ge-pnp | k | GF 126 |
| П 407 | — 6**) | — 5 | 2,0 | 20*) | Ge-pnp | k | GF 126 |
| П 408 | — 6**) | — 5 | 3,0 | 10*) | Ge-pnp | c | GF 126 |
| П 409 | — 6**) | — 5 | 2,0 | 20*) | Ge-pnp | c | GF 126 |
| П 410 | — 6**) | — 20 | 0,6 | 200*) | Ge-pnp | e | (GF 146) |
| П 410 А | — 6**) | — 20 | 0,6 | 400*) | Ge-pnp | e | (GF 145) |
| П 411 | — 6**) | — 20 | 0,6 | 400*) | Ge-pnp | e | (GF 145) |
| П 411 А | — 6**) | — 20 | 0,6 | 400*) | Ge-pnp | e | (GF 145) |
| П 414 | — 10**) | — 10 | 0,5 | 60*) | Ge-pnp | p | (GF 130) |
| П 414 А | — 10**) | — 10 | 0,5 | 60*) | Ge-pnp | p | GF 130 |
| П 414 Б | — 10**) | — 10 | 0,5 | 60*) | Ge-pnp | p | GF 130 |
| П 415 | — 10**) | — 10 | 0,5 | 120*) | Ge-pnp | p | GF 132 |
| П 415 А | — 10**) | — 10 | 0,5 | 120*) | Ge-pnp | p | GF 132 |
| П 415 Б | — 10**) | — 10 | 0,5 | 120*) | Ge-pnp | p | GF 132 |

| | | | | | | | | |
|-----------|---------|---|------|------|-------|--------|---|--------|
| Π 416 | — 20**) | — | 25 | 0,6 | 40*) | Ge-pnp | p | — |
| Π 416 A | — 20**) | — | 25 | 0,6 | 60 | Ge-pnp | p | — |
| Π 416 B | — 20**) | — | 25 | 0,6 | 80 | Ge-pnp | p | — |
| Π 417 | — 8**) | — | 10 | 1,2 | 200*) | Ge-pnp | w | — |
| Π 417 A | — 8**) | — | 10 | 1,2 | 200*) | Ge-pnp | w | — |
| Π 418 | | | | 1,0 | 400*) | Ge-pnp | | — |
| Π 420 | — 10**) | — | 10 | 0,9 | 30*) | Ge-pnp | w | GF 126 |
| Π 421 | — 10**) | — | 10 | 0,9 | 30*) | Ge-pnp | w | GF 126 |
| Π 422 | — 10**) | — | 10 | 0,9 | 60*) | Ge-pnp | w | GF 128 |
| Π 422 A | — 10**) | — | 10 | 0,9 | 60*) | Ge-pnp | w | GF 128 |
| Π 423 | — 10**) | — | 10 | 0,9 | 120*) | Ge-pnp | w | GF 131 |
| Π 423 A | — 10**) | — | 10 | 0,9 | 120*) | Ge-pnp | w | GF 131 |
| Π 501 | — 20**) | — | 10 | 0,6 | 10*) | Si-pnp | w | — |
| Π 501 A | — 20**) | — | 10 | 0,6 | 10*) | Si-pnp | w | — |
| Π 502 | — 20**) | — | 10 | 0,6 | 30*) | Si-pnp | w | — |
| Π 502 A | — 20**) | — | 10 | 0,6 | 30*) | Si-pnp | w | — |
| Π 502 B | — 20**) | — | 10 | 0,6 | 30*) | Si-pnp | w | — |
| Π 502 B | — 20**) | — | 10 | 0,6 | 30*) | Si-pnp | w | — |
| Π 503 | — 20**) | — | 10 | 0,6 | 60*) | Si-pnp | w | — |
| Π 503 A | — 20**) | — | 10 | 0,6 | 60*) | Si-pnp | w | — |
| Π 504 | + 30**) | + | 10 | 0,83 | 2,5*) | Si-npn | p | SF 022 |
| Π 504 A | + 30**) | + | 10 | 0,83 | 2,5*) | Si-npn | p | SF 022 |
| Π 505 | + 30**) | + | 10 | 0,83 | 4,7*) | Si-npn | p | SF 022 |
| Π 505 A | + 30**) | + | 10 | 0,83 | 4,7*) | Si-npn | p | SF 022 |
| Π 601 A 3 | — 30 | — | 1500 | (15) | 20 | Ge-pnp | c | GC 301 |
| Π 601 B 3 | — 30 | — | 1500 | (15) | 20 | Ge-pnp | c | GC 301 |

| Typ | $U_{CB, max}$ in V | $I_{C, max}$ in mA | R_{th} in grd/mW (grd/W) | f_T in MHz | Aufbau | Sockel Bild 4.4 | Ersatz |
|---------|-----------------------|-----------------------|--|-----------------|--------|--------------------|---------|
| П 601 И | — 25 | — 1500 | (15) | 20 | Ge-pnp | c | GC 301 |
| П 602 А | — 25 | — 1500 | (15) | 30 | Ge-pnp | c | GC 301 |
| П 602 Б | — 30 | — 1500 | (15) | 30 | Ge-pnp | c | GC 301 |
| П 604 | — 45**) | — 500 | | 10*) | Ge-pnp | m | — |
| П 604 А | — 45**) | — 500 | | 10*) | Ge-pnp | m | — |
| П 604 | — 45**) | — 500 | | 10*) | Ge-pnp | m | — |
| П 605 | — 45 | — 1500 | (15) | 30 | Ge-pnp | c | — |
| П 605 А | — 45 | — 1500 | (15) | 30 | Ge-pnp | c | — |
| П 606 | — 35 | — 1500 | (15) | 30 | Ge-pnp | c | — |
| П 606 А | — 35 | — 1500 | (15) | 30 | Ge-pnp | c | — |
| П 607 | — 30 | — 300 | (3) | 60 | Si-pnp | q | — |
| П 607 А | — 30 | — 300 | (3) | 60 | Si-pnp | q | — |
| П 608 Б | — 50 | — 300 | (3) | 90 | Si-pnp | q | — |
| П 608 А | — 30 | — 300 | (3) | 90 | Si-pnp | q | — |
| П 608 | — 30 | — 300 | (3) | 90 | Si-pnp | q | — |
| П 609 | — 30 | — 300 | (3) | 120 | Si-pnp | q | — |
| П 609 А | — 30 | — 300 | (3) | 120 | Si-pnp | q | — |
| П 609 Б | — 50 | — 300 | (3) | 120 | Si-pnp | q | — |
| П 701 | + 40 | + 500 | (10) | 12,5 | Si-npn | o | SF 127* |
| П 701 А | + 60 | + 500 | (10) | 12,5 | Si-npn | o | SF 127 |
| П 701 Б | + 35 | + 500 | (10) | 12,5 | Si-npn | o | SF 127 |
| П 702 | + 60 | + 2000 | (2,5) | 4 | Si-npn | m | — |

| П 702 А | + 60 | + 2000 | (2,5) | 4 | Si-npn | m | |
|-----------|------|--------|-------|-------|--------|---|--------|
| 1 Т 303 А | + 12 | + 10 | | 20 | Ge-npn | | — |
| 1 Т 303 Б | + 12 | + 10 | | 20 | Ge-npn | | — |
| 1 Т 303 В | + 12 | + 10 | | 20 | Ge-npn | | — |
| 1 Т 303 Г | + 12 | + 10 | | 20 | Ge-npn | | — |
| 1 Т 303 Д | + 12 | + 10 | | 20 | Ge-npn | | — |
| 1 Т 308 А | — 20 | — 50 | | 90 | Ge-pnp | | — |
| 1 Т 308 Б | — 20 | — 50 | 0,4 | 150 | Ge-pnp | | — |
| 1 Т 308 В | — 20 | — 50 | 0,4 | 200 | Ge-pnp | | — |
| 1 Т 308 Г | — 20 | — 50 | | 120 | Ge-pnp | | — |
| 1 Т 403 А | — 45 | — 1250 | (15) | 8***) | Ge-pnp | 0 | — |
| 1 Т 403 Б | — 45 | — 1250 | (15) | 8***) | Ge-pnp | 0 | — |
| 1 Т 403 В | — 60 | — 1250 | (12) | 8***) | Ge-pnp | 0 | — |
| 1 Т 403 Г | — 60 | — 1250 | (15) | 8***) | Ge-pnp | 0 | — |
| 1 Т 403 Д | — 60 | — 1250 | (15) | 8***) | Ge-pnp | 0 | — |
| 1 Т 403 Е | — 60 | — 1250 | (12) | 8***) | Ge-pnp | 0 | — |
| 1 Т 403 Ж | — 80 | — 1250 | (15) | 8***) | Ge-pnp | 0 | — |
| 1 Т 403 И | — 80 | — 1250 | (15) | 8***) | Ge-pnp | 0 | — |
| 2 Т 301 | + 20 | + 10 | 0,63 | 20*) | Si-npn | i | SF 021 |
| 2 Т 301 А | + 20 | + 10 | 0,63 | 20*) | Si-npn | i | SF 021 |
| 2 Т 301 Б | + 20 | + 10 | 0,63 | 20*) | Si-npn | i | SF 021 |
| 2 Т 301 В | + 20 | + 10 | 0,63 | 20*) | Si-npn | i | SF 021 |
| 2 Т 301 Г | + 20 | + 10 | 0,63 | 20*) | Si-npn | i | SF 021 |
| 2 Т 301 Д | + 20 | + 10 | 0,63 | 20*) | Si-npn | i | SF 021 |
| 2 Т 301 Е | + 20 | + 10 | 0,63 | 20*) | Si-npn | i | SF 021 |
| 2 Т 301 Ж | + 20 | + 10 | 0,63 | 20*) | Si-npn | i | SF 021 |

*) f_{α} **) $U_{CE, \max}$ ***) f_{β}

Tabelle 4.2. Neue Transistoren von Tesla (ČSSR)

| Typ | $U_{CB,max}$ in V | $I_{C,max}$ in mA | f_T in MHz | R_{th} in $^{\circ}C/mW$ |
|--------|-----------------------|----------------------|-----------------|-------------------------------|
| GC 507 | — 32 | — 125 | 0,3 | 0,4 |
| GC 508 | — 32 | — 125 | 0,3 | 0,4 |
| GC 509 | — 60 | — 125 | 0,3 | 0,4 |
| GC 510 | — 32 | — 1000 | 1 | 0,22 |
| GC 511 | — 25 | — 1000 | 1 | 0,22 |
| GC 512 | — 25 | — 1000 | 0,55 | 0,22 |
| GC 515 | — 32 | — 125 | 0,3 | 0,4 |
| GC 516 | — 32 | — 125 | 0,3 | 0,4 |
| GC 517 | — 32 | — 125 | 0,3 | 0,4 |
| GC 518 | — 32 | — 125 | 0,3 | 0,4 |
| GC 519 | — 32 | — 125 | 0,3 | 0,4 |
| GC 520 | + 32 | + 1000 | 1 | 0,22*) |
| GC 521 | + 25 | + 1000 | 1 | 0,22*) |
| GC 522 | + 20 | + 1000 | 1 | 0,22*) |
| GC 525 | + 15 | + 125 | 1 | 0,4 |
| GC 526 | + 32 | + 125 | 1 | 0,4 |
| GC 527 | + 32 | + 125 | 1 | 0,4 |
| GF 504 | — 28 | — 100 | 300 | 0,25 |
| GF 507 | — 20 | — 10 | 250 | 0,75 |
| GF 514 | — 32 | — 10 | 75 | 0,75 |
| GF 515 | — 32 | — 10 | 45 | 0,75 |
| GF 516 | — 32 | — 10 | 45 | 0,75 |
| GF 517 | — 20 | — 10 | 30 | 0,75 |
| GS 504 | + 20 | + 400 | 18 | 0,33 |
| GS 506 | + 15 | + 10 | 10 | 0,6 |
| GS 507 | + 15 | + 30 | 10 | 0,6 |
| GD 607 | + 32 | + 1000 | 1 | 4 ^x) |
| GD 608 | + 25 | + 1000 | 1 | 4 ^x) |
| GD 609 | + 20 | + 1000 | 1 | 4 ^x) |
| GD 617 | — 32 | — 1000 | 1 | 4 ^x) |
| GD 618 | — 25 | — 1000 | 1 | 4 ^x) |
| GD 619 | — 25 | — 1000 | 0,6 | 4 ^x) |
| KC 507 | + 45 | + 100 | 150 | 0,43 |
| KC 508 | + 20 | + 100 | 150 | 0,43 |
| KC 509 | + 20 | + 100 | 150 | 0,43 |
| KD 601 | + 60 | + 10000 | | 35 ^x) |
| KF 503 | + 100 ^{xx}) | + 50 | 150 | 0,22 |
| KF 504 | + 160 ^{xx}) | + 50 | 150 | 0,22 |
| KF 506 | + 75 | + 500 | 100 | 0,22 |
| KF 507 | + 40 | + 500 | 100 | 0,22 |
| KF 508 | + 75 | + 500 | 120 | 0,22 |

| Typ | $U_{CB,max}$ in V | $I_{C,max}$ in mA | f_T in MHz | R_{th} in $^{\circ}C/mW$ |
|--------|----------------------|----------------------|-----------------|--------------------------------|
| KF 517 | — 40 | — 500 | 90 | 0,22 |
| KS 500 | + 25 | + 200 | 200 | 0,165 |
| KU 601 | + 60 | + 2000 | | 10 ^x) |
| KU 602 | + 120 | + 2000 | | 10 ^x) |
| KU 605 | + 200 | + 10000 | | 50 ^x) |
| KU 606 | + 120 | + 8000 | | 50 ^x) |
| KU 607 | + 210 | + 10000 | | 70 ^x) |
| GCN 53 | + 30 | + 250 | 0,7 | 0,3 |
| GCN 54 | + 48 | + 250 | 0,7 | 0,3 |
| GCN 55 | — 32 | — 125 | 1 | 0,3 |
| GCN 56 | — 60 | — 125 | 0,3 | 0,3 |
| GFY 50 | — 20 | — 10 | 30 | 1 |
| KFY 16 | — 50 | — 500 | 50 | 0,22 |
| KFY 18 | — 60 | — 500 | 50 | 0,22 |
| KFZ 66 | + 60 | + 500 | 30 | 0,63 |
| KFZ 68 | + 60 | + 500 | 30 | 0,63 |
| | | | | } Dar- ling- ton- Tr. |
| KFY 34 | + 75 | + 500 | 60 | 0,22 |
| KFY 46 | + 75 | + 500 | 70 | 0,22 |
| KSY 34 | + 60 | + 600 | 250 | 0,067 |
| KSY 62 | + 25 | + 200 | 200 | 0,53 |
| KSY 63 | + 40 | + 200 | 300 | 0,53 |
| KSZ 62 | + 25 | + 200 | 290 | 0,165 |
| | | | | Darling- ton-Tr. |

*) Bei den Typen mit einem „K“ am Ende der Bezeichnung beträgt der Wärmewiderstand 0,15 $^{\circ}C/mW$.

x) Verlustleistung in W bei 45 $^{\circ}C$

xx) $U_{CE,max}$

Tabelle 4.3. Neue Transistoren westeuropäischer Staaten für die Konsumgüterelektronik

| Typ | Hersteller | U _{CB,max} in V | I _{C,max} in mA | f _T in MHz | R _{th} in grd/mW | Bemerkung |
|--------|------------|-----------------------------|-----------------------------|--------------------------|------------------------------|--------------|
| AC 107 | RTC | — 15 | — 10 | 2 | 1,3 | |
| AF 179 | Sie | — 20*) | — 10 | 600 | 1 | Plastgehäuse |
| AF 238 | Fld | — 15 | — 200 | 7**) | 0,3 | Plastgehäuse |
| AF 241 | Fld | — 15 | — 200 | 12**) | 0,3 | Plastgehäuse |
| AF 251 | Tfk | — 20 | — 10 | 750 | 0,5 | Plastgehäuse |
| AF 252 | Tfk | — 20 | — 10 | 650 | 0,5 | |
| AF 253 | Tfk | — 20 | — 10 | 550 | 0,5 | |
| AF 256 | Tfk | — 25 | — 10 | 170 | 0,5 | Plastgehäuse |
| AF 279 | Sie | — 20 | — 10 | > 600 | 1 | Plastgehäuse |
| AF 280 | Sie | — 20 | — 10 | > 600 | 1 | Plastgehäuse |
| AD 105 | Val | — 80 | — 8000 | | 0,002x) | |
| AD 164 | Tfk | — 25 | — 2000 | 0,011***) | 0,075x) | |
| AD 165 | Tfk | + 25 | + 2000 | 0,02****) | 0,085x) | |
| AD 169 | Tfk | — 45 | — 2000 | 0,011***) | 0,075x) | |
| AU 103 | RTC | — 155 | — 10000 | 10 | 0,0015x) | |
| AU 104 | RTC | — 185 | — 12000 | 15 | 0,0015x) | |
| BC 110 | Sie | + 80 | + 50 | 100 | 0,5 | |
| BC 112 | | + 20 | + 50 | 150 | 1,6 | Plastgehäuse |
| BC 140 | Sie | + 80 | + 1000 | 60 | 0,2 | |

| | | | | | | |
|--------|-----|--------|-------|------|------|--------------|
| BC 157 | Sie | — 45*) | — 200 | 130 | 0,45 | Plastgehäuse |
| BC 158 | Sie | — 25*) | — 200 | 130 | 0,45 | Plastgehäuse |
| BC 159 | Sie | — 20*) | — 200 | 130 | 0,45 | Plastgehäuse |
| BC 167 | Tfk | + 50 | + 100 | 250 | 0,45 | Plastgehäuse |
| BC 168 | Tfk | + 30 | + 100 | 300 | 0,45 | Plastgehäuse |
| BC 169 | Sie | + 20*) | + 200 | 45 | 0,45 | Plastgehäuse |
| BC 170 | Int | + 20 | + 100 | 100 | 0,5 | Plastgehäuse |
| BC 171 | Int | + 45 | + 100 | 300 | 0,5 | Plastgehäuse |
| BC 172 | Int | + 20 | + 100 | 300 | 0,5 | Plastgehäuse |
| BC 173 | Int | + 20 | + 100 | 300 | 0,5 | Plastgehäuse |
| BC 174 | Int | + 70 | + 100 | 100 | 0,5 | Plastgehäuse |
| BC 177 | Sie | — 45*) | — 200 | 130 | 0,5 | Plastgehäuse |
| BC 178 | Sie | — 25*) | — 200 | 130 | 0,5 | Plastgehäuse |
| BC 179 | Sie | — 20*) | — 200 | 130 | 0,5 | Plastgehäuse |
| BC 181 | Tex | — 25*) | — 200 | 0,42 | 0,42 | Plastgehäuse |
| BC 182 | Tex | + 50*) | + 100 | 150 | 0,42 | Plastgehäuse |
| BC 183 | Tex | + 30*) | + 100 | 150 | 0,42 | Plastgehäuse |
| BC 184 | Tex | + 30*) | + 100 | 150 | 0,42 | Plastgehäuse |
| BC 192 | Int | — 25 | — 500 | 100 | 0,5 | Plastgehäuse |
| BC 194 | Tfk | + 40 | + 800 | 250 | 0,8 | Plastgehäuse |
| BC 197 | Tfk | + 45 | + 100 | 85 | 1,6 | Plastgehäuse |
| BC 198 | Tfk | + 20 | + 100 | 85 | 1,6 | Plastgehäuse |
| BC 199 | Tfk | + 20 | + 100 | 85 | 1,6 | Plastgehäuse |
| BC 201 | Sie | — 5 | — 75 | 80 | 1 | Plastgehäuse |
| BC 202 | Sie | — 30 | — 75 | 80 | 1 | Plastgehäuse |
| BC 203 | Sie | — 45 | — 75 | 80 | 1 | Plastgehäuse |

| Typ | Hersteller | U _{CB} , max in V | I _C , max in mA | f _T in MHz | R _{th} in grd/mW | Bemerkung |
|--------|------------|-------------------------------|-------------------------------|--------------------------|------------------------------|--------------|
| BC 212 | Tex | — 50*) | — 100 | 200 | 0,33 | Plastgehäuse |
| BC 213 | Tex | — 30*) | — 100 | 200 | 0,33 | Plastgehäuse |
| BC 214 | Tex | — 30*) | — 100 | 200 | 0,33 | Plastgehäuse |
| BC 223 | Tex | — 30*) | — 800 | 100 | 0,33 | Plastgehäuse |
| BC 237 | Tfk | + 45 | + 100 | 300 | 0,5 | Plastgehäuse |
| BC 238 | Tfk | + 20 | + 100 | 300 | 0,5 | Plastgehäuse |
| BC 239 | Tfk | + 20 | + 100 | 300 | 0,5 | Plastgehäuse |
| BC 250 | Int | — 20 | — 100 | | 0,5 | Plastgehäuse |
| BC 251 | Int | — 45 | — 100 | | 0,5 | Plastgehäuse |
| BC 252 | Int | — 20 | — 100 | | 0,5 | Plastgehäuse |
| BC 253 | Int | — 20 | — 100 | | 0,5 | Plastgehäuse |
| BC 257 | Val | — 50*) | — 100 | 130 | 0,45 | Plastgehäuse |
| BC 258 | Val | — 30*) | — 100 | 130 | 0,45 | Plastgehäuse |
| BC 259 | Val | — 30*) | — 100 | 130 | 0,45 | Plastgehäuse |
| BC 260 | Int | — 20 | — 100 | | 0,5 | |
| BC 261 | Int | — 45 | — 100 | | 0,5 | |
| BC 262 | Int | — 20 | — 100 | | 0,5 | |
| BC 263 | Int | — 20 | — 100 | | 0,5 | |
| BD 106 | Int | + 36 | + 2500 | 100 | 0,013 ^x) | |
| BD 107 | Int | + 64 | + 2500 | 100 | 0,013 ^x) | |
| BD 115 | Val | + 220 | + 150 | 145 | 0,2 ^x) | |
| BD 127 | Tfk | + 350 | + 150 | 20 | 0,009 ^x) | |
| BD 128 | Tfk | + 400 | + 150 | 20 | 0,009 ^x) | |

| | | | | | |
|--------|-----|---------|--------|-----|---------|
| BD 129 | Tfk | + 350 | + 150 | 10 | 0,009x) |
| BD 130 | Sie | + 100 | + 1500 | 0,7 | 0,001x) |
| BD 135 | Val | + 45 | + 1500 | 75 | 0,01x) |
| BD 136 | Val | — 45 | — 1500 | 75 | 0,01x) |
| BD 137 | Val | + 60 | + 1500 | 75 | 0,01x) |
| BD 138 | Val | — 60 | — 1500 | 75 | 0,01x) |
| BF 111 | Sie | + 200*) | + 80 | 120 | 0,2 |
| BF 118 | Int | + 250*) | + 100 | 120 | 0,035x) |
| BF 121 | Int | + 40 | + 25 | 350 | 0,3 |
| BF 123 | Int | + 40 | + 25 | 550 | 0,3 |
| BF 125 | Int | + 40 | + 25 | 450 | 0,3 |
| BF 127 | Int | + 40 | + 25 | 350 | 0,3 |
| BF 177 | Val | + 100 | + 40 | 120 | 0,22 |
| BF 178 | Val | + 160 | + 50 | 120 | 0,22 |
| BF 179 | Val | + 250 | + 50 | 120 | 0,22 |
| BF 180 | Tfk | + 20*) | + 20 | 675 | 1 |
| BF 181 | Tfk | + 20*) | + 20 | 600 | 1 |
| BF 182 | RTC | + 30 | + 20 | 675 | 1 |
| BF 183 | RTC | + 25 | + 15 | 600 | 1 |
| BF 184 | Tfk | + 30 | + 30 | 260 | 0,55 |
| BF 185 | Tfk | + 30 | + 30 | 200 | 0,55 |
| BF 186 | Val | + 190 | + 60 | 120 | 0,2 |
| BF 194 | Tfk | + 30 | + 30 | 260 | 0,45 |
| BF 195 | Tfk | + 30 | + 30 | 200 | 0,45 |
| BF 196 | Tfk | + 50 | + 25 | 400 | 0,4 |
| BF 197 | Tfk | + 40 | + 25 | 550 | 0,4 |

Plastgehäuse
Plastgehäuse
Plastgehäuse
Plastgehäuse

Plastgehäuse
Plastgehäuse
Plastgehäuse
Plastgehäuse

Plastgehäuse
Plastgehäuse
Plastgehäuse
Plastgehäuse

| Typ | Hersteller | U _{CB,max} in V | I _{C,max} in mA | f _T in MHz | R _{th} in grd/mW | Bemerkung |
|--------|------------|-----------------------------|-----------------------------|--------------------------|------------------------------|--------------|
| BF 198 | Tfk | + 40 | + 25 | 400 | 0,4 | Plastgehäuse |
| BF 199 | Tfk | + 30 | + 25 | 550 | 0,4 | Plastgehäuse |
| BF 200 | Val | + 20*) | + 20 | 650 | 1 | |
| BF 206 | Cos | + 20*) | + 20 | 500 | 1 | |
| BF 209 | Cos | + 20*) | + 20 | 500 | 1 | |
| BF 212 | Cos | + 20*) | + 20 | 700 | 1 | |
| BF 213 | Cos | + 20*) | + 20 | 600 | 1 | |
| BF 223 | Tfk | + 35 | + 40 | 850 | 0,32 | Plastgehäuse |
| BF 227 | Tfk | + 40 | + 25 | 600 | 1,6 | Plastgehäuse |
| BF 228 | Tfk | + 100 | + 50 | 50 | 1,6 | Plastgehäuse |
| BF 229 | Tfk | + 30 | + 30 | 260 | 1,6 | Plastgehäuse |
| BF 230 | Tfk | + 30 | + 30 | 200 | 1,6 | Plastgehäuse |
| BF 232 | Sie | + 25*) | + 30 | 600 | 0,65 | Plastgehäuse |
| BF 233 | Cos | + 30*) | + 30 | 250 | 0,33 | Plastgehäuse |
| BF 234 | Cos | + 30*) | + 30 | 250 | 0,33 | Plastgehäuse |
| BF 235 | Cos | + 30*) | + 30 | 250 | 0,33 | Plastgehäuse |
| BF 236 | Cos | + 30*) | + 30 | 250 | 0,33 | Plastgehäuse |
| BF 240 | Tfk | + 40*) | + 25 | 400 | 0,39 | |
| BF 241 | Tfk | + 40*) | + 25 | 400 | 0,39 | |
| BF 243 | Tex | — 32*) | 60 | 80 | 0,33 | |
| BF 250 | Tex | + 15*) | + 600 | 20 | 0,37 | |

| | | | | | | | | |
|--------|-----|---|------|---|------|-----|----------|--------------|
| BF 251 | Tfk | + | 30 | + | 30 | 200 | 0,45 | Plastgehäuse |
| BF 255 | Tfk | + | 30 | + | 30 | 220 | 0,45 | Plastgehäuse |
| BF 314 | Tfk | + | 40 | | | 450 | 0,42 | |
| BU 105 | Val | + | 1500 | + | 2500 | | 0,0025x) | |

*) $U_{CE,max}$ **) f_{α} ***) f_{β} x) gegen Gehäuse gemessen (R_{thG})

Tabelle 4.4. Transistoren von COSEM (Frankreich)

| Typ | Material | $U_{CB,max}$ in V | $I_{C,max}$ in mA | f_{α} in MHz | R_{th} in $^{\circ}C/mW$ |
|----------|----------|----------------------|----------------------|------------------------|-------------------------------|
| SF.T 106 | Ge | — 12 | — 50 | 3 | 0,6 |
| SF.T 107 | Ge | — 12 | — 50 | 6 | 0,6 |
| SF.T 108 | Ge | — 12 | — 50 | 10 | 0,6 |
| SF.T 113 | Ge | — 40 | — 3000 | 0,25 | 0,002**) |
| SF.T 114 | Ge | — 60 | — 3000 | 0,25 | 0,002**) |
| SF.T 115 | Ge | — 40 | — 10 | 30 | 0,5 |
| SF.T 116 | Ge | — 25 | — 10 | 30 | 0,5 |
| SF.T 119 | Ge | — 25 | — 10 | 30 | 0,5 |
| SF.T 120 | Ge | — 25 | — 10 | 30 | 0,5 |
| SF.T 121 | Ge | — 24 | — 250 | 1,3 | 0,33 |
| SF.T 122 | Ge | — 12 | — 250 | 1,6 | 0,33 |
| SF.T 123 | Ge | — 24 | — 250 | 2,5 | 0,33 |
| SF.T 124 | Ge | — 24 | — 500 | 1 | 0,143 |
| SF.T 125 | Ge | — 24 | — 500 | 2 | 0,143 |
| SF.T 126 | Ge | — 24 | — 250 | 5 | 0,4 |
| SF.T 127 | Ge | — 24 | — 250 | 7 | 0,4 |
| SF.T 128 | Ge | — 24 | — 250 | 10 | 0,4 |
| SF.T 130 | Ge | — 24 | — 500 | 1 | 0,091 |
| SF.T 131 | Ge | — 24 | — 500 | 2 | 0,091 |
| SF.T 141 | Ge | — 25 | — 250 | 1 | 0,3 |
| SF.T 142 | Ge | — 25 | — 250 | 1,2 | 0,3 |
| SF.T 143 | Ge | — 45 | — 500 | 1 | 0,22 |
| SF.T 144 | Ge | — 45 | — 500 | 1,5 | 0,22 |
| SF.T 145 | Ge | — 45 | — 500 | 1 | 0,11 |
| SF.T 146 | Ge | — 45 | — 500 | 1,5 | 0,11 |
| SF.T 150 | Ge | — 40 | — 3000 | 0,25 | 0,002**) |
| SF.T 151 | Ge | — 24 | — 150 | 0,7 | 0,33 |
| SF.T 152 | Ge | — 24 | — 150 | 0,9 | 0,33 |
| SF.T 153 | Ge | — 24 | — 150 | 1,1 | 0,33 |
| SF.T 154 | Ge | — 20 | — 10 | 100 | 0,5 |
| SF.T 155 | Ge | — 35 | — 10 | 100 | 0,5 |
| SF.T 160 | Ge | — 15 | — 10 | 60*) | 0,5 |
| SF.T 162 | Ge | — 10 | — 10 | 70*) | 0,25 |
| SF.T 184 | Si | + 10 | + 100 | 3*) | 0,4 |
| SF.T 186 | Si | + 140 | | 180*) | 0,12 |
| SF.T 187 | Si | + 135 | | 70*) | 0,12 |
| SF.T 190 | Ge | — 65 | — 1000 | 0,2*) | 0,002**) |
| SF.T 206 | Ge | — 18 | — 250 | 5,5*) | 0,4 |
| SF.T 207 | Ge | — 18 | — 250 | 7,5*) | 0,4 |
| SF.T 208 | Ge | — 15 | — 250 | 12*) | 0,4 |
| SF.T 211 | Ge | — 80 | — 6000 | 0,5 | 0,0011**) |
| SF.T 213 | Ge | — 40 | — 3000 | 0,25 | 0,0015**) |

| Typ | Material | $U_{CB, \max}$ in V | $I_{C, \max}$ in mA | f_{α} in MHz | R_{th} in grd/mW |
|----------|----------|------------------------|------------------------|------------------------|-----------------------|
| SF.T 214 | Ge | — 60 | — 3000 | 0,25 | 0,0011**) |
| SF.T 221 | Ge | — 30 | — 250 | 1,3*) | 0,23 |
| SF.T 222 | Ge | — 30 | — 250 | 2*) | 0,23 |
| SF.T 223 | Ge | — 30 | — 250 | 4*) | 0,23 |
| SF.T 226 | Ge | — 40 | — 250 | 5,5*) | 0,4 |
| SF.T 227 | Ge | — 30 | — 250 | 7,5*) | 0,4 |
| SF.T 228 | Ge | — 24 | — 250 | 12*) | 0,33 |
| SF.T 229 | Ge | — 18 | — 250 | 20*) | 0,33 |
| SF.T 232 | Ge | — 40 | — 3000 | 0,7 | 0,1 |
| SF.T 233 | Ge | — 60 | — 3000 | 0,7 | 0,1 |
| SF.T 234 | Ge | — 80 | — 3000 | 0,7 | 0,1 |
| SF.T 235 | Ge | — 100 | — 3000 | 0,7 | 0,1 |
| SF.T 237 | Ge | — 15 | — 100 | 3*) | 0,33 |
| SF.T 238 | Ge | — 40 | — 6000 | 0,25 | 0,0017**) |
| SF.T 239 | Ge | — 60 | — 6000 | 0,5 | 0,0011**) |
| SF.T 240 | Ge | — 100 | — 10000 | 0,5 | 0,0011**) |
| SF.T 241 | Ge | — 45 | — 500 | 1,6*) | 0,23 |
| SF.T 242 | Ge | — 45 | — 500 | 2,5*) | 0,23 |
| SF.T 243 | Ge | — 45 | — 500 | 2*) | 0,23 |
| SF.T 250 | Ge | — 80 | — 3000 | 0,5 | 0,0011**) |
| SF.T 251 | Ge | — 30 | — 50 | 1,3*) | 0,23 |
| SF.T 252 | Ge | — 30 | — 150 | 2*) | 0,23 |
| SF.T 253 | Ge | — 30 | — 150 | 3*) | 0,23 |
| SF.T 264 | Ge | — 30 | — 15000 | 0,3*) | 0,0008**) |
| SF.T 265 | Ge | — 40 | — 15000 | 0,3*) | 0,0008**) |
| SF.T 266 | Ge | — 60 | — 15000 | 0,3*) | 0,0008**) |
| SF.T 267 | Ge | — 80 | — 15000 | 0,3*) | 0,0008**) |
| SF.T 268 | Ge | — 100 | — 15000 | 0,3*) | 0,0008**) |
| SF.T 288 | Ge | — 24 | — 500 | 16 | 0,33 |
| SF.T 298 | Ge | + 30 | + 500 | 15 | 0,33 |
| SF.T 306 | Ge | — 18 | — 100 | 3 | 0,33 |
| SF.T 307 | Ge | — 18 | — 100 | 7 | 0,33 |
| SF.T 308 | Ge | — 18 | — 100 | 13 | 0,33 |
| SF.T 315 | Ge | — 40 | — 10 | 30 | 0,42 |
| SF.T 316 | Ge | — 20 | — 10 | 60 | 0,42 |
| SF.T 317 | Ge | — 20 | — 10 | 40 | 0,33 |
| SF.T 319 | Ge | — 20 | — 10 | 20 | 0,33 |
| SF.T 320 | Ge | — 20 | — 10 | 35 | 0,33 |
| SF.T 321 | Ge | — 24 | — 250 | 1,3 | 0,25 |
| SF.T 322 | Ge | — 24 | — 250 | 1,6 | 0,25 |
| SF.T 323 | Ge | — 24 | — 250 | 2,6 | 0,25 |
| SF.T 325 | Ge | — 24 | — 500 | 2 | 0,1 |

| Typ | Material | $U_{CB,max}$ in V | $I_{C,max}$ in mA | f_{α} in MHz | R_{th} in $^{\circ}C/mW$ |
|----------|----------|----------------------|----------------------|------------------------|-------------------------------|
| SF.T 351 | Ge | — 24 | — 150 | 1,2 | 0,25 |
| SF.T 352 | Ge | — 24 | — 150 | 1,6 | 0,25 |
| SF.T 353 | Ge | — 24 | — 250 | 2,4 | 0,25 |
| SF.T 354 | Ge | — 20 | — 10 | 80*) | 0,42 |
| SF.T 357 | Ge | — 20 | — 10 | 85*) | 0,42 |
| SF.T 358 | Ge | — 20 | — 10 | 110*) | 0,42 |
| SF.T 367 | Ge | — 32 | — 1000 | 4*) | 0,1 |
| SF.T 377 | Ge | + 32 | + 1000 | 4*) | 0,1 |
| SF.T 440 | Si | + 80 | | 150*) | 0,008**) |
| SF.T 443 | Si | + 80 | | 125*) | 0,016**) |
| SF.T 445 | Si | + 80 | | 200*) | 0,008**) |
| SF.T 601 | Si | + 40 | | | 0,67 |
| SF.T 602 | Si | + 40 | | | 0,67 |
| SF.T 603 | Si | + 40 | | | 0,67 |
| SF.T 714 | Si | + 25 | | 150*) | 0,33 |
| SF.T 715 | Si | + 25 | | 150*) | 0,33 |

*) f_T **) gegen Gehäuse gemessen (R_{thG})

Tabelle 4.5. Transistoren von SESCO (Frankreich)

| Typ | $U_{CB,max}$ in V | $I_{C,max}$ in mA | f_T in MHz | R_{th} in $^{\circ}C/mW$ | Anwen- dung | Auf- bau |
|---------|----------------------|----------------------|-----------------|-------------------------------|------------------|-------------|
| 31 T 1 | — 10***) | — 50 | 7 | 0,6 | HF-Vorst. | Ge-pnp |
| 32 T 1 | — 10***) | — 50 | 7 | 0,6 | HF-Vorst. | Ge-pnp |
| 33 T 1 | — 20 | — 50 | 7 | 0,6 | HF-Vorst. | Ge-pnp |
| 34 T 1 | — 20 | — 50 | 7 | 0,6 | HF-Vorst. | Ge-pnp |
| 42 T 6 | + 130 | + 1000 | 10 | 8,5/ W^x) | Rasterabl. | Si-npn |
| 43 T 6 | + 500 | + 5000 | 10 | 1,5/ W^x) | Zeilenabl. | Si-npn |
| 44 T 1 | — 45 | — 300 | 1,2*) | 0,15 | NF-Leist. | Ge-pnp |
| 154 T 1 | — 12 | — 6 | 100 | 0,75 | MW- Mischst. | Ge-pnp |
| 155 T 1 | — 12 | — 6 | 120 | 0,75 | KW- Mischst. | Ge-pnp |
| 156 T 1 | — 12 | — 6 | 120 | 0,75 | UKW- Mischst. | Ge-pnp |
| 157 T 1 | — 12 | — 6 | 130 | 0,75 | UKW- Vorst. | Ge-pnp |
| 322 T 1 | — 20 | — 100 | 2 | 0,6 | NF-Vorst. | Ge-pnp |
| 323 T 1 | — 20 | — 100 | 2,5 | 0,6 | NF-Vorst. | Ge-pnp |
| 324 T 1 | — 20 | — 100 | 3 | 0,6 | NF-Vorst. | Ge-pnp |
| 325 T 1 | — 20 | — 100 | 3,5 | 0,6 | NF-Vorst. | Ge-pnp |

| Typ | $U_{CB,max}$ in V | $I_{C,max}$ in mA | f_T in MHz | R_{th} in grd/mW | Anwen- dung | Auf- bau |
|-----------|----------------------|----------------------|-----------------|-----------------------|----------------|-------------|
| 420 T 1 | — 30 | — 500 | 2 | 0,075 | NF-Leist. | Ge-pnp |
| 421 T 1 | — 30 | — 500 | 2 | 0,075 | NF-Leist. | Ge-pnp |
| 520 T 1 | — 20 | — 500 | 2 | 0,15 | NF-Leist. | Ge-pnp |
| 521 T 1 | — 20 | — 500 | 2 | 0,15 | NF-Leist. | Ge-pnp |
| 36 T 1 RT | — 20 | — 50 | 10*) | 0,4 | ZF-Vorst. | Ge-pnp |
| 37 T 1 RT | — 14 | — 50 | 15*) | 0,4 | ZF-Vorst. | Ge-pnp |
| 665 T 1 | — 12 | — 50 | 1,5*) | 0,85 | NF-Vorst. | Ge-pnp |
| 689 T 1 | — 12 | — 50 | 0,8*) | 0,85 | NF-Vorst. | Ge-pnp |
| 690 T 1 | — 12 | — 50 | 1,0*) | 0,85 | NF-Vorst. | Ge-pnp |
| 691 T 1 | — 12 | — 50 | 1,2*) | 0,85 | NF-Vorst. | Ge-pnp |
| 692 T 1 | — 12 | — 50 | 1,5*) | 0,85 | NF-Vorst. | Ge-pnp |
| 965 T 1 | — 24 | — 50 | 1,5*) | 0,5 | NF-Vorst. | Ge-pnp |
| 989 T 1 | — 24 | — 50 | 0,8*) | 0,5 | NF-Vorst. | Ge-pnp |
| 990 T 1 | — 24 | — 50 | 1,0*) | 0,5 | NF-Vorst. | Ge-pnp |
| 991 T 1 | — 24 | — 50 | 1,2*) | 0,5 | NF-Vorst. | Ge-pnp |
| 992 T 1 | — 24 | — 50 | 1,2*) | 0,5 | NF-Vorst. | Ge-pnp |

*) f_z x) gegen Gehäuse gemessen ***) $U_{CE,max}$

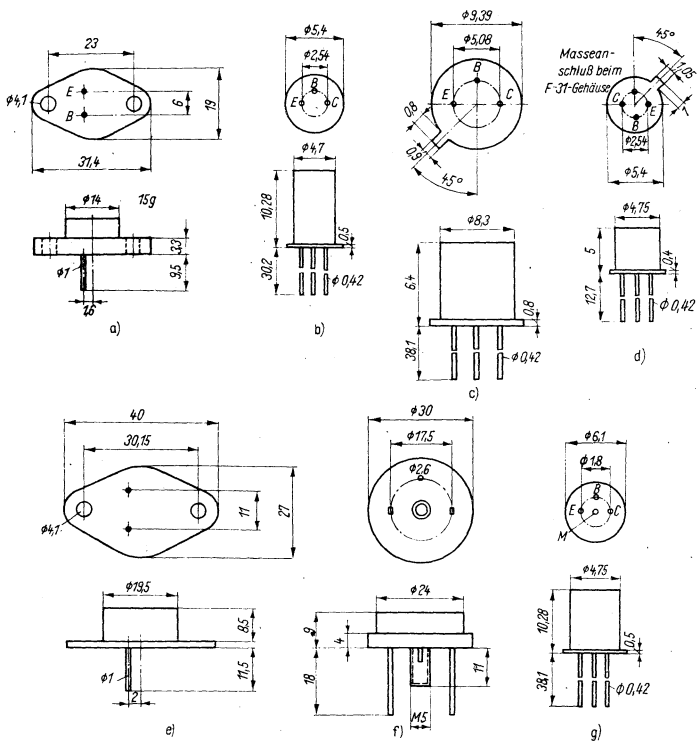


Bild 4.5 Abmessungen einiger Transistoren westeuropäischer Staaten; a) MD 11 oder F 22, b) TO 1 a, c) TO 5, d) TO 18, e) TO 3, f) TO 36, g) TO 44

Tabelle 4.6. Transistoren westeuropäischer Staaten für die professionelle Elektronik

| Typ | Hersteller | $U_{CB,max}$ in V | $I_{C,max}$ in mA | f_T in MHz | R_{th} in grd/mW |
|--------|------------|----------------------|----------------------|-----------------|-----------------------|
| ACY 16 | Tfk | — 40 | — 400 | 0,01*) | 0,3 |
| ACY 23 | Sie | — 32 | — 200 | 1,5 | 0,3 |
| ACY 24 | Tfk | — 70 | — 300 | 0,09*) | 0,35 |
| ACY 32 | Sie | — 32 | — 200 | 1,5 | 0,3 |
| ACY 33 | Sie | — 32 | — 1000 | 1,5 | 0,3 |
| ACY 38 | Cos | — 15 | — 100 | 3*) | 0,3 |
| ACZ 10 | Tfk | — 70 | — 300 | | 0,125 |
| ADY 26 | Val | — 80 | — 30000 | 0,1*) | 0,004 |
| ADY 27 | Sie | — 32 | — 3500 | 0,45 | 0,002 |
| ADY 28 | Cos | — 80 | — 6000 | 0,5 | |
| ADZ 11 | Val | — 50 | — 20000 | 0,08**) | 0,008 |
| ADZ 12 | Val | — 80 | — 20000 | 0,1**) | 0,008 |
| AFY 10 | Sie | — 30 | — 70 | 250 | 0,26 |
| AFY 11 | Sie | — 30 | — 70 | 350 | 0,25 |
| AFY 12 | Sie | — 25 | — 10 | 230 | 0,75 |
| AFY 13 | Tfk | — 25 | — 50 | 50 | 0,65 |
| AFY 14 | Tfk | — 40 | — 250 | 60 | 0,5 |
| AFY 15 | Tfk | — 22 | — 50 | 16 | 0,6 |
| AFY 16 | Tfk | — 30 | — 10 | 500 | 0,75 |
| AFY 18 | Sie | — 30 | — 100 | 200 | 0,25 |
| AFY 19 | Val | — 32 | — 300 | 350 | 0,25 |
| AFY 29 | Tfk | — 25 | — 50 | 35 | 0,65 |
| AFY 34 | Sie | — 40 | — 20 | 3500xxx) | 0,157 |
| AFY 37 | Sie | — 32 | — 20 | 600 | 0,75 |
| AFY 39 | Sie | — 32 | — 30 | 500 | 0,45 |
| AFY 40 | Val | — 32 | — 20 | 700 | 0,55 |
| AFY 41 | Val | — 30 | — 10 | 650 | 0,75 |
| AFY 42 | Sie | — 30 | — 10 | 650 | 0,75 |
| AFZ 10 | Tfk | — 40 | — 250 | 35 | 0,2 |
| AFZ 12 | Val | — 20 | — 10 | 180 | 0,6 |
| ALZ 10 | Tfk | — 50 | — 500 | 40 | 0,2 |
| ASY 14 | Int | — 80 | — 250 | 1,5 | 0,67 |
| ASY 24 | Tfk | — 50 | — 250 | 22 | 0,6 |
| ASY 26 | Tfk | — 30 | — 300 | 4 | 0,4 |
| ASY 27 | Tfk | — 25 | — 300 | 6 | 0,4 |
| ASY 28 | Tfk | — 30 | — 300 | 4 | 0,4 |
| ASY 29 | Tfk | — 25 | — 300 | 6 | 0,4 |
| ASY 30 | Tfk | — 50 | — 250 | 12 | 0,5 |
| ASY 31 | Val | — 25 | — 200 | 4 | 0,4 |
| ASY 32 | Val | — 25 | — 200 | 6 | 0,4 |

| Typ | Her- steller | $U_{CB, \max}$ in V | $I_{C, \max}$ in mA | f_T in MHz | R_{th} in grd/mW |
|--------|-----------------|------------------------|------------------------|-----------------|-----------------------|
| ASY 48 | Sie | — 64 | — 300 | 1,2 | 0,3 |
| ASY 70 | Sie | — 32 | — 300 | 1,5 | 0,3 |
| ASY 73 | Val | — 30 | — 400 | 4 | 0,35 |
| ASY 74 | Val | — 30 | — 400 | 6 | 0,35 |
| ASY 75 | Val | — 30 | — 400 | 10 | 0,35 |
| ASY 76 | Val | — 40 | — 1000 | 0,9 | 0,25 |
| ASY 77 | Val | — 60 | — 1000 | 0,9 | 0,25 |
| ASY 80 | Val | — 40 | — 1000 | 0,9 | 0,25 |
| ASY 82 | Tho | — 26 | — 800 | 1,5 | 0,2 |
| ASY 83 | Tho | — 26 | — 800 | 2,5 | 0,2 |
| ASY 84 | Tho | — 40 | — 800 | 1,5 | 0,2 |
| ASY 85 | Tho | — 40 | — 800 | 2,5 | 0,2 |
| ASY 86 | Tho | + 16 | + 800 | 2 | 0,2 |
| ASY 87 | Tho | + 16 | + 800 | 4 | 0,2 |
| ASY 88 | Tho | + 26 | + 800 | 2 | 0,2 |
| ASY 89 | Tho | + 26 | + 800 | 4 | 0,2 |
| ASZ 10 | Tfk | — 50 | — 250 | 20 | 0,33 |
| ASZ 15 | Val | — 100 | — 10000 | 0,2 | 0,0015 ^x) |
| ASZ 16 | Val | — 60 | — 10000 | 0,25 | 0,0015 ^x) |
| ASZ 17 | Val | — 60 | — 10000 | 0,22 | 0,0015 ^x) |
| ASZ 18 | Val | — 100 | — 10000 | 0,22 | 0,0015 ^x) |
| ASZ 21 | Val | — 20 | — 50 | 300 | 0,5 |
| ASZ 23 | Val | — 24 ^{xx}) | — 100 | | 0,6 |
| ASZ 30 | Tfk | — 50 | — 250 | 12 | 1 |
| AUY 10 | Val | — 70 | — 700 | 120 | 0,004 ^x) |
| AUY 18 | Sie | — 64 | — 8000 | 0,3 | 0,005 ^x) |
| AUY 19 | Sie | — 64 | — 3000 | 0,35 | 0,0015 ^x) |
| AUY 20 | Sie | — 80 | — 3000 | 0,35 | 0,0015 ^x) |
| AUY 21 | Sie | — 65 | — 10000 | 0,3 | 0,0015 ^x) |
| AUY 22 | Sie | — 80 | — 8000 | 0,3 | 0,0015 ^x) |
| AUY 28 | Tfk | — 90 | — 10000 | 0,25 | 0,0015 ^x) |
| AUY 29 | Sie | — 50 | — 2000 | 0,3 | 0,0015 ^x) |
| AUY 34 | Sie | — 100 | — 3000 | 0,35 | 0,0015 ^x) |
| AUZ 11 | Tfk | — 50 | — 1000 | 3 | 0,0075 ^x) |
| BCY 10 | Val | — 32 | — 500 | 1,5 | 0,4 |
| BCY 11 | Val | — 60 | — 500 | 1,5 | 0,4 |
| BCY 12 | Val | — 32 | — 500 | 2 | 0,4 |
| BCY 30 | Val | — 64 | — 100 | 1,2 | 0,5 |
| BCY 31 | Val | — 64 | — 100 | 1,7 | 0,5 |
| BCY 32 | Val | — 64 | — 100 | 2,5 | 0,5 |
| BCY 33 | Val | — 32 | — 100 | 1,5 | 0,5 |
| BCY 34 | Val | — 32 | — 100 | 2,4 | 0,5 |

| Typ | Her- steller | U _{CB,max} in V | I _{C,max} in mA | f _T in MHz | R _{th} in grd/mW |
|--------|-----------------|-----------------------------|-----------------------------|--------------------------|------------------------------|
| BCY 38 | Val | — 32 | — 500 | 1,5 | 0,3 |
| BCY 39 | Val | — 64 | — 500 | 1,5 | 0,3 |
| BCY 40 | Val | — 32 | — 500 | 2,5 | 0,3 |
| BCY 54 | Val | — 50 | — 500 | 2 | 0,3 |
| BCY 55 | Val | + 45 | + 60 | 50 | 0,5 |
| BCY 56 | Val | + 45 | + 200 | 85 | 0,5 |
| BCY 57 | Val | + 25 | + 200 | 100 | 0,5 |
| BCY 58 | Int | + 32 | + 200 | 300 | 0,45 |
| BCY 59 | Int | + 45 | + 200 | 300 | 0,45 |
| BCY 65 | Sie | + 60 | + 200 | 300 | 0,45 |
| BCY 66 | Sie | + 45 | + 200 | 300 | 0,45 |
| BCY 70 | RTC | — 50 | — 200 | 250 | 0,45 |
| BCY 71 | RTC | — 45 | — 200 | 300 | 0,45 |
| BCY 72 | RTC | — 20 | — 200 | 200 | 0,45 |
| BCY 78 | Sie | — 32 | — 200 | 200 | 0,5 |
| BCY 79 | Sie | — 45 | — 200 | 200 | 0,5 |
| BCZ 10 | Val | — 25 | — 50 | 1 | 0,5 |
| BCZ 11 | Val | — 25 | — 50 | 1,5 | 0,5 |
| BCZ 12 | Val | — 60 | — 50 | 1 | 0,5 |
| BDY 10 | Val | + 50 | + 4000 | 1 | 0,04 |
| BDY 11 | Val | + 100 | + 4000 | 1 | 0,04 |
| BDY 12 | Sie | + 60 | + 2000 | 30 | 0,005 ^x) |
| BDY 13 | Sie | + 80 | + 2000 | 30 | 0,005 ^x) |
| BDY 15 | Int | + 36 | + 4000 | 100 | 0,013 ^x) |
| BDY 16 | Int | + 64 | + 4000 | 100 | 0,013 ^x) |
| BDY 17 | RTC | + 80 | + 25000 | 1 | 0,001 ^x) |
| BDY 18 | RTC | + 120 | + 25000 | 1 | 0,001 ^x) |
| BDY 19 | RTC | + 150 | + 25000 | 1 | 0,001 ^x) |
| BDY 20 | RTC | + 100 | + 15000 | 1 | 0,001 ^x) |
| BDY 34 | Tfk | + 60 | + 3000 | 80 | 0,005 ^x) |
| BFW 27 | Tfk | — 40 | — 25 | 850 | 0,52 MOSFET |
| BFW 63 | Fld | + 40 | | 60 | 1 |
| BFW 64 | Fld | + 40 | | 200 | 1 |
| BFW 66 | Fld | + 60 | | 400 | 0,22 |
| BFW 69 | Fld | + 65 | + 1000 | 500 | 0,025 ^x) |
| | | ***) | | | |
| BFW 70 | Fld | — 30***) | | 900 | |
| BFW 71 | Fld | + 60 | | 400 | 0,35 |
| BFW 73 | Fld | + 30 | + 350 | 950 | 0,1 |
| BFW 74 | Fld | + 30 | + 350 | 950 | 0,1 |
| BFW 75 | Fld | + 30 | + 350 | 950 | 0,075 |

| Typ | Her- steller | $U_{CB,max}$ in V | $I_{C,max}$ in mA | f_T in MHz | R_{th} in grd/mW |
|--------|-----------------|----------------------|----------------------|-----------------|-----------------------|
| BFW 76 | Fld | + 30 | + 80 | 1300 | 0,15 |
| BFW 77 | Fld | + 30 | + 80 | 1300 | 0,3 |
| BFW 78 | Fld | + 30 | + 80 | 1500 | 0,75 |
| BFW 79 | Fld | + 30 | + 80 | 1500 | 0,05 |
| BFX 11 | Fld | — 45***) | — 50 | 200 | 0,18 |
| BFX 14 | Fld | + 15***) | + 300 | 200 | 0,18 |
| BFX 15 | Fld | + 40***) | + 10 | 200 | — 0,34 |
| BFX 16 | Fld | + 45***) | + 1000 | 90 | — 0,34 |
| BFX 17 | Fld | + 40***) | + 1000 | 400 | 0,18 |
| BFX 32 | Tfk | + 35 ***) | + 40 | 850 | 0,32 |
| BFX 33 | Tfk | + 55 ***) | + 400 | 800 | 0,035 ^x) |
| BFX 36 | Fld | — 60***) | — 200 | 160 | 0,44 |
| BFX 37 | Fld | — 60***) | — 50 | 60 | |
| BFX 43 | | + 30 | + 250 | 500 | 0,38 |
| BFX 44 | | + 40 | + 250 | 500 | 0,38 |
| BFX 48 | Fld | — 30***) | — 50 | 550 | 0,49 |
| BFX 50 | RTC | + 80 | + 1000 | 150 | 0,32 |
| BFX 51 | RTC | + 60 | + 1000 | 150 | 0,32 |
| BFX 52 | RTC | + 40 | + 1000 | 150 | 0,32 |
| BFX 55 | Sie | + 60 | + 400 | 500 | 0,22 |
| BFX 59 | Sie | + 30 | + 100 | 800 | 0,65 |
| BFX 60 | Sie | + 40 | + 25 | 550 | 0,65 |
| BFX 62 | Sie | + 30 | + 12 | 65 | 1 |
| BFX 78 | Fld | + 15 | > + 16 | | 0,47 |
| BFX 82 | Fld | — 25 | — 12 | | 0,5 |
| BFX 83 | Fld | — 25 | — 30 | | 0,5 ^x) |
| BFX 89 | Tfk | + 28 | + 20 | 1000 | 0,87 |
| BFX 98 | Fld | + 150 | + 100 | 40 | 0,22 |
| BFY 10 | RTC | + 60 | + 50 | 60 | 0,5 |
| BFY 11 | RTC | + 45 | + 50 | 60 | 0,5 |
| BFY 12 | Sie | + 60 | + 500 | 180 | 0,22 |
| BFY 13 | Sie | + 80 | + 350 | 180 | 0,22 |
| BFY 14 | Sie | + 100 | + 250 | 180 | 0,22 |
| BFY 19 | Int | + 30 | + 100 | 400 | 0,5 |
| BFY 20 | Int | + 40 | + 100 | 245 | 0,36 |
| BFY 22 | Int | + 5 | + 50 | 20 | 1,6 |
| BFY 23 | Int | + 5 | + 50 | 20 | 1,6 |
| BFY 24 | Int | + 5 | + 50 | 20 | 1,6 |
| BFY 27 | Tfk | + 70 | | 250 | 0,5 |

MOS-
FET

Doppel-
tran-
sistor

| Typ | Her- steller | U _{CB,max} in V | | I _{C,max} in mA | | f _T in MHz | R _{th} in grd/mW |
|--------|-----------------|-----------------------------|-----|-----------------------------|------|--------------------------|------------------------------|
| BFY 29 | Int | + | 45 | + | 50 | 20 | 1,6 |
| BFY 30 | Int | + | 45 | + | 50 | 20 | 1,6 |
| BFY 33 | Sie | + | 50 | + | 500 | 100 | 0,22 |
| BFY 34 | Sie | + | 75 | + | 500 | 100 | 0,22 |
| BFY 37 | Int | + | 25 | + | 100 | 270 | 0,5 |
| BFY 39 | Val | + | 45 | + | 100 | 150 | 0,5 |
| BFY 40 | Int | + | 60 | + | 800 | 60 | 0,22 |
| BFY 41 | Int | + | 120 | + | 600 | 60 | 0,22 |
| BFY 43 | Int | + | 140 | + | 100 | 60 | 0,19 |
| BFY 44 | Val | + | 80 | + | 1000 | 210 | 0,035 ^x) |
| BFY 45 | Sie | + | 90 | + | 30 | 130 | 0,25 |
| BFY 46 | Sie | + | 75 | + | 500 | 120 | 0,22 |
| BFY 50 | Val | + | 80 | + | 1000 | 60 | 0,22 |
| BFY 51 | Val | + | 60 | + | 1000 | 50 | 0,22 |
| BFY 52 | Val | + | 40 | + | 1000 | 50 | 0,22 |
| BFY 55 | Val | + | 80 | + | 1000 | 60 | 0,22 |
| BFY 56 | Fld | + | 80 | + | 1000 | > 90 | 0,2 |
| BFY 57 | Fld | + | 125 | + | 100 | > 60 | 0,2 |
| BFY 64 | Fld | — | 40 | — | 300 | 250 | 0,22 |
| BFY 65 | Tfk | + | 100 | + | 50 | 50 | 0,22 |
| BFY 66 | Tfk | + | 30 | + | 300 | 600 | 0,88 |
| BFY 67 | Val | + | 75 | + | 1000 | 60 | 0,22 |
| BFY 68 | Val | + | 75 | + | 1000 | 70 | 0,22 |
| BFY 69 | Tfk | + | 25 | + | 100 | 50 | 1,6 |
| BFY 70 | Val | + | 60 | + | 1000 | 210 | 0,035 ^x) |
| BFY 74 | Fld | + | 60 | | | 360 | 0,2 |
| BFY 75 | Fld | + | 60 | + | 50 | 360 | 0,2 |
| BFY 76 | Fld | + | 45 | + | 50 | 55 | 0,3 |
| BFY 77 | Fld | + | 45 | + | 50 | 60 | 0,3 |
| BFY 80 | Tfk | + | 100 | + | 50 | 50 | 0,5 |
| BFY 85 | Tfk | + | 45 | + | 100 | 50 | 0,5 |
| BFY 86 | Tfk | + | 45 | + | 100 | 50 | 0,5 |
| BFY 87 | Tfk | + | 25 | | | 50 | 1,6 |
| BFY 88 | Tfk | + | 40 | + | 25 | 850 | 0,75 |
| BFY 90 | Val | + | 30 | + | 50 | 1000 | 0,88 |
| BFY 91 | Int | + | 45 | | | 60 | 0,42 |
| BFY 92 | Int | + | 45 | | | 60 | 0,42 |
| BFY 99 | Sie | + | 65 | + | 1000 | 500 | 0,04 ^x) |
| BLY 14 | Val | + | 80 | + | 1000 | 190 | 0,02 ^x) |
| BLY 15 | Int | + | 64 | + | 2000 | 180 | 0,013 ^x) |
| BLY 17 | RTC | + | 100 | + | 1000 | 70 | 0,001 ^x) |
| BLY 20 | Val | + | 45 | + | 2000 | 200 | 0,01 |

| Typ | Her- steller | $U_{CB,max}$ in V | $I_{C,max}$ in mA | f_T in MHz | R_{th} in grd/mW |
|--------|-----------------|----------------------|----------------------|-----------------|-----------------------|
| BLY 21 | Val | + 70 | + 2000 | 200 | 0,01 ^x) |
| BLY 22 | Sie | + 65 | + 1500 | 500 | 0,015 ^x) |
| BLY 25 | Fld | + 120 | + 5000 | 80 | 0,0033 ^x) |
| BLY 26 | Fld | + 100 | + 5000 | 80 | 0,003 ^x) |
| BLY 37 | RTC | + 45 | + 3000 | 500 | 0,011 ^x) |
| BLY 72 | Fld | + 60 | + 10000 | 30 | 0,001 ^x) |
| | | ***) | | | |
| BLY 74 | Fld | + 65 | + 1500 | 450 | 0,045 |
| BLY 80 | Tfk | + 40 | + 1000 | 450 | 0,014 |
| BSW 10 | Tfk | + 90 | + 800 | 200 | 0,22 |
| BSW 11 | Tfk | + 25 | + 200 | 400 | 1,6 |
| BSW 12 | Tfk | + 40 | + 200 | 200 | 1,6 |
| BSW 19 | Tfk | — 35 | — 100 | 300 | 0,6 |
| BSW 72 | Int | — 40 | — 500 | 250 | 0,5 |
| BSW 73 | Int | — 40 | — 500 | 250 | 0,5 |
| BSW 74 | Int | — 75 | — 500 | 250 | 0,5 |
| BSW 75 | Int | — 75 | — 500 | 250 | 0,5 |
| BSW 82 | Int | + 40 | + 500 | 250 | 0,5 |
| BSW 83 | Int | + 40 | + 500 | 250 | 0,5 |
| BSW 84 | Int | + 75 | + 500 | 250 | 0,5 |
| BSW 85 | Int | + 75 | + 500 | 250 | 0,5 |
| BSW 88 | Tfk | + 35 | + 200 | 200 | 0,45 |
| BSW 89 | Tfk | + 35 | + 200 | 200 | 0,45 |
| BSX 12 | Fld | + 25 | | 650 | 0,4 |
| BSX 19 | Val | + 40 | + 500 | 400 | 0,48 |
| BSX 20 | Val | + 40 | + 500 | 500 | 0,48 |
| BSX 21 | Val | + 120 | + 50 | 60 | 0,5 |
| BSX 22 | Int | + 40 | + 1500 | 100 | 0,19 |
| BSX 23 | Int | + 90 | + 1500 | 100 | 0,19 |
| BSX 24 | Int | + 32 | + 100 | 200 | 0,5 |
| BSX 25 | Tfk | + 40 | + 300 | 50 | 0,48 |
| BSX 26 | Fld | + 40 | | 550 | 0,4 |
| BSX 27 | Fld | + 15 | + 50 | > 800 | 0,58 |
| BSX 38 | Tfk | + 35 | + 200 | 200 | 0,48 |
| BSX 40 | Int | — 30 | — 500 | 100 | 0,25 |
| BSX 41 | Int | — 30 | — 500 | 150 | 0,25 |
| BSX 44 | RTC | + 15 | + 200 | 600 | 0,5 |
| BSX 45 | Sie | + 40 | + 1000 | 60 | 0,2 |
| BSX 46 | Sie | + 60 | + 1000 | 60 | 0,2 |
| BSX 48 | Sie | + 50 | + 600 | 400 | 0,5 |
| BSX 49 | Sie | + 60 | + 600 | 400 | 0,5 |
| BSX 53 | Tfk | + 35 | + 100 | 200 | 1 |
| BSX 54 | Tfk | + 50 | + 100 | 200 | 1 |

| Typ | Her- steller | U _{CB,max} in V | I _{C,max} in mA | f _T in MHz | R _{th} in grd/mW |
|--------|-----------------|-----------------------------|-----------------------------|--------------------------|------------------------------|
| BSX 59 | RTC | + 70 | + 800 | 250 | 0,68 |
| BSX 60 | RTC | + 70 | + 800 | 250 | 0,68 |
| BSX 61 | RTC | + 70 | + 800 | 250 | 0,68 |
| BSX 62 | Sie | + 40 | + 2000 | 30 | 0,2 |
| BSX 63 | Sie | + 60 | + 2000 | 30 | 0,2 |
| BSX 66 | Val | + 30 | + 200 | 200 | 0,5 |
| BSX 67 | Val | + 30 | + 200 | 200 | 0,5 |
| BSX 70 | Val | + 75 | + 1000 | 100 | 0,35 |
| BSX 71 | Val | + 75 | + 1000 | 100 | 0,35 |
| BSX 72 | Tfk | + 40 | + 1000 | 250 | 0,26 |
| BSX 73 | Tfk | + 60 | + 800 | 250 | 0,19 |
| BSX 74 | Tfk | + 60 | + 800 | 250 | 0,19 |
| BSX 75 | Tfk | + 40 | + 800 | 200 | 0,19 |
| BSX 79 | Tfk | + 50 | + 200 | 200 | 0,48 |
| BSX 80 | Tfk | + 35 | + 200 | 300 | 0,45 |
| BSX 81 | Tfk | + 35 | + 200 | 200 | 0,45 |
| BSX 95 | Val | + 75 | + 1000 | 100 | 0,22 |
| BSX 96 | Val | + 75 | + 1000 | 100 | 0,22 |
| BSY 10 | RTC | + 60 | + 50 | 60 | 0,5 |
| BSY 11 | RTC | + 45 | + 50 | 60 | 0,5 |
| BSY 17 | Sie | + 20 | + 200 | 280 | 0,5 |
| BSY 18 | Sie | + 20 | + 200 | 280 | 0,5 |
| BSY 19 | Int | + 40 | + 200 | 300 | 0,48 |
| BSY 21 | Int | + 40 | + 300 | 300 | 0,48 |
| BSY 34 | Sie | + 60 | + 600 | 400 | 0,22 |
| BSY 38 | Val | + 20 | + 200 | 350 | 0,5 |
| BSY 39 | Val | + 20 | + 200 | 350 | 0,5 |
| BSY 44 | Tfk | + 75 | + 1000 | 60 | 0,22 |
| BSY 45 | Tfk | + 120 | + 1000 | 50 | 0,22 |
| BSY 46 | Tfk | + 80 | + 1000 | 50 | 0,22 |
| BSY 51 | Tfk | + 60 | + 500 | 100 | 0,22 |
| BSY 52 | Int | + 60 | + 500 | 130 | 0,22 |
| BSY 53 | Int | + 75 | + 750 | 100 | 0,22 |
| BSY 54 | Int | + 75 | + 750 | 145 | 0,22 |
| BSY 55 | Int | + 120 | + 500 | 100 | 0,22 |
| BSY 56 | Int | + 120 | + 500 | 145 | 0,22 |
| BSY 58 | Sie | + 50 | + 600 | 400 | 0,22 |
| BSY 61 | Sie | + 25 | + 200 | 200 | 0,5 |
| BSY 62 | Sie | + 25 | + 200 | 200 | 0,5 |
| BSY 63 | Sie | + 40 | + 200 | 300 | 0,5 |
| BSY 68 | RTC | + 120 | + 50 | 20 | 0,5 |
| BSY 70 | Tfk | + 25 | + 300 | 200 | 0,5 |
| BSY 71 | Tfk | + 75 | + 1000 | 70 | 0,22 |

| Typ | Her- steller | $U_{CB,max}$ in V | $I_{C,max}$ in mA | f_T in MHz | R_{th} in grd/mW |
|----------|-----------------|----------------------|----------------------|------------------|-----------------------|
| BSY 72 | Int | + 25 | + 30 | 170 | 0,5 |
| BSY 73 | Int | + 25 | + 100 | 145 | 0,5 |
| BSY 74 | Int | + 25 | + 100 | 170 | 0,5 |
| BSY 75 | Int | + 40 | + 250 | 145 | 0,5 |
| BSY 76 | Int | + 40 | + 250 | 170 | 0,5 |
| BSY 77 | Int | + 80 | + 250 | 145 | 0,5 |
| BSY 78 | Int | + 80 | + 250 | 170 | 0,5 |
| BSY 79 | Int | + 120 | + 30 | 100 | 0,5 |
| BSY 80 | Int | + 25 | + 100 | 210 | 0,5 |
| BSY 81 | Int | + 40 | + 1000 | 100 | 0,194 |
| BSY 82 | Int | + 40 | + 1000 | 120 | 0,194 |
| BSY 83 | Int | + 80 | + 1000 | 100 | 0,194 |
| BSY 84 | Int | + 80 | + 1000 | 120 | 0,194 |
| BSY 85 | Int | + 120 | + 1000 | 110 | 0,194 |
| BSY 86 | Int | + 120 | + 1000 | 130 | 0,194 |
| BSY 87 | Int | + 100 | + 500 | 100 | 0,22 |
| BSY 88 | Int | + 100 | + 500 | 145 | 0,22 |
| BSY 89 | Int | + 25 | + 100 | 40 | 0,5 |
| BSY 90 | Int | + 60 | + 500 | 170 | 0,22 |
| BSY 91 | Tfk | + 40 | + 300 | 50 | 0,22 |
| BSY 92 | Tfk | + 60 | + 300 | 50 | 0,22 |
| BSY 93 | Tfk | + 60 | + 300 | 50 | 0,48 |
| BSY 95 A | Int | + 20 | + 100 | 200 | 0,5 |
| BUY 12 | Sie | + 210 | + 10000 | 11 | 0,0015 ^x) |
| BUY 13 | Sie | + 120 | + 10000 | 11 | 0,0015 ^x) |
| BUY 14 | Sie | + 60 | + 8000 | 11 | 0,003 ^x) |
| BUY 16 | Fld | + 150 | + 10000 | 10 ^{**} | 0,0066 ^x) |
| BUY 17 | Fld | + 120 | + 10000 | 100 | 0,0066 ^x) |

*) f_β **) f_x ***) $U_{CE,max}$

^x) gegen Gehäuse gemessen (R_{thG}) ^{xx}) $U_{(BR)CB,max}$

^{xxx}) f_{max}

4.3. Halbleiteräquivalenzliste

Tabelle 4.7. Halbleiterbauelemente-Äquivalenzliste

| Bauelement | Äquivalenztyp | Band/Seite |
|------------|---------------|------------|
| 1 N 14 | OA 90 | II/36 |
| 1 N 65 | OA 150 | II/36 |
| 1 N 4151 | BAY 94 | |
| 2 N 320 | AC 105 | II/50 |
| 2 N 321 | AC 131 | II/51 |
| 2 N 377 | ASY 26 | III/83 |
| 2 N 395 | OC 46 | |
| 2 N 396 | OC 47 | |
| 2 N 697 | BSY 51 | III/89 |
| 2 N 706 | BSY 70 | III/89 |
| 2 N 708 | BSY 19 | III/89 |
| 2 N 709 | BSX 44 | III/89 |
| 2 N 914 | BSY 21 | III/89 |
| 2 N 915 | BFY 27 | III/86 |
| 2 N 918 | BFY 66 | III/87 |
| 2 N 1613 | BFY 67 | III/87 |
| 2 N 1711 | BSY 54 | III/89 |
| 2 N 1890 | BSY 88 | III/90 |
| 2 N 1893 | BF 109 | II/56 |
| 2 N 1889 | BSY 87 | III/90 |
| 2 N 2193 | BSY 46 | III/89 |
| 2 N 2297 | BFY 55 | III/87 |
| 2 N 2368 | BSX 19 | III/88 |
| 2 N 2369 | BSX 20 | III/88 |
| 2 N 2410 | BSX 59 | III/89 |
| 2 N 2475 | BSX 44 | III/88 |
| 2 N 3055 | BDY 20 | III/85 |
| 2 N 3252 | BSX 60 | III/89 |

5. DDR-Halbleiterbauelemente

Beim Ersatz von ausländischen Halbleiterbauelementen sind oft die wichtigsten Daten unserer eigenen Produkte erforderlich, um den günstigsten Ersatztyp zu finden, der im speziellen Falle in seinen Daten dem zu ersetzenden Typ am nächsten kommt. Aus diesem Grunde enthalten Tabelle 5.1. und Tabelle 5.2. die Daten der Transistoren vom Kombinat VEB *Halbleiterwerk* Frankfurt (Oder) und der Halbleiterdioden vom VEB *Werk für Fernsehelektronik*.

Diese Tabellen entstanden aus dem offiziellen Material unserer Halbleiterindustrie zum Zeitpunkt des Jahreswechsels 1968/69. Sie sagen nichts aus über Fertigungs- und Entwicklungsstand, Liefer- und Beschaffungsmöglichkeiten. Soweit bei den betreffenden Bauelementen zum genannten Zeitpunkt noch keine Serienproduktion erfolgte, geben Tabelle 5.1. und Tabelle 5.2. die vorläufigen Daten wieder.

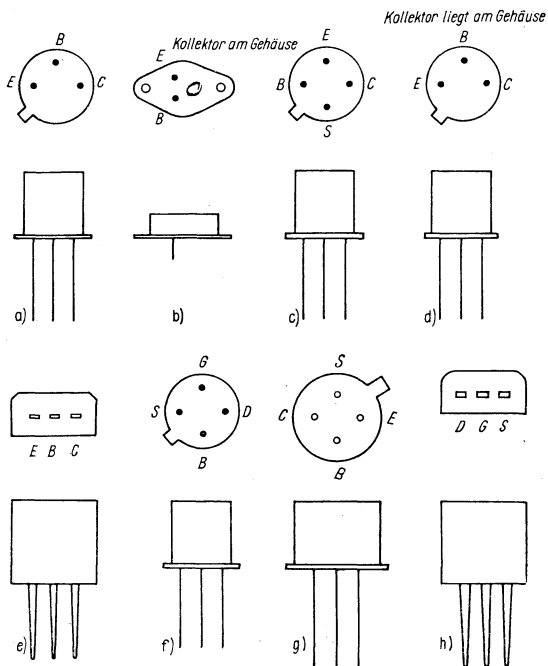


Bild 5.1 Sockelschaltungen der DDR-Transistoren (s. Tabelle 5.2.).

Tabelle 5.1. Daten der Halbleiterdioden aus der DDR-Produktion

| Typ | $-U_R, \text{max}$ in V | $-I_R, \text{max}$ in μA | I_F, max in mA | I_F, s, max in mA | P_v, max in mW | Material |
|------------|------------------------------------|----------------------------------|----------------------------|-------------------------------|----------------------------|----------|
| GA 100 | Elektrische Daten wie bei OA 625 | | | | | Ge |
| GA 101 | Elektrische Daten wie bei OA 645 | | | | | Ge |
| GA 102 | Elektrische Daten wie bei OA 665 | | | | | Ge |
| GA 103 | Elektrische Daten wie bei OA 685 | | | | | Ge |
| GA 104 | Elektrische Daten wie bei OA 705 | | | | | Ge |
| GA 105 | Elektrische Daten wie bei OA 626 | | | | | Ge |
| GA 106 | Elektrische Daten wie bei OA 647 | | | | | Ge |
| GA 107 | Elektrische Daten wie bei OA 666 | | | | | Ge |
| GA 108 | Elektrische Daten wie bei OA 686 | | | | | Ge |
| 2 GA 109*) | Elektrische Daten wie bei 2 OA 646 | | | | | Ge |
| 2 GA 113*) | 40 | 300 | | 30 | | Ge |
| 4 GA 114*) | 25 | 1000 | | | | Ge |
| GAZ 14 | 25 | | 20 | | | Ge |
| GAZ 15 | 25 | | 20 | | | Ge |
| GAZ 16 | 25 | | 20 | | | Ge |
| GAZ 17 | 25 | | 20 | | | Ge |
| OA 601 | 5 | 1000 | 15 | 20 | 150 | Ge |
| OA 602 | 5 | 1000 | 15 | 20 | 150 | Ge |
| OA 603 | 10 | 1000 | 20 | 30 | 300 | Ge |
| OA 604 | 10 | 1000 | 20 | 30 | 300 | Ge |
| OA 605 | 20 | 1000 | 20 | 30 | 350 | Ge |
| OA 625 | 22 | 500 | 20 | 45 | | Ge |

| | | | | | |
|-------------|-----|------|----|-----|----|
| OA 626 | 22 | 500 | 20 | 45 | Ge |
| OA 645 | 40 | 400 | 15 | 45 | Ge |
| 2 OA 646*) | 40 | 300 | 15 | 45 | Ge |
| OA 647 | 25 | | | 30 | Ge |
| O 4 A 647*) | 25 | 1000 | | 30 | Ge |
| O 4 A 657*) | | 300 | 15 | 45 | Ge |
| OA 665 | 60 | 350 | 12 | 45 | Ge |
| OA 666 | 60 | 70 | | 150 | Ge |
| OA 685 | 80 | 250 | 10 | 45 | Ge |
| OA 686 | 80 | 100 | 20 | 45 | Ge |
| OA 705 | 110 | 200 | 10 | 45 | Ge |
| OA 720 | 20 | 1000 | 50 | 150 | Ge |
| OA 721 | 20 | 1000 | 75 | 200 | Ge |
| OA 741 | 40 | 500 | 75 | 200 | Ge |
| OA 780 | 80 | 250 | 50 | 150 | Ge |
| OA 900 | 25 | 5 | | 250 | Si |
| OA 901 | 50 | 5 | | 250 | Si |
| OA 902 | 75 | 5 | | 250 | Si |
| OA 903 | 150 | 5 | | 250 | Si |
| OA 904 | 250 | 5 | | 250 | Si |
| OA 905 | 350 | 5 | | 250 | Si |

*) Werte je Diode

| Typ | Material | $-U_R, \max$ in V | $-I_R, \max$ in μA | I_F, \max in mA | P_V, \max in mW | Verwendung |
|---------------------|----------|--|----------------------------|--------------------------|----------------------|------------------|
| OA 910 | Si | 25 | 0,1 | 10 ... 35 ⁵ | 250 | Abstimm-diode |
| SA 128 | Si | 25 | 0,1 ¹ | 10 ... 25 ⁵ | 250 | Abstimm-diode |
| SA 129 ⁸ | Si | 30 | 5*) | 2,2 ... 3,2 ⁷ | | Abstimm-diode |
| SA 130 ⁸ | Si | 30 | 5*) | 2,2 ... 3,2 ⁷ | | Abstimm-diode |
| SA 131 ⁸ | Si | 25 | 5*) | 45 ... 65 ¹⁴ | | Abstimm-diode |
| SAY 10 | Si | 50 | 0,05 | 175 | 300 | Schalt-diode |
| SAY 11 | Si | 25 | 0,07 | 115 | 300 | Schalt-diode |
| SAY 12 | Si | 50 | 0,1 | 300 | 430 | Schalt-diode |
| SAY 13 | Si | 25 | 0,04 | 75 | 300 | Schalt-diode |
| SAY 14 | Si | 25 | 0,07 | 115 | 300 | Schalt-diode |
| SAY 15 | Si | 15 | 0,05 | 75 | 300 | Schalt-diode |
| SAY 16 | Si | 30 | 0,1 | 300 | 430 | Schalt-diode |
| SAY 30 | Si | 25 | 0,04 | 50 | 150 | Schalt-diode |
| 2 ... 6 SAY 30 | Si | bis zu 5 Dioden, denen eine weitere Diode in Reihe geschaltet ist, haben einen gemeinsamen Katodenanschluß | | | | Daten wie SAY 10 |
| 2 ... 6 SAY 31 | Si | | | | | Daten wie SAY 11 |
| 2 ... 6 SAY 32 | Si | | | | | Daten wie SAY 12 |
| 2 ... 6 SAY 33 | Si | | | | | Daten wie SAY 13 |
| 2 ... 6 SAY 34 | Si | | | | | Daten wie SAY 14 |
| 2 ... 6 SAY 35 | Si | | | | | Daten wie SAY 15 |
| 2 ... 6 SAY 36 | Si | | | | | Daten wie SAY 16 |
| 1 ... 5 SAY 40 | Si | bis zu 5 Dioden haben einen gemeinsamen Katodenanschluß | | | | Daten wie SAY 10 |
| 1 ... 5 SAY 40 A | Si | | | | | Daten wie SAY 10 |
| 1 ... 5 SAY 41 | Si | | | | | Daten wie SAY 11 |

| | | | | | |
|---|----|---|------|-----------------------|------------------|
| 1 ... 5 SAY 41 A | Si | bis zu 5 Dioden haben einen gemeinsamen Anodenanschluß | | | Daten wie SAY 11 |
| 1 ... 5 SAY 42 | Si | bis zu 5 Dioden haben einen gemeinsamen Katodenanschluß | | | Daten wie SAY 12 |
| 1 ... 5 SAY 42 A | Si | bis zu 5 Dioden haben einen gemeinsamen Anodenanschluß | | | Daten wie SAY 12 |
| 1 ... 5 SAY 43 | Si | bis zu 5 Dioden haben einen gemeinsamen Katodenanschluß | | | Daten wie SAY 13 |
| 1 ... 5 SAY 43 A | Si | bis zu 5 Dioden haben einen gemeinsamen Anodenanschluß | | | Daten wie SAY 13 |
| 1 ... 5 SAY 44 | Si | bis zu 5 Dioden haben einen gemeinsamen Katodenanschluß | | | Daten wie SAY 14 |
| 1 ... 5 SAY 44 A | Si | bis zu 5 Dioden haben einen gemeinsamen Anodenanschluß | | | Daten wie SAY 14 |
| 1 ... 5 SAY 45 | Si | bis zu 5 Dioden haben einen gemeinsamen Katodenanschluß | | | Daten wie SAY 15 |
| 1 ... 5 SAY 45 A | Si | bis zu 5 Dioden haben einen gemeinsamen Anodenanschluß | | | Daten wie SAY 15 |
| 1 ... 5 SAY 46 | Si | bis zu 5 Dioden haben einen gemeinsamen Katodenanschluß | | | Daten wie SAY 16 |
| 1 ... 5 SAY 46 A | Si | bis zu 5 Dioden haben einen gemeinsamen Anodenanschluß | | | Daten wie SAY 16 |
| SAY 50 | Si | 50 | 0,04 | 40 | |
| SAY 52 | Si | 25 | 0,04 | 50 | 150 |
| SAY 62 | Si | 20 | 0,06 | 60 | |
| (Die Dioden SAY 50, SAY 52 und SAY 62 werden paarweise mit verbundener Katode geliefert.) | | | | | |
| SAZ 12 | Si | 18 | 10 | 1 ... 5 ¹⁵ | Kapazitätsdiode |
| SAZ 13 | Si | 18 | 10 | 1 ... 5 ¹⁵ | Kapazitätsdiode |
| SY 100 ^s | Si | | | | |
| SY 120 ^s | Si | 75 | 10 | 800 | Gleichrichter |
| SY 101 ^s | Si | 100 | 10 | 800 | Gleichrichter |
| SY 121 ^s | Si | | | | |
| SY 102 ^s | Si | 200 | 10 | 800 | Gleichrichter |
| SY 122 ^s | Si | 300 | 10 | 800 | Gleichrichter |
| SY 103 ^s | Si | | | | |
| SY 123 ^s | Si | 400 | 10 | 800 | Gleichrichter |
| SY 104 ^s | Si | | | | |
| SY 124 ^s | Si | | | | |

| Typ | Material | $-U_R, \text{max}$ in V | $-I_R, \text{max}$ in μA | I_F, max in mA | P_V, max in mW | Verwendung |
|--|----------|----------------------------|----------------------------------|----------------------------|----------------------------|---------------|
| SY 105 ^s | Si | | | | | |
| SY 125 ^s | Si | 500 | 10 | 800 | | Gleichrichter |
| SY 106 ^s | Si | 600 | 10 | 800 | | Gleichrichter |
| SY 126 ^s | Si | | | | | |
| SY 107 ^s | Si | 700 | 10 | 800 | | Gleichrichter |
| SY 127 ^s | Si | | | | | |
| SY 108 ^s | Si | 800 | 10 | 800 | | Gleichrichter |
| SY 128 ^s | Si | | | | | |
| SY 110 ^s | Si | 1000 | 10 | 800 | | Gleichrichter |
| SY 130 ^s | Si | | | | | |
| (Bei der Typenreihe SY 100 bis SY 110 ist die Katode, bei der Typenreihe SY 120 bis SY 130 die Anode am Gehäuse.) | | | | | | |
| SY 160 | Si | 50 | (3) | (30) | | Gleichrichter |
| SY 162 | Si | 200 | (3) | (30) | | Gleichrichter |
| SY 164 | Si | 400 | (3) | (30) | | Gleichrichter |
| SY 166 | Si | 600 | (3) | (30) | | Gleichrichter |
| SY 170 | Si | 100 | (8) | (25) | | Gleichrichter |
| SY 171 | Si | | | | | |
| SY 172 | Si | 200 | (6) | (25) | | Gleichrichter |
| SY 173 | Si | | | | | |
| (Bei der Typenreihe SY 170 bis SY 172 ist die Katode, bei der Typenreihe SY 171 bis SY 173 die Anode mit dem Gehäuse verbunden.) | | | | | | |
| SY 200 | Si | | | | | |

| | | | | | |
|--------|----|--------------------|-------------------|-----|---------------|
| SY 220 | Si | 75 | 150 | 700 | Gleichrichter |
| SY 201 | Si | 100 | 150 | 700 | Gleichrichter |
| SY 221 | Si | 200 | 250 | 700 | Gleichrichter |
| SY 202 | Si | 300 | 150 | 700 | Gleichrichter |
| SY 222 | Si | 400 | 150 | 770 | Gleichrichter |
| SY 203 | Si | 500 | 150 | 700 | Gleichrichter |
| SY 223 | Si | 600 | 150 | 700 | Gleichrichter |
| SY 204 | Si | 700 | 150 | 700 | Gleichrichter |
| SY 224 | Si | 800 | 150 | 700 | Gleichrichter |
| SY 205 | Si | 1000 | 150 | 700 | Gleichrichter |
| SY 225 | Si | 0,75 ⁹ | 1,5 ¹² | | Gleichrichter |
| SY 206 | Si | 5,15 ¹⁴ | 5 ¹² | | Gleichrichter |
| SY 226 | Si | 5,65 ¹⁴ | 2 ¹² | | Gleichrichter |
| SY 207 | Si | 6,2 ¹⁴ | 2 ¹² | | Gleichrichter |
| SY 227 | Si | 6,85 ¹⁴ | 2 ¹² | | Gleichrichter |
| SY 208 | Si | 7,5 ¹⁴ | 2 ¹² | | Gleichrichter |
| SY 228 | Si | | | | Gleichrichter |
| SY 210 | Si | | | | Gleichrichter |
| SY 230 | Si | | | | Gleichrichter |

(Bei der Typenreihe SY 200 bis SY 210 ist die Katode, bei der Typenreihe SY 220 bis SY 230 die Anode am Gehäuse.)

| | | | | | |
|--------|----|--------------------|-------------------|-------------------|-------------------|
| SZ 501 | Si | 0,75 ⁹ | 1,5 ¹² | (1) ¹³ | Leistungs-Z-Diode |
| SZ 504 | Si | 5,15 ¹⁴ | 5 ¹² | (1) ¹³ | Leistungs-Z-Diode |
| SZ 505 | Si | 5,65 ¹⁴ | 2 ¹² | (1) ¹³ | Leistungs-Z-Diode |
| SZ 555 | Si | 6,2 ¹⁴ | 2 ¹² | (1) ¹³ | Leistungs-Z-Diode |
| SZ 506 | Si | 6,85 ¹⁴ | 2 ¹² | (1) ¹³ | Leistungs-Z-Diode |
| SZ 507 | Si | 7,5 ¹⁴ | 2 ¹² | (1) ¹³ | Leistungs-Z-Diode |

| Typ | Material | $-U_R, \max$ in V | $-I_R, \max$ in μA | I_F, \max in mA | P_V, \max in mW | Verwendung |
|------------|----------|----------------------|----------------------------|----------------------|----------------------|-------------------|
| SZ 508 | Si | 8,35 ¹⁴ | 2 ¹² | | (1) ¹³ | Leistungs-Z-Diode |
| SZ 509 | Si | 9,05 ¹⁴ | 4 ¹² | | (1) ¹³ | Leistungs-Z-Diode |
| SZ 510 | Si | 10,0 ¹⁴ | 4 ¹² | | (1) ¹³ | Leistungs-Z-Diode |
| SZ 511 | Si | 11,0 ¹⁴ | 7 ¹² | | (1) ¹³ | Leistungs-Z-Diode |
| SZ 512 | Si | 12,05 ¹⁴ | 7 ¹² | | (1) ¹³ | Leistungs-Z-Diode |
| SZ 513 | Si | 13,25 ¹⁴ | 11 ¹² | | (1) ¹³ | Leistungs-Z-Diode |
| SZ 515 | Si | 14,8 ¹⁴ | 11 ¹² | | (1) ¹³ | Leistungs-Z-Diode |
| SZ 516 | Si | 16,15 ¹⁴ | 15 ¹² | | (1) ¹³ | Leistungs-Z-Diode |
| SZ 518 | Si | 17,9 ¹⁴ | 15 ¹² | | (1) ¹³ | Leistungs-Z-Diode |
| SZ 520 | Si | 19,9 ¹⁴ | 15 ¹² | | (1) ¹³ | Leistungs-Z-Diode |
| SZ 522 | Si | 21,9 ¹⁴ | 15 ¹² | | (1) ¹³ | Leistungs-Z-Diode |
| SZX 18/1 | Si | 0,75 | 8 ¹⁰ | | 250 | Z-Diode |
| SZX 18/5,6 | Si | 5,6 ¹¹ | 65 ¹⁰ | | 250 | Z-Diode |
| SZX 18/6,8 | Si | 6,8 ¹¹ | 10 ¹⁰ | | 250 | Z-Diode |
| SZX 18/8,2 | Si | 8,2 ¹¹ | 8 ¹⁰ | | 250 | Z-Diode |
| SZX 18/10 | Si | 10 ¹¹ | 17 ¹⁰ | | 250 | Z-Diode |
| SZX 18/12 | Si | 12 ¹¹ | 30 ¹⁰ | | 250 | Z-Diode |
| SZX 18/15 | Si | 15 ¹¹ | 40 ¹⁰ | | 250 | Z-Diode |
| SZX 18/22 | Si | 22 ¹¹ | 90 ¹⁰ | | 250 | Z-Diode |
| SZX 19/5,1 | Si | 5,1 ¹¹ | 75 ¹⁰ | | 250 | Z-Diode |
| SZX 19/5,6 | Si | 5,6 ¹¹ | 60 ¹⁰ | | 250 | Z-Diode |
| SZX 19/6,2 | Si | 6,2 ¹¹ | 35 ¹⁰ | | 250 | Z-Diode |
| SZX 19/6,8 | Si | 6,8 ¹¹ | 8 ¹⁰ | | 250 | Z-Diode |

| | | | | | | | |
|-------------|----|-------------------|------------------|-------|--|-----------------|-----|
| SZX 19/7,5 | Si | 7,5 ¹¹ | 7 ¹⁰ | | | Z-Diode | 250 |
| SZX 19/8,2 | Si | 8,2 ¹¹ | 7 ¹⁰ | | | Z-Diode | 250 |
| SZX 19/9,1 | Si | 9,1 ¹¹ | 10 ¹⁰ | | | Z-Diode | 250 |
| SZX 19/10 | Si | 10 ¹¹ | 15 ¹⁰ | | | Z-Diode | 250 |
| SZX 19/11 | Si | 11 ¹¹ | 20 ¹⁰ | | | Z-Diode | 250 |
| SZX 19/12 | Si | 12 ¹¹ | 20 ¹⁰ | | | Z-Diode | 250 |
| SZX 19/13 | Si | 13 ¹¹ | 30 ¹⁰ | | | Z-Diode | 250 |
| SZX 19/15 | Si | 15 ¹¹ | 35 ¹⁰ | | | Z-Diode | 250 |
| SZX 19/16 | Si | 16 ¹¹ | 40 ¹⁰ | | | Z-Diode | 250 |
| SZX 19/18 | Si | 18 ¹¹ | 50 ¹⁰ | | | Z-Diode | 250 |
| SZX 19/20 | Si | 20 ¹¹ | 80 ¹⁰ | | | Z-Diode | 250 |
| SZX 19/22 | Si | 22 ¹¹ | 80 ¹⁰ | | | Z-Diode | 250 |
| SZX 19/24 | Si | 24 ¹¹ | 80 ¹⁰ | | | Z-Diode | 250 |
| SZY 21 | Si | 8,4 ¹¹ | 25 ¹⁰ | 10 | | Referenzelement | 100 |
| SZY 22 | Si | 8,4 ¹¹ | 25 ¹⁰ | | | Referenzelement | 100 |
| SZY 23 | Si | 8,4 ¹¹ | 25 ¹⁰ | | | Referenzelement | 100 |
| VSF 200/0,5 | Si | 50 | (10) | (200) | | Gleichrichter | |
| VSF 200/1 | Si | 100 | (10) | (200) | | Gleichrichter | |
| VSF 200/2 | Si | 200 | (10) | (200) | | Gleichrichter | |
| VSF 200/3 | Si | 300 | (10) | (200) | | Gleichrichter | |
| VSF 200/4 | Si | 400 | (10) | (200) | | Gleichrichter | |
| VSF 200/5 | Si | 500 | (10) | (200) | | Gleichrichter | |
| VSF 200/6 | Si | 600 | (10) | (200) | | Gleichrichter | |
| VSF 203/0,5 | Si | 50 | (7) | (300) | | Gleichrichter | |
| VSF 203/1 | Si | 100 | (7) | (300) | | Gleichrichter | |

| Typ | Material | $-U_R, \text{max}$ in V | $-I_R, \text{max}$ in μA | I_F, max in mA | P_V, max in mW | Verwendung |
|------------------------|----------|----------------------------|--|----------------------------|----------------------------|---------------|
| VSF 203/2 | Si | 200 | (7) | (300) | | Gleichrichter |
| VSF 203/3 | Si | 300 | (7) | (300) | | Gleichrichter |
| VSF 203/4 | Si | 400 | (7) | (300) | | Gleichrichter |
| VSF 203/5 | Si | 500 | (7) | (300) | | Gleichrichter |
| VSF 203/6 | Si | 600 | (7) | (300) | | Gleichrichter |
| VSF 203/8 ⁸ | Si | 800 | (10) | (200) | | Gleichrichter |
| ZA 250/1 | Si | 0,75 ⁹ | 20 ¹² | | 250 | Z-Diode |
| ZA 250/5 | Si | 5,0 ¹⁴ | 150 ¹² | | 250 | Z-Diode |
| ZA 250/6 | Si | 6,0 ¹⁴ | 110 ¹² | | 250 | Z-Diode |
| ZA 250/7 | Si | 7,0 ¹⁴ | 25 ¹² | | 250 | Z-Diode |
| ZA 250/8 | Si | 8,0 ¹⁴ | 30 ¹² | | 250 | Z-Diode |
| ZA 250/9 | Si | 9,0 ¹⁴ | 35 ¹² | | 250 | Z-Diode |
| ZA 250/10 | Si | 10,0 ¹⁴ | 40 ¹² | | 250 | Z-Diode |
| ZA 250/11 | Si | 11,0 ¹⁴ | 50 ¹² | | 250 | Z-Diode |
| ZA 250/12 | Si | 12,05 ¹⁴ | 70 ¹² | | 250 | Z-Diode |
| ZA 250/14 | Si | 14,5 ¹⁴ | 90 ¹² | | 250 | Z-Diode |
| ZA 250/18 | Si | 18,0 ¹⁴ | 135 ¹² | | 250 | Z-Diode |
| ZA 250/24 | Si | 22,5 ¹⁴ | 200 ¹² | | 250 | Z-Diode |

¹ bei $U_R = -10\text{ V}$ ² Scheiteldurchlaßstrom bei $f = 25\text{ Hz}$ ⁵ bei $U_R = -10\text{ V}$ ⁶ bei $U_R = -2\text{ V}$ ⁷ bei $U_R = -25\text{ V}$ ⁸ nicht mehr in den Katalogen 1969

enthalten

⁹ Stabilisationsspannung, die Diode

ist zu den üblichen Z-Dioden

umgekehrt gepolt

¹⁰ Z-Widerstand bei $I_Z = 5\text{ mA}$ ¹¹ Z-Spannung bei $I_Z = 5\text{ mA}$ ¹² mittlerer Z-Widerstand¹³ Leistung ohne Kühlblech¹⁴ mittlere Z-Spannung¹⁵ Kapazität bei $-U_R = 6\text{ V}$

*Tabelle 5.2. Daten der Transistoren aus der DDR-Produktion
(Stand 1969)*

| Typ | $U_{CB,max}$ in V | $I_{C,max}$ in mA | R_{th} in grd/mW (grd/W) | $f_{T,min}$ in MHz | Ähnlicher Typ | Sockel in Bild 5.1 |
|-----------------------|----------------------|----------------------|----------------------------------|-----------------------|------------------|--------------------------|
| GC 100 | — 15 | — 15 | 1 | 1*) | GC 101 | a |
| GC 101 | — 15 | — 15 | 1 | 1*) | GC 100 | a |
| GC 102 ^x) | — 15 | — 50 | 0,5 | 6 | GC 103 | a |
| GC 103 ^x) | — 9**) | — 15 | 0,5 | 1,2 | GC 100 | a |
| GC 104 ^x) | — 9**) | — 15 | 0,5 | 1,2 | GC 101 | a |
| GC 111 ^x) | — 80**) | — 125 | 0,43 | 0,2 | GC 112 | a |
| GC 112 | — 80**) | — 155 | 0,38 | 0,3 | GC 111 | a |
| GC 115 | — 20 | — 150 | 0,43 | 0,5 | GC 116 | a |
| GC 116 | — 20 | — 150 | 0,38 | 0,75 | GC 115 | a |
| GC 117 | — 25 | — 150 | 0,38 | 1,2 | GC 118 | a |
| GC 118 | — 25 | — 150 | 0,38 | 1,2 | GC 117 | a |
| GC 120 ^x) | — 20 | — 150 | 0,43 | 0,5 | GC 121 | a |
| GC 121 | — 25 | — 250 | 0,38 | 0,012***) | GC 120 | a |
| GC 122 | — 35 | — 250 | 0,38 | 0,012***) | GC 123 | a |
| GC 123 | — 70 | — 250 | 0,38 | 0,012***) | (GC 122) | a |
| GC 216 ^x) | — 20 | — 100 | 0,67 | 0,5 | GC 217 | a |
| GC 217 ^x) | — 20 | — 100 | 0,67 | 0,5 | GC 216 | a |
| GC 221 ^x) | — 20 | — 100 | 0,67 | 0,5 | GC 216 | a |
| GC 223 ^x) | — 66 | — 100 | 0,67 | 0,5 | (GC 216) | a |
| GC 300 ^x) | — 20 | — 500 | 0,075 | 0,01***) | GC 301 | a |
| GC 301 | — 32 | — 500 | 0,075 | 0,01***) | (GC 300) | a |
| GD 100 | — 20 | — 1300 | (15) | 0,06 | GC 110 | b |
| GD 110 | — 20 | — 1300 | (15) | 0,1 | GD 120 | b |
| GD 120 | — 33 | — 1300 | (15) | 0,1 | GD 125 | b |
| GD 125 | — 66 | — 1300 | (15) | 0,1 | GD 130 | b |
| GD 130 | — 66 | — 1300 | (15) | 0,1 | GD 125 | b |
| GD 150 | — 20 | — 3000 | (7,5) | 0,2 | GD 160 | b |
| GD 160 | — 20 | — 3000 | (7,5) | 0,2 | GD 170 | b |
| GD 170 | — 33 | — 3000 | (7,5) | 0,2 | GD 175 | b |
| GD 175 | — 50 | — 3000 | (7,5) | 0,2 | GD 180 | b |
| GD 180 | — 66 | — 3000 | (7,5) | 0,2 | (GD 175) | b |
| GD 190 ^x) | — 30 | — 1500 | (10) | 0,35 | GD 191 | b |
| GD 191 ^x) | — 40 | — 1500 | (10) | 0,35 | GD 192 | b |
| GD 192 ^x) | — 50 | — 1500 | (10) | 0,35 | (GD 191) | b |
| GD 200 ^x) | — 30 | — 6000 | (2) | 0,2 | GD 210 | b |
| GD 210 ^x) | — 60 | — 6000 | (2) | 0,2 | GD 220 | b |
| GD 220 ^x) | — 80 | — 6000 | (2) | 0,2 | (GD 210) | b |
| GD 240 | — 30 | — 3000 | (4) | 0,45 | GD 241 | b |
| GD 241 | — 40 | — 3000 | (4) | 0,45 | GD 242 | b |
| GD 242 | — 50 | — 3000 | (4) | 0,45 | GD 243 | b |

| Typ | $U_{CB,max}$ in V | $I_{C,max}$ in mA | R_{th} in grd/mW (grd/W) | $f_{T,min}$ in MHz | Ähnlicher Typ | Sockel in Bild 5.1 |
|-----------------------|----------------------|----------------------|----------------------------------|-----------------------|------------------|--------------------------|
| GD 243 | — 65 | — 3000 | (4) | 0,45 | GD 244 | b |
| GD 244 | — 75 | — 3000 | (4) | 0,45 | (GD 244) | b |
| GF 100 | — 15 | — 15 | 0,5 | 3*) | GF 105 | a |
| GF 105 | — 15 | — 15 | 0,5 | 7*) | GF 120 | a |
| GF 108 ^x) | — 9**) | — 15 | 0,5 | 6 | GF 121 | a |
| GF 120 | — 25 | — 10 | 0,6 | 10 | GF 121 | c |
| GF 121 | — 25 | — 10 | 0,6 | 25 | GF 122 | c |
| GF 122 | — 25 | — 10 | 0,6 | 30 | GF 122 b | c |
| GF 122 b | — 25 | — 10 | 0,6 | 30 | GF 125 | c |
| GF 125 ^x) | — 25 | — 10 | 0,6 | 30 | GF 122 | c |
| GF 126 | — 25 | — 10 | 0,6 | xx) | GF 127 | c |
| GF 127 ^x) | — 25 | — 10 | 0,6 | xx) | (75) GF 128 | c |
| GF 128 | — 25 | — 10 | 0,6 | 100 | GF 129 | c |
| GF 129 ^x) | — 25 | — 10 | 0,6 | xx) | (75) GF 130 | c |
| GF 130 | — 25 | — 10 | 0,6 | xx) | (75) GF 131 | c |
| GF 131 | — 25 | — 10 | 0,6 | xx) | (85) GF 132 | c |
| GF 132 | — 25 | — 10 | 0,6 | xx) | (85) GF 131 | c |
| GF 139 | — 25 | — 10 | 0,6 | xx) | GF 132 | c |
| GF 140 ^x) | — 25 | — 70 | 0,56 | 150 | GF 141 | d |
| GF 141 ^x) | — 25 | — 70 | 0,56 | 150 | GF 143 | d |
| GF 142 ^x) | — 25 | — 70 | 0,56 | 150 | GF 140 | d |
| GF 143 ^x) | — 25 | — 70 | 0,56 | 300 | (GF 146) | d |
| GF 145 | — 20 | — 10 | 0,75 | 250 | (GF 146) | g |
| GF 146 | — 20 | — 10 | 0,75 | 250 | GF 145 | g |
| GF 180 | — 25 | — 10 | 0,6 | xx) | GF 139 | c |
| GF 181 | — 25 | — 10 | 0,6 | xx) | GF 131 | c |
| GS 100 ^x) | — 25 | — 50 | 1 | 5 | (GS 109) | a |
| GS 109 | — 20 | — 50 | 0,5 | | GS 111 | a |
| GS 111 | — 20 | — 200 | 0,5 | | GS 112 | a |
| GS 112 | — 20 | — 200 | 0,5 | | GS 111 | a |
| GS 121 | — 30 | — 100 | 0,38 | | GS 112 | a |
| GS 122 | — 30 | — 100 | 0,38 | | GS 121 | a |
| SC 100 | — 10 | — 50 | 0,42 | 0,8*) | SC 103 | a |
| SC 103 | — 10 | — 50 | 0,42 | 1,5*) | SC 104 | a |
| SC 104 | — 10 | — 50 | 0,42 | 3*) | SC 106 | a |
| SC 106 | — 10 | — 50 | 0,42 | | SC 107 | a |
| SC 107 | — 25 | — 50 | 0,42 | | (SC 108) | a |
| SC 108 | — 10 | — 50 | 0,42 | | (SC 109) | a |
| SC 109 | — 9 | — 50 | 0,42 | | SC 108 | a |
| SC 110 | + 20 | + 250 | 0,25 | 40 | SC 111 | a |
| SC 111 | + 30 | + 200 | 0,25 | 60 | (SC 112) | a |
| SC 112 | + 20 | + 100 | 0,25 | 60 | SC 111 | a |

| Typ | U _{CB,max} in V | I _{C,max} in mA | R _{th} in grd/mW (grd/W) | f _{T,min} in MHz | Ähnlicher Typ | Sockel in Bild 5.1 |
|-----------------------|-----------------------------|-----------------------------|---|------------------------------|------------------|--------------------------|
| SC 206 | + 20 | + 100 | 0,5 | 300 | SC 207 | e |
| SC 207 | + 20 | + 100 | 0,5 | 300 | SC 206 | e |
| SF 111 | + 20 | + 200 | 0,27 | 40 | SF 112 | a |
| SF 112 | + 30 | + 200 | 0,27 | 40 | SF 111 | a |
| SF 113 | + 60 | + 200 | 0,27 | 40 | SF 114 | a |
| SF 114 | + 100 | + 200 | 0,27 | 40 | (SF 113) | a |
| SF 121 | + 20 | + 100 | 0,25 | 60 | SF 122 | d |
| SF 122 | + 33 | + 100 | 0,25 | 60 | SF 123 | d |
| SF 123 | + 66 | + 100 | 0,25 | 60 | SF 127 | d |
| SF 126 | + 40 | + 500 | 0,25 | 60 | SF 127 | d |
| SF 127 | + 80 | + 500 | 0,25 | 60 | SF 128 | d |
| SF 128 | + 100 | + 500 | 0,25 | 60 | SF 129 | d |
| SF 129 | + 120 | + 500 | 0,25 | 60 | (SF 128) | d |
| SF 131 | + 20 | + 50 | 0,5 | 200 | SF 132 | d |
| SF 132 | + 40 | + 50 | 0,5 | 200 | SF 126 | d |
| SF 136 | + 20 | + 200 | 0,5 | 300 | SF 137 | d |
| SF 137 | + 40 | + 200 | 0,5 | 300 | (SF 136) | d |
| SF 140 | + 40 | + 25 | 1 | 350 | SF 137 | c |
| SF 215 | + 20 | + 100 | 0,5 | 350 | SF 216 | e |
| SF 216 | + 20 | + 100 | 0,5 | 350 | SF 215 | e |
| SL 111 ^x) | + 30 | + 400 | (15) | 40 | SL 113 | b |
| SL 113 ^x) | + 60 | + 400 | (15) | 40 | SL 114 | b |
| SL 114 ^x) | + 100 | + 400 | (15) | 40 | (SL 113) | b |
| SS 101 | — 33 ^{**}) | — 50 | 0,42 | 0,6 [*]) | SS 202 | a |
| SS 102 | — 66 ^{**}) | — 50 | 0,42 | 0,3 [*]) | (SS 101) | a |
| SS 106 | + 25 | + 200 | 0,5 | 200 | SS 108 | a |
| SS 108 | + 40 | + 200 | 0,5 | 300 | (SS 109) | a |
| SS 109 | + 20 | + 200 | 0,5 | 200 | SS 108 | a |
| SS 110 ^x) | + 70 | + 30 | 0,5 | | SS 111 | a |
| SS 111 ^x) | + 100 | + 30 | 0,5 | | SS 112 | a |
| SS 112 ^x) | + 120 | + 30 | 0,5 | | (SS 111) | a |
| SS 125 | + 30 | + 500 | 0,25 | 30 | SS 126 | a |
| SS 126 | + 60 | + 500 | 0,25 | 30 | (SS 125) | a |
| SS 200 | + 70 | + 30 | 0,5 | | SS 201 | e |
| SS 201 | + 100 | + 30 | 0,5 | | SS 201 | e |
| SS 202 | + 120 | + 30 | 0,5 | | (SS 201) | e |
| SS 216 | + 20 | + 100 | 0,5 | 350 | SS 218 | e |
| SS 218 | + 20 | + 100 | 0,5 | 350 | SS 216 | e |

Die Liste basiert auf den Katalogen 1969 des Kombinats VEB *Halbleiterwerk* Frankfurt (Oder) und auf älteren Publikationen dieses Werkes. Dort, wo zwischen den Publikationen widersprüchliche Angaben auftraten, wurde die jüngste Veröffentlichung zugrunde gelegt.

Die Fußnoten bedeuten:

*) f_{α} **) $U_{CE,max}$ ***) f_{β}

x) Nicht mehr in den Katalogen 1969 enthalten

xx) Wird nicht mehr angegeben.

Tabelle 5.3. MOSFET aus der DDR-Produktion (Stand 1969/70)

| Typ | $U_{DS,max}$ in V | $I_{D,max}$ in mA | U_T in V | R_{th} in grd/mW | Ähnlicher Typ | Sockel in Bild 5.1 |
|--------|----------------------|----------------------|---------------|-----------------------|------------------|--------------------------|
| SM 101 | + 20 | 15 | — 15 | 1,25 | SM 102 | f |
| SM 102 | + 20 | 15 | — 10 | 1,25 | SM 101 | f |
| SM 103 | + 20 | 15 | — 12 | 0,6 | SM 104 | h |
| SM 104 | + 20 | 15 | — 8 | 0,16 | SM 103 | h |

6. Bedeutung der in dieser Broschüre verwendeten Abkürzungen

| | |
|------------|---|
| C_{10} | Kapazität bei $U_R = -10\text{ V}$ |
| ΔC | Kapazitätsvariation |
| f_α | Kurzschlußfrequenz in Basisschaltung |
| f_β | Kurzschlußfrequenz in Emitterschaltung |
| f_{\max} | größte Oszillatorfrequenz |
| f_T | Transitfrequenz |
| I_a | Anodenstrom |
| I_C | Kollektorstrom |
| I_D | Durchlaßstrom |
| I_f | Heizfadenstrom |
| I_G | Gatestrom |
| I_{g2} | Schirmgitterstrom |
| I_p | Höckerstrom |
| I_R | Sperrstrom |
| I_v | Talstrom |
| I_Z | Z-Strom |
| μ | Verstärkungsfaktor |
| P_v | Verlustleistung |
| Q | Güte |
| R_i | Innenwiderstand |
| R_{th} | Thermischer Widerstand Sperrschicht — Umgebung |
| R_{thG} | Thermischer Widerstand Sperrschicht — Gehäuse |
| r_Z | Z-Widerstand |
| U_a | Anodenspannung |
| U_{BR} | Durchbruchspannung |
| U_{CE} | Spannung zwischen Emitter und Kollektor |
| U_{CB} | Spannung zwischen Basis und Kollektor |
| U_{DS} | Spannung zwischen Drain und Source |
| U_f | Heizfadenspannung |
| U_{Fp} | Spannung im Durchlaßbereich mit Betrag des gleichen Stromes wie U_p |
| U_{KG} | Spannung zwischen Gate und Katode |
| U_{g1} | Spannung zwischen Gitter 1 und Katode |

| | |
|----------|---|
| U_{g2} | Spannung zwischen Gitter 2 und Katode |
| U_P | Höckerspannung |
| U_R | Sperrspannung |
| U_T | Abschnürspannung |
| U_v | Talspannung |
| U_Z | Z-Spannung |
| S | Steilheit |
| Cos | Cosem bzw. Sescosem |
| Int | Intermetall Halbleiterwerk der Deutschen ITT Industries GmbH, Freiburg i. Br. |
| Fld | SGS Fairchild, Gesellschaft für Halbleiter-Bauelemente mbH, Stuttgart |
| RTC | Radiotechnique-Coprim |
| Sie | Siemens AG |
| Tex | Texas Instruments |
| Tfk | AEG Telefunken |
| Tho | Thorn-AEI Radio Valves & Tubes Ltd. |
| Val | Valvo GmbH, Hamburg |

Literaturhinweise

Диоды туннельные, Maschpriborintorg, Moskva

Диоды полупроводниковые выпрямители, Maschpriborintorg, Moskva

Диоды стабилитроны, Maschpriborintorg, Moskva

Диоды варикалы, Maschpriborintorg, Moskva

Транзисторы миниатюрные, Maschpriborintorg, Moskva

Транзисторы малой мощности низкочастотные, Maschpriborintorg, Moskva

Зайцева, О.: транзисторы широкого применения; радио 45 (1968) 10, S. 56...59

Halbleiter-Datenbücher Standard-Typen 1968/69 und Industrietypen 1967/68; Siemens AG, München

Halbleiter-Handbücher Standard-Typen 1967 und Industrietypen 1968; Telefunken AG, Ulm/Donau

Handbuch Halbleiterdioden und Transistoren, Standardtypen 1966/67, Bauelemente für die Leistungselektronik 1967 und Halbleiterdioden und Transistoren, professionelle Typen 1967; Valvo GmbH, Hamburg

Datenbücher: Gleichrichter und Thyristoren 1967/68, Dioden und Z-Dioden 1967/68 und Transistoren 1967/68, Intermetall, Freiburg i. Br.

Diodes, redresseurs professionnels, Février 1966; Compagnie générale des Semi-conducteurs, Puteaux

Transistors professionnels au germanium, Février 1966; Compagnie générale des Semi-conducteurs, Puteaux

Transistors professionnels au silicium, Février 1966; Compagnie générale des Semi-conducteurs, Puteaux

Semiconducteurs grand-public, Février 1966; Compagnie générale des Semi-conducteurs, Puteaux

Halbleiter-Bauelemente; 1967, Tesla, Praha

Manual of electronic tubes 1966—67; Tesla, Rožnov

Tubes électroniques et semi-conducteurs; Mazda, Paris catalogue guide 1967; Compelec, Paris

Guide de l'ingénieur/1967 No 1, semiconducteurs; La Radio-technique-Coprim-R.T.C., Paris

Elektronische Bauelemente 1966/67; Sasco GmbH, München

Planar-Auswahlliste für kommerzielle Anwendungen, Juni 1967; SGS Fairchild GmbH, Stuttgart

Leipziger Frühjahrsmesse 1966, Halbleiter; radio und fernsehen 15 (1966) 9, S. 267 u. 268

Sowjetische Transistoren; radio und fernsehen 16 (1967); H. 16, S. 493 u. 494; 17, S. 525 u. 526; 18, S. 555 u. 556; 19, S. 589 u. 599; 20, S. 621 u. 622; 21, S. 653 u. 654; 22, S. 685 u. 686; 23, S. 717 u. 718; 24, S. 747 u. 748; 17 (1968); H. 1, S. 17 u. 18; 2, S. 45 u. 46; 3, S. 77 u. 78; 4, S. 109 u. 110; 5, S. 141; 6, S. 173 u. 174; 11, S. 333 u. 334; 12, S. 363 u. 364; 13, S. 397 u. 398 und 14, S. 429 u. 430

RFT electronic application; VEB Elektronikhandel Berlin 1968

Polovodivé prvky; Tesla, Rožnov 1968

Taschenbuch 1969 Röhren-Halbleiter-Bauteile; AEG-Telefunken, Ulm/Donau 1968

Halbleiter-Datenbuch 1969/70, Industrie-Typen; Siemens AG, München

Halbleiter-Bauelemente; RFT-Dewag, Frankfurt (Oder) 1968

2., bearbeitete Auflage, 16.—30. Tausend
Militärverlag
der Deutschen Demokratischen Republik (VEB) — Berlin, 1974
Cheflektorat Militärliteratur
Lizenz-Nr. 5
LSV: 3539
Lektor: Dipl.-Phys. Hans-Joachim Mönig
Zeichnungen: Erich Böhm
Typografie: Helmut Herrmann
Hersteller: Ingeburg Zoschke
Korrektor: Ingeborg Kern
Printed in the German Democratic Republic
Gesamtherstellung: Druckerei Märkische Volksstimme Potsdam
Bestellnummer: 745 608 0
EVP 1,90

129

